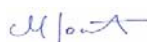


2/1-1.39.1 НАСЛОВНА СТРАНА

2/1-1 ПРОЈЕКАТ МОСТОВА

Инвеститор:	„Инфраструктура железнице Србије“ а.д. Немањина 6, Београд
Објекат:	Модернизација, реконструкција и изградња пруге Београд - Суботица државна граница (Келебија), деоница пруге Нови Сад - Суботица - државна граница (Келебија), у Новом Саду, Кисачу, Степановићеву, Змајеву, Врбасу, Ловћенцу, Малом Иђошу, Бачкој Тополи, Жеднику, Наумовићеву и Суботици, К.О. Нови Сад I, К.О. Нови Сад IV, К.О. Кисач, К.О. Руменка, К.О. Степановићево, К.О. Ченеј, К.О. Бачко Добро Поље, К.О. Врбас, К.О. Врбас - град, К.О. Змајево, К.О. Куцура, К.О. Ловћенац, К.О. Мали Иђош, К.О. Фекетић, К.О. Бачка Топола, К.О. Бачка Топола - Град, К.О. Мали Београд, К.О. Биково, К.О. Доњи Град, К.О. Жедник, К.О. Нови Град, К.О. Палић, К.О. Стари Град, на катастарским парцелама према списку приложеном у Главној свесци
Врста техничке документације:	ИДП Идејни пројекат
Назив и ознака дела пројекта:	2/1-1.39.1 Пројекат надвожњака на км. 160+094
За грађење / извођење радова:	Нова градња и реконструкција
Пројектант:	Саобраћајни институт ЦИП, д.о.о Немањина 6/ IV, Београд 351-02-02009/2017-07
Одговорно лице пројектанта:	Генерални директор: Милутин Игњатовић, дипл.инж
Потпис:	
Одговорни пројектант:	Милош Јокић, дипл.инж. грађ.
Број лиценце:	лиценца бр.310 С080 05
Потпис:	
Број дела пројекта:	2017-728 -КОН-2/1-1.39
Место и датум:	Београд, Јул 2020.

2/1-1.39.2. САДРЖАЈ

2/1-1.39.1.	Насловна страна
2/1-1.39.2.	Садржај
2/1-1.39.3.	Решење о одређивању одговорног пројектанта
2/1-1.39.4.	Изјава одговорног пројектанта
2/1-1.39.5.	Текстуална документација
2/1-1.39.5.1	Технички извештај
2/1-1.39.6.	Нумеричка документација
2/1-1.39.6.1	Статички прорачун
2/1-1.39.7.	Графичка документација
2/1-1.39.7.1	Основа коловоза и уподужни пресјек
2/1-1.39.7.2	Попречни пресеци
2/1-1.39.7.3	120-21.80 план производње мостнегреде
2/1-1.39.7.4	120-30.80 план производње мостнегреде

2/1-1.39.3. РЕШЕЊЕ О ОДРЕЂИВАЊУ ОДГОВОРНОГ ПРОЈЕКТАНТА

На основу члана 128 Закона о планирању и изградњи ("Службени гласник РС", бр. 72/09, 81/09 - исправка, 64/10 - УС, 24/11, 121/12, 42/13 - УС, 50/2013 - УС, 98/2013 - УС, 132/14, 145/14, 83/2018, 31/2019 и 37/2019 -др.закон) и одредби Правилника о садржини, начину и поступку израде и начину вршења контроле техничке документације према класи и намени објекта ("Службени гласник РС" бр 73/2019) као:

ОДГОВОРНИ ПРОЈЕКТАНТ

за израду **2/1-1.39 Пројекат надвожњака на км. 160+094**, који је део ИДП - Идејног пројекта Модернизација, реконструкција и изградња пруге Београд - Суботица државна граница (Келебија), деоница пруге Нови Сад - Суботица - државна граница (Келебија), у Новом Саду, Кисачу, Степановићеву, Змајеву, Врбасу, Ловћенцу, Мали Иђошу, Бачкој Тополи, Жеднику, Наумовићеву и Суботици, К.О. Нови Сад I, К.О. Нови Сад IV, К.О. Кисач, К.О. Руменка, К.О. Степановићево, К.О. Ченеј, К.О. Бачко Добро Поље, К.О. Врбас, К.О. Врбас - град, К.О. Змајево, К.О. Куцура, К.О. Ловћенац, К.О. Мали Иђош, К.О. Фекетић, К.О. Бачка Топола, К.О. Бачка Топола - Град, К.О. Мали Београд, К.О. Биково, К.О. Доњи Град, К.О. Жедник, К.О. Нови Град, К.О. Палић, К.О. Стари Град, одређује се:

Милош Јокић, дипл.инж. грађ. _____ 310 C080 05

Пројектант: САОБРАЋАЈНИ ИНСТИТУТ ЦИП д.о.о.,
Београд Немањина 6/IV
351-02-02009/2017-07

Одговорно лице/заступник: Генерални директор: Милутин Игњатовић, дипл.инж.

Потпис:



Број техничке
документације: 2017 - 728

Место и датум: Београд, Мај 2020.год.

2/1-1.39.4. ИЗЈАВА ОДГОВОРНОГ ПРОЈЕКТАНТА ПРОЈЕКТА

Одговорни пројектант пројекта **2/1-1.39 Пројекат надвожњака на км. 160+094**, који је део ИДП - Идејног пројекта Модернизација, реконструкција и изградња пруге Београд - Суботица државна граница (Келебија), деоница пруге Нови Сад - Суботица - државна граница (Келебија), у Новом Саду, Кисачу, Степановићеву, Змајеву, Врбасу, Ловћенцу, Мали Иђошу, Бачкој Тополи, Жеднику, Наумовићеву и Суботици, К.О. Нови Сад I, К.О. Нови Сад IV, К.О. Кисач, К.О. Руменка, К.О. Степановићево, К.О. Ченеј, К.О. Бачко Добро Поље, К.О. Врбас, К.О. Врбас - град, К.О. Змајево, К.О. Куцура, К.О. Ловћенац, К.О. Мали Иђош, К.О. Фекетић, К.О. Бачка Топола, К.О. Бачка Топола - Град, К.О. Мали Београд, К.О. Биково, К.О. Доњи Град, К.О. Жедник, К.О. Нови Град, К.О. Палић, К.О. Стари Град

Милош Јокић, дипл.инж. грађ

И З Ј А В Љ У Ј Е М

- да је пројекат израђен у складу са Законом о планирању и изградњи, прописима, стандардима и нормативима из области изградње објекта и правилима струке;
- да је пројекат у свему у складу са начинима за обезбеђење испуњења основних захтева за објекат прописаних елаборатима и студијама

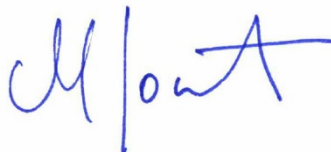
Одговорни пројектант ИДП:

Милош Јокић, дипл.инж. грађ

Број лиценце:

310 C080 05

Потпис:



Број техничке документације:

2017 - 728

Место и датум:

Београд, Мај 2020.год.

**2/1-1.39.5 ТЕКСТУАЛНА
ДОКУМЕНТАЦИЈА**

2/1-1.39.5.1 Технички опис

ТЕХНИЧКИ ИЗВЕШТАЈ

ИДЕЈНИ ПРОЈЕКАТ НАДВОЖЊАКА НА км. 160+94.84

1. УВОД

На новој траси двоколосечне пруге Нови Сад - Суботица (мађарска граница), пројектованој за брзину од 200 км/ч, уместо постојећег путног прелаза у нивоу, пројектован је нови друмски надвожњак на стационажи пруге км 160+94.84, десног колосека.

Основе за пројектовање су:

- Пројектни задатак
- Подаци о железници
- Подаци о путевима
- Геотехнички елаборат
- Остали релевантни пројекти

Укрштање десног колосека пруге и надвожњака је на стационажи км. 160+94.84,
Под углом од 52.50°.

2. ДИСПОЗИЦИЈА

Диспозиционо је конструкција надвожњака решена као континуална рамовска конструкција преко пет поља распона 22.10+3x31.20+22.10 м са крутом везом над стубовима С3 и С4, и подужно покретним лежиштима на стубовима С2, С5 и на крајњим стубовима. Укупна дужина конструкције горњег строја износи 139.70 м. Попречни пресек моста је јединствена конструкција, састављена од десет монтажних носача који су повезани са коловозном плочом. Средњи стубови омогућавају ослањање конструкције горњег строја преко армиранобетонских ригли. Ширина конструкције је дефинисана према усвојеном саобраћајном профилу и износи 9.40 м. Саобраћајни профил на мосту чине: коловоз ширине 6.0 м, заштитне ограде 2x0.5 м, обостране пешачке стазе 2x0.75 м и ивични венци 2x0.25 м. На делу надвожњака премошћује се пруга коју чине два колосека на међусобно управном растојању од 4.75 м.

Кота ГИШ-а на месту укрштанја пута и пруге износи +110.33 м, а кота ДИК-а +117.43 м.
Нивелета

пута са подужним падом од 6% на 24м од места укрштања пута и пруге, прелази у кружну кривину радијуса Rv=400м.

Вертикална кривина се прекида на следећих 24м у супротном правцу, где прелази у подужни пад од 6%. Попречни пад коловоза на мосту је једностран и износи 2.50%, док је пад пешачких стаза 4%, за обе стране. Падови су ка сливницима који су постављени уз заштитну ограду са једне стране моста. Одводњавање плоче се врши сливницима са цевним наставцима за одвођење воде ван зоне моста.

3. КОНСТРУКЦИЈА И ИЗВОЂЕЊЕ

С обзиром на усвојено конструктивно решење моста, горњи строј моста се састоји од десет претходно напрегнутих монтажних носача I-пресека, висине 120 цм и армиранобетонске коловозне плоче дебљине 20 цм, ливене на лицу места. Ширина коловозне плоче је 8.70м. Монтажни носачи се изводе од бетона C40/50, класе изложености XC4, XD1, XF2 са ребрастом арматуром В500-ВБ и челиком за претходно напрезање Y1860 С7-9.3. Коловозна плоча се изводи од бетона С35/45, класе изложености XC4, XD3, XFF4, са ребрастом арматуром ВВ500В.

Преко бетонске плоче, поставља се хидроизолација у пуној ширини коловозне плоче, а преко ње се по бетонирају пешачких стаза и монтаже заштитних ограда, поставља застор од асфалт бетона у два слоја, укупне дебљине 7 цм. Бетон пешачких стаза је везан за коловозну плочу преко бочно испуштених анкера, тако да се не ремети континуитет хидроизолације плоче. У стазама се налазе отвори предвиђени за смештај инсталација и имају парапет дебљине 35 цм ради ношења челичне ограде за пешачке стазе. Додатна заштитна ограда се поставља само у распонима који премошћују пругу. Преко пешачких стаза поставља се застор у виду хабајућег водонепропусног „анти-скид“ слоја дебљине 4 мм.

На пешачким стазама и споју конструкција и крајњих стубова предвиђене су дилатационе справе са капацитетом померања ± 62.1 мм. Конструкције горњег строја се ослањају на крајње стубове С2 и С5 и на два лежишта са максималним, вертикалним капацитетом носивости од 5789 кН. Веза главног носача и средњих стубова СЦ3 и С4 је крута, са вертикалном подужном арматуром димензионисаном да прихвати и пренесе хоризонталне утицаје са носеће конструкције.

Крајњи стубови моста се сastoјe од лежишних греда димензија 80-109/100 цм, дужине 8.70 м. Контакт са тлом у насипу је преко чеоног зида дебљине 70 цм. У горњем делу чеоног зида

предвиђен је зуб за ослањање прелазне плоче дебљине 20 цм, а у пуној ширини коловоза. Крилни зидови, сваки дебљине 50 цм су изведени са бочне стране крајњих стубова, са конзолним носачем који ће носити пешачки тротоар изнад. Зид крајњег стуба има дебљину од 100 цм. Ослоначка греда преноси све утицаје на осам шипова пречника Ø 900 мм који су позиционирани у два реда, на међусобном растојању од 2.7 м.

Стубови се сastoјe од две армиранобетонске ригле попречног пресека 160/80 цм, различитих дужина. Ослоначка греда дужине 7.10 м и димензија попречног пресека 100/120 цм се поставља на стубове С2 и С3 како би носила горњи строј конструкције преко лежајева. Стубови се ослањају на осам шипова пречника Ø900мм. Стубови и ригле су од бетона ЦС30/37, класе изложености XC4, XD1, XF2, армирани ребрастом арматуром B500-B.

Иза крајњих стубова формирају се шљунчани клинови од добро гранулисаног шљунка, модула стишљивости од 40 MPa.

4. СТАТИЧКИ ПРОРАЧУН

Статички прорачун је спроведен коришћењем програмског пакета „MathCAD 15“ развијеног од стране компаније „ПТЦ Инц.“, Бостон, САД и програмског пакета „Ахис ВМ 13“ развијеног од стране компаније „ИнтерЦАД Кфт.“, Будимпешта, Мађарска.

Ради прорачуна конструкције горњег строја, надвожњак је третиран као тродимензионални модел састављен од главног носача са коловозном плочом, ослоначких греда, ригле и шипова. Веза између главног носача и стубова је зглобна. Веза између горњег строја конструкције и крајњих стубова је извршена помоћу чврова на лежајевима, док су везе са средњим стубовима круте у моделу. Шипови су круто везани на нивоу наглавних греда. Њихово померање је спречено помоћу еластичних спојница у хоризонтали, са крутошћу срачунатом на основу геотехничких тестова.

Горњи строј конструкције је прорачунат са и садржи специфичну табелу која је припремљена за идејни пројекат ПРЦ греда горњег строја.

У статичком прорачуну урађена је анализа оптерећења по важећим Еуроцоде стандардима. Идејним пројектом размотрена су следећа оптерећења:

- Сопствена тежина монтажних носача <ДЛ1>;
- тежина коловозне плоче <ДЛ2>;

- додатно стално оптерећење <ДЛ3> (елементи пешачких стаза, заштитних ограда, ограда пешачких стаза, хидроизолација, застора од аспхалт бетона...);
- претходно напрезање;
- скупљање и течење бетона;

Утицај скупљања бетонске конструкције одређен је према стандарду „ЕН 1992-1-1”.

Срачуната дилатација скупљања конструкције горњег строја је 0.16‰.

- саобраћајно оптерећење је усвојено према „ЕН 1991-2 Траффиц лоадс он бридгес”, Поглавље 4.

Ветикална оптерећења:

- шема оптерећења ЛМ1 – двоосовинско оптерећење
- корисно оптерећење на пешачким стазама, $q_{\text{фк}}=5.0 \text{ kN/m}^2$

Хоризонтална оптерећења:

- силе кочења и покретања воза – делују у равни горње ивице асфалтног застора, у подужном правцу моста;
- активно оптерећење тла на крајње стубове;
- корисно оптерећење на обалоутврди;

- температурни утицаји;

Прорачун оптерећења услед дејства температуре је урађен према стандарду „ЕН 1991-1-5 Тхермал ационс”. Опсег температуре у оси штапа је $\Delta T_{\text{Н.цион}}=27^\circ\text{C}$ и $\Delta T_{\text{Н.ехп}}=27^\circ\text{C}$, под претпоставком да је $T_0=10^\circ\text{C}$ почетна температура. Као резултат, варијација температуре од $\pm 37^\circ\text{C}$ је узета током прорачуна лежајева и дилатационих спојница;

Компоненте температурних разлика се занемарију током фазе идејног пројекта јер ће се оне изоставити у УЛС прорачунима на основу „ЕН 1990”, због њихове истодобности са саобраћајним оптерећењем.

- прорачун оптерећења ветром је урађен у складу са стандардом „ЕН 1991-1-4 Винд ационс”.

Разматрана су дејства ветра на мост у x, y и z правцу, са и без саобраћајног оптерећења.

Од инциденталних оптерећења идејним пројектом су обухваћене:

- сеизмичке силе у складу са стандардима „ЕН 1998-1 и 1998-2”.

Према карти сеизмичког хазарда Србије за максимално хоризонтално убрзање на тлу типа А, са вероватноћом превазилажења од 10% у периоду од 50 година, за повратни период од 475 година, изражено у јединицама гравитационог убрзања, предметни мост спада у зону сеизмичности 0.05g.

Статички прорачун главног носача спроведен је у складу са усвојеном технологијом извођења радова. У првој фази, монтажни носачи прихватају утицаје сопствене тежине, тежине коловозне плоче и претходног напрезања. У другој фази, након бетонирања попречних носача и коловозне плоче тј. континуирања конструкције, главни носач постаје континуални носач на специфичним распонима, па се утицаји свих осталих оптерећења рачунају у новом статичком моделу континуалног носача.

5. ФУНДИРАЊЕ

Геотехничка бушења и тестирања статичке пенетрације (ЦПТ) су припремљена у циљу истраживања тла у зони подвожњака. Попречни пресеци бушења и ЦПТ дијаграми су унети у цртеж диспозиције.

С обзиром на прорачунато оптерећење од надвожњака и резултате геотехничких истраживања испланирано је да темељи конструкције буду на шиповима. Шипови Ø900 и наглавне греде са ребрастом арматуром Б500-Б су планиране за крајње и средње стубове. Темељи су израђени од бетона С25/30, класе изложености XC2.

Максимална номинална сила у шипу пречника Ø900 износи 2349 kN на крајњим стубовима, и 2798 kN на средњим стубовима, што је мање од капацитета носивости шипова по стандарду „EN 1997-1 и EN 1997-2”.

6. ИЗВОЂЕЊЕ РАДОВА

Радови на изградњи моста се изводе у режиму ограниченог железничког саобраћаја и потпуно гатавања на саобраћајници.

Изградња моста обухвата следеће радове:

- припремне радове,
- израду пројекта рушења и уклањање постојећих објеката на предметној локацији,
- геодетско обележавање терена,
- побијање шипова за средње и крајње стубове моста,
- израду стубова и ослоначких греда на крајњим стубовима, односно гирли на средњим стубовима,
- израду прилазних обалоутврда,
- префабрикацију носача,
- израду привремених лежишта за постављање монтажних носача,
- позиционирање префабрикованих носача,

- бетонирање коловозне плоче изнад монтажних носача,
- хидроизолацију коловозне плоче,
- израду елемената саобраћајног профила,
- хидроизолацију пешачких стаза,
- бетонирање пешачких стаза и монтирање заштитних ограда,
- израду дилатационих спојница над крајњим стубовима,
- уградњу инсталација,
- производњу, монтажу и анткорозивну заштиту ограде за пешачке стазе,
- израду застора од асфалт бетона,
- постављање сигнализације,
- пробно оптерећење моста.

7. ИНВЕСТИЦИОНА ВРЕДНОСТ МОСТА

Инвестициона вредност објекта 166,911,104.48рсд

8. ОПШТЕ НАПОМЕНЕ

КАРАКТЕРИСТИКЕ МАТЕРИЈАЛА:

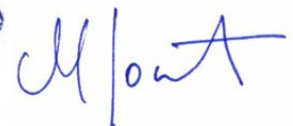
Ребраста арматура В 500В

Пројектоване класе бетона:

Претходно напрегнути носачи	C 50/60
Коловозна плоча и попр. носачи	C 40/50, XC4, XD1, XF2, PV-II
Ивични венци и пешачке стазе	C 40/50, XC4, XD3, XF4, PV-II
Лежишне греде и квадери	C 30/37, XC4, XD1, XF2, PV-I
АБ стубови	C 30/37, XC4, XD1, XF2, PV-I
АБ потпорни зидови	C 30/37, XC4, XD1, XF2, PV-I
Шипови и наглавне греде	C 25/30, XC2, PV-II
Прелазна плоча	C 25/30, XC4
Мршав бетон	C 12/15, X0

Децембар 2018, Београд

Одговорни пројектант:



Милош Јокић, дипл.инж. грађ.

лиценца бр. 310 C080 05

**2/1-1.39.6 НУМЕРИЧКА
ДОКУМЕНТАЦИЈА**

2/1-1.39.6.1 СТАТИЧКИ ПРОРАЧУН

СТАТИЧКИ ПРОРАЧУН ДОЊЕГ СТРОЈА САОБРАЋАЈНИЦЕ

ПРОЈЕКТОВАЊЕ МОСТОВА

НАДВОЖЊАК на km 160+094.84

1. УНОСНИ ПОДАЦИ

- 1.1. ГЕОМЕТРИЈСКИ ПОДАЦИ
- 1.2. УПОТРЕБЉЕНИ СТАНДАРДИ
- 1.3. МАТЕРИЈАЛИ, ПОПРЕЧНИ ПРЕСЕЦИ
- 1.4. ГЕОТЕХНИЧКИ ПОДАЦИ
- 1.5. СОФТВЕР МЕТОДЕ КОНАЧНИХ ЕЛЕМЕНТА – AXIS VM

2. ОПТЕРЕЋЕЊА И ДЕЈСТВА

2.1. СТАЛНО ОПТЕРЕЋЕЊЕ

- 2.1.1. СОПСТВЕНА ТЕЖИНА ДОЊЕГ СТРОЈА САОБРАЋАЈНИЦЕ
- 2.1.2. СОПСТВЕНА ТЕЖИНА ГОРЊЕГ СТРОЈА САОБРАЋАЈНИЦЕ

2.1.3. СОПСТВЕНА ТЕЖИНА КРИЛНИХ ЗИДОВА

2.1.4. ОПТЕРЕЋЕЊА ОД НАСИПА, ПРИТИСАК ЗЕМЉЕ

2.2. НЕЖЕЉЕНА ОПТЕРЕЋЕЊА

2.2.1. САОБРАЋАЈНО ОПТЕРЕЋЕЊЕ

2.2.2. ДЕЈСТВО ВЕТРА

2.2.3. ТЕМПЕРАТУРНА ДЕЈСТВА

2.2.4. СПРЕЧЕНО СКУПЉАЊЕ

2.2.5. СЕИЗМИЧКА ДЕЈСТВА

2.3. КОМБИНОВАНО ОПТЕРЕЋЕЊЕ

3. ПРОРАЧУН ПОТПОРНЕ КОНСТРУКЦИЈЕ - ОПОРЦА

3.1. ГЕОМЕТРИЈСКИ ПОДАЦИ

3.2. ПРОРАЧУН ШИПОВА

3.3. ПРОРАЧУН НАГЛАВНИХ ГРЕДА ШИПОВА

4. ПРОРАЧУН СТУБОВА СА ПОКРЕТНИМ ОСЛОНЦИМА

4.1. ГЕОМЕТРИЈСКИ ПОДАЦИ

4.2. ПРОРАЧУН ШИПОВА

4.3. ПРОРАЧУН НАГЛАВНИХ ГРЕДА ШИПОВА

4.4. ПРОРАЧУН СТУБОВА

5. ПРОРАЧУН СТУБОВА СА НЕПОКРЕТНИМ ОСЛОНЦИМА

5.1. ГЕОМЕТРИЈСКИ ПОДАЦИ

5.2. ПРОРАЧУН ШИПОВА

5.3. ПРОРАЧУН НАГЛАВНИХ ГРЕДА ШИПОВА

5.4. ПРОРАЧУН СТУБОВА

6. ПРОРАЧУН ОСЛОНАЦА, ДИЛАТАЦИОНИХ РАЗДЕЛНИЦА

7. ПРОРАЧУН НОСИВОСТИ ШИПОВА

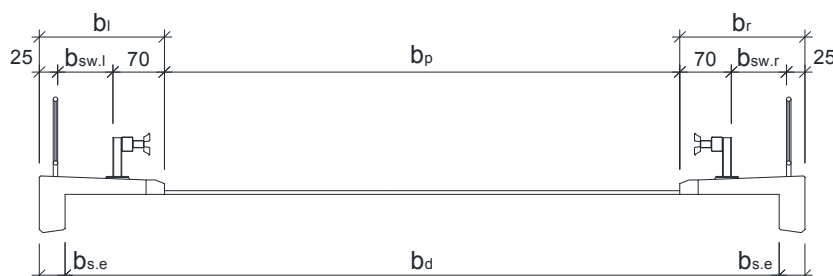
1. УНОСНИ ПОДАЦИ

1.1. ГЕОМЕТРИЈСКЕ КАРАКТЕРИСТИКЕ

Ослоначки углови (°)	90
Дужина конструкције (м)	138.8

Распони (м)	22.10	31.20	31.20	31.20	22.10
Дужина ПБ греда (м)	21.80	30.80	30.80	30.80	21.80

Ширина коловозне траке (м)	6	b_p
Ширина пешачке стазе (лево) (м)	1.7	b_l
Ширина пешачке стазе (десно) (м)	1.7	b_r
Ширина ивице пешачке стазе (м)	0.35	$b_{s.e}$
Висина ивице пешачке стазе (м)	0.7	$h_{s.e}$
Просечна дебљина АБ плоче (м)	0.24	$t_{d.avg}$
Дебљина колов. плоче + хидроизолације (м)	0.08	t_p
Број ослонаца	6	n_{sup}
Број ПБ греда	10	n_{prc}
Тежина по дужном метру ПБ греде (kN/m)	8.81	g_{prc}
Висина ПБ греде (м)	1.2	h_{prc}
Дужина налегања ПБ греде (м)	0.4	$l_{prc.e}$



$$\text{Корисна ширина пешачке стазе (десно)} \quad b_{sw.r} := b_r - 25\text{cm} - 70\text{cm} = 0.75 \text{ m}$$

$$\text{Корисна ширина пешачке стазе (лево)} \quad b_{sw.l} := b_l - 25\text{cm} - 70\text{cm} = 0.75 \text{ m}$$

$$\text{Ширина плоче} \quad b_d := b_l + b_p + b_r - 2 \cdot b_{s.e} = 8.70 \text{ m}$$

$$\text{Ексцентрицитет плоче} \quad e_d := 0.5 \cdot (b_d + 2 \cdot 35\text{cm}) - b_l - 0.5 \cdot b_p = 0.00 \text{ m}$$

$$\text{Укупна ширина горњег строја:} \quad b_{tot} := b_d + 2 \cdot b_{s.e} = 9.40 \text{ m}$$

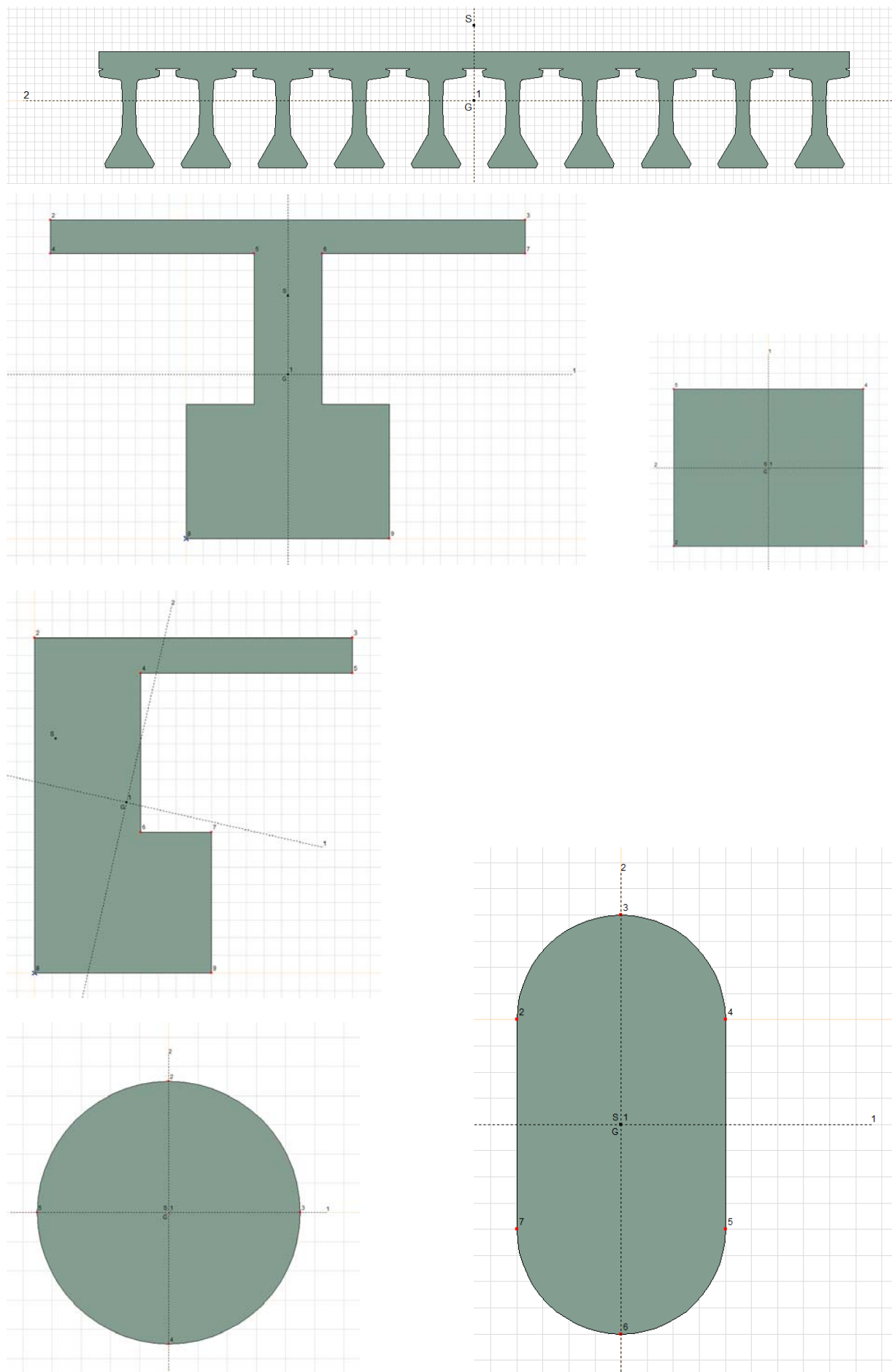
1.2. УПОТРЕБЉЕНИ СТАНДАРДИ

- EN 1990 Основе пројектовања конструкција
 EN 1991-1-1 Општа дејства - Запреминске тежине, сопствена тежина, корисна оптерећења за зграде
 EN 1991-1-4 Општа дејства - Дејства ветра
 EN 1991-1-5 Општа дејства - Топлотна дејства
 EN 1991-2 Саобраћајна оптерећења на мостовима
 EN 1992-1-1 Пројектовање бетонских конструкција - Део 1-1: Општа правила и правила за зграде
 EN 1992-2 Бетонски мостови - Правила пројектовања и конструисања
 EN 1997-1 Геотехничко пројектовање - Део 1: Општа правила
 EN 1998-1 Пројектовање сеизмички отпорних конструкција - Део 1: Општа правила
 EN 1998-2 Пројектовање сеизмички отпорних конструкција - Део 2: Мостови

1.3. МАТЕРИЈАЛИ, ПОПРЕЧНИ ПРЕСЕЦИ

	Назив	Тип	Стандард	Модел	E_x [kN/cm ²]	E_z [kN/cm ²]	ξ
1	C40/50	Бетон	Eurocode	Ленеаран	3520	3520	0,20
2	C30/37	Бетон	Eurocode	Ленеаран	3280	3280	0,20
3	C25/30	Бетон	Eurocode	Ленеаран	3150	3150	0,20
	Назив	ξ_t [1/°C]	ξ [kg/m ³]	P_1	P_2	P_3	P_4
1	C40/50	1,00E-05	2500	$f_{ck} [\text{kN/cm}^2] = 4,00$	$\xi_c = 1,500$	$\xi_{cc} = 0,85$	$\xi_t = 1,76$
2	C30/37	1,00E-05	2500	$f_{ck} [\text{kN/cm}^2] = 3,00$	$\xi_c = 1,500$	$\xi_{cc} = 0,85$	$\xi_t = 2,13$
3	C25/30	1,00E-05	2500	$f_{ck} [\text{kN/cm}^2] = 2,50$	$\xi_c = 1,500$	$\xi_{cc} = 0,85$	$\xi_t = 2,35$

	Назив	Облик	h [cm]	b [cm]	Ax [cm ²]	Ay [cm ²]	Az [cm ²]	Ix [cm ⁴]
1	10_FCI120_8.70	Сложен	140	870,0	52644,29	18179,60	22697,15	1,2E+07
2	CROSS GIRDER (FCI120)	Сложен	220,0	280,0	20000,00	8439,09	7438,81	1,7E+07
3	END CROSS GIRDER (FCI120)	Сложен	220,0	180,0	18800,00	6893,25	10587,07	2,1E+07
4	HEADER BEAM	Правоуг.	100,0	120,0	12000,00	10000,00	10000,00	2,00E+07
5	O80x160 COLUMN	Сложен	160,0	80,0	11425,53	9534,21	9787,07	1,6E+07
6	O90 PILE	Кружни	90,0	90,0	6360,43	5451,80	5451,80	6441246,0
	Назив		I_y [cm ⁴]	I_z [cm ⁴]	I_{yz} [cm ⁴]	I_1 [cm ⁴]	I_2 [cm ⁴]	$I(\theta)$ [cm ⁶]
1	10_FCI120_8.70	1,3E+08	3,4E+09	0	3,4E+09	1,3E+08	90,00	8,1E+12
2	CROSS GIRDER (FCI120)	1,2E+08	4,9E+07	0	1,2E+08	4,9E+07	0	2,4E+11
3	END CROSS GIRDER (FCI120)	9,5E+07	2,7E+07	10000000	9,6E+07	2,6E+07	-8,31	1,2E+11
4	HEADER BEAM	1,00E+07	1,4E+07	0	1,4E+07	1,00E+07	90,00	6,1E+08
5	O80x160 COLUMN	2,00E+07	5423136,0	0	2,00E+07	5423136,0	0	2,8E+09
6	O90 PILE	3219315,0	3219315,0	0	3219315,0	3219315,0	0	0
	Назив		$W_{1,el,t}$ [cm ³]	$W_{1,el,b}$ [cm ³]	$W_{2,el,t}$ [cm ³]	$W_{2,el,b}$ [cm ³]	$W_{1,pl}$ [cm ³]	$W_{2,pl}$ [cm ³]
1	10_FCI120_8.70	7818105,0	7818105,0	2125978,0	1542168,0	1,2E+07	2271853,0	48,8
2	CROSS GIRDER (FCI120)	1092024,0	1060712,0	348190,4	348190,4	1396403,0	727999,9	76,9
3	END CROSS GIRDER (FCI120)	758411,9	822523,4	222161,1	394037,4	1183383,0	549046,0	71,0
4	HEADER BEAM	240000,0	240000,0	200000,0	200000,0	360000,0	300000,0	28,9
5	O80x160 COLUMN	253607,1	253607,1	135578,4	135578,4	414328,5	213308,5	42,1
6	O90 PILE	71540,3	71540,3	71540,3	71540,3	121463,0	121463,8	22,5
	Назив		i_z [cm]	Hy [cm]	Hz [cm]	y_G [cm]	z_G [cm]	y_s [cm]
1	10_FCI120_8.70	254,2	870,0	140,0	435,0	81,1	0	90,6
2	CROSS GIRDER (FCI120)	49,4	280,0	220,0	140,0	111,6	0	56,1
3	END CROSS GIRDER (FCI120)	38,0	180,0	220,0	50,0	110,9	-39,3	41,8
4	HEADER BEAM	34,6	120,0	100,0	60,0	50,0	0	0
5	O80x160 COLUMN	21,8	80,0	160,0	40,0	80,0	0	0
6	O90 PILE	22,5	90,0	90,0	45,0	45,0	0	0



Арматура (EN 10080)

$$\gamma_s := 1.15$$

B500B(B60.50)

Карактеристична вредност чврстоћа при затезању арматуре:

$$f_{s.tk} = 600 \frac{N}{mm^2}$$

Карактеристична вредност границе развлачења арматуре:

$$f_{s.yk} = 500 \frac{N}{mm^2}$$

Прорачунска вредност границе развлачења:

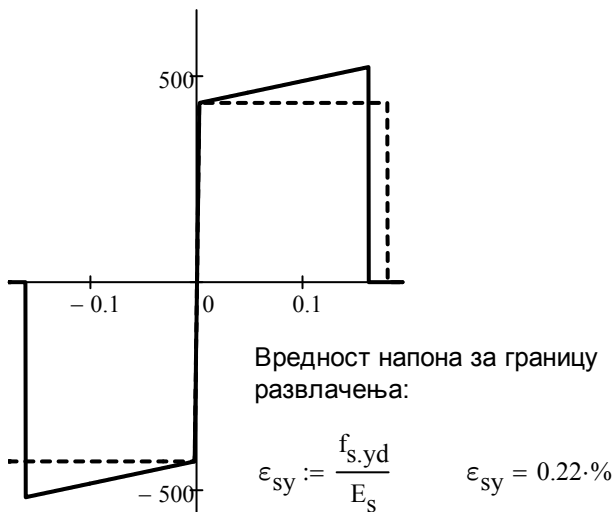
$$f_{s.yd} = 435 \frac{N}{mm^2}$$

Прорачунска вредност модула еластичности челика за арматуру:

$$E_s = 200 \frac{kN}{mm^2}$$

Карактеристична вредност дилатације арматуре за претходно напрезање при макс. оптерећењу:

$$\epsilon_{s.uk} = 18.0\%$$



Коефицијент адхезије: $k_1 = 0.80$

Тежина по јединици запремине

АБ конструкције: Насип:

Асфалт:

$$\gamma_{rc} := 25 \frac{kN}{m^3} \quad \gamma_t := 19 \frac{kN}{m^3} \quad \gamma_p := 24 \frac{kN}{m^3}$$

1.4. ГЕОТЕХНИЧКИ ПОДАЦИ

Пречник шипа и модул еластичности:

$$E_p := 31500 \text{ MPa} \quad D_p := 0.90 \text{ m}$$

Ознака слоја	USCS	Дебљина (м)	Дубина (м)	γ (kN/m³)	ϕ (°)	c (kPa)	q_c (MPa)	M_v (MPa)
h	CL	1,8	1,8	20	19	17	3	0
Q1I*	CL, ML	3,8	5,6	20	20	14	4	5,5
Q1I*	CL, ML	6,4	12	20	20	14	1,3	7
Q1I*	CL, ML	4,6	16,6	20	20	14	5	7
Q1al-p	SM, SP	13,4	30	19	37	0	15	22,5

Просечна вредност ограниченог модула еластичности тла изнад карактеристичних шипова:

$$M_{v,top} := 5.5 \text{ MPa}$$

Претпостављен Поасонов кофицијент:

$$\nu_{est} := 0.35$$

Израчуната вредност модула смицања тла изнад карактеристичних шипова:

$$G_{top} := M_{v,top} \cdot \frac{(1 - 2 \cdot \nu_{est})}{1 \cdot (1 - \nu_{est})} = 2.54 \text{ MPa}$$

Провера носивости шипова:

	Крит. ULS оптерећење	QP оптерећење	Пречник шипа	Дужина шипа	Бр. шипова	Носивост лежаја
C1	2798	1504	D 90	16,23	8	2812
C2	1931	1082	D 90	15,33	8	2690
C3	2330	1180	D 90	15,73	8	2749
C4	2349	1175	D 90	16,32	8	2812
C5	1925	1077	D 90	15,94	8	2777
C6	2536	1379	D 90	16,95	8	2887

Рандолф формула за бочно напрезање:

Формула за вертикално напрезање:
(На основу слегања 1% пречника шипа)

$$c_{top} := 4.20 \cdot G_{top} \cdot \left(1 + \frac{3}{4} \cdot \nu_{est}\right)^{\frac{8}{7}} \cdot \left(\frac{G_{top}}{E_p}\right)^{\frac{1}{7}}$$

$$k_v = \frac{100 \cdot R_{c,d}}{D_p}$$

$$c_{top} = 3.6 \times 10^3 \cdot \frac{kN}{m^2} \quad k_v = \left(3.1 \times 10^5 \quad 3.0 \times 10^5 \quad 3.1 \times 10^5 \quad 3.1 \times 10^5 \quad 3.1 \times 10^5 \quad 3.2 \times 10^5\right) \cdot \frac{kN}{m}$$

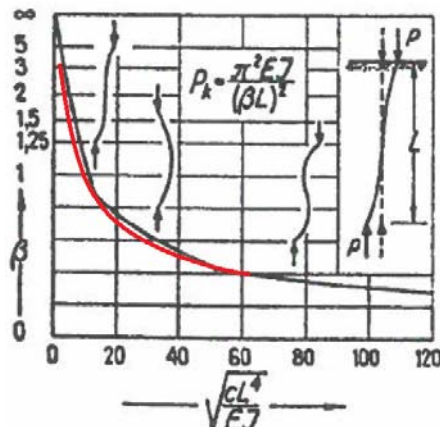
Критична дужина избочавања шипова:
(приближно) са

$$c_{avg} := 5000 \frac{kN}{m^2}$$

за

$$\beta = \frac{\pi}{L} \cdot \sqrt{\frac{EI}{c}}$$

$$\pi \sqrt{\frac{E_p \cdot D_p^4}{c_{avg}}} = 11.85 \cdot m$$



Процењени угао трења насыпа и кегле: $\phi_t := 30^\circ$

Коефицијенти пасивног притиска тла (кеgle):

$$m_t = 0.00 \cdot {}^\circ \quad m_w = 30.00 \cdot {}^\circ \quad \nu = -60.00 \cdot {}^\circ$$

$$K_{n,p} = 0.60 \quad K_{q,p} = 0.45 \quad K_{c,p} = -0.70 \quad K_{\gamma,p} = 0.45$$

Коефицијент активног притиска тла (испуне):

$$m_t = 60.00 \cdot {}^\circ \quad m_w = 60.00 \cdot {}^\circ \quad \nu = 0.00 \cdot {}^\circ$$

$$K_{n,a} = 0.33 \quad K_{q,a} = 0.33 \quad K_{c,a} = 1.15 \quad K_{\gamma,a} = 0.33$$

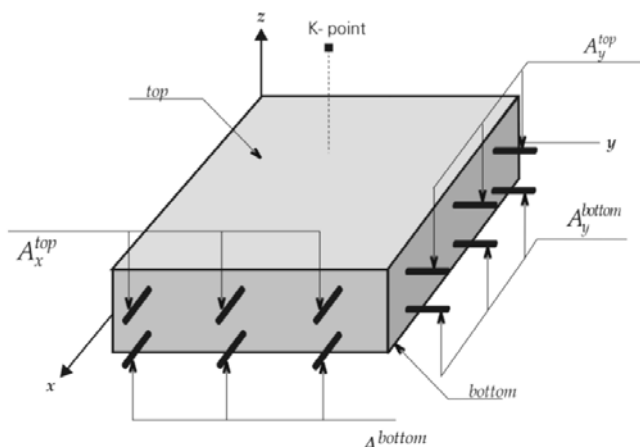
1.5. УПОТЕРБЉЕНА МЕТОДА КОНАЧНИХ ЕЛЕМЕНТА - AXIS VM

Конструкција је моделирана употребом софтвера коначних елемената - AXIS VM. Модел представља коначну форму конструкције.

ИЗВОДИ ИЗ УПУТСВТА AXIS VM СОФТВЕРА:

Површински параметри армирања и прорачун армирања - RC1 module

Потребна количина арматуре се рачуна у складу са Еврокодом 2. Прорачун армирања мембрани, плоче, и лјускастих елемената базирана је на трећем напонском стању. Правац армирања је исти са X и Y равнима. Номинални момент савијања и одговарајућа аксијална чврстоћа одређена је у складу са оптималном дизајнском ограничеог смера.



Резултујући компоненти:

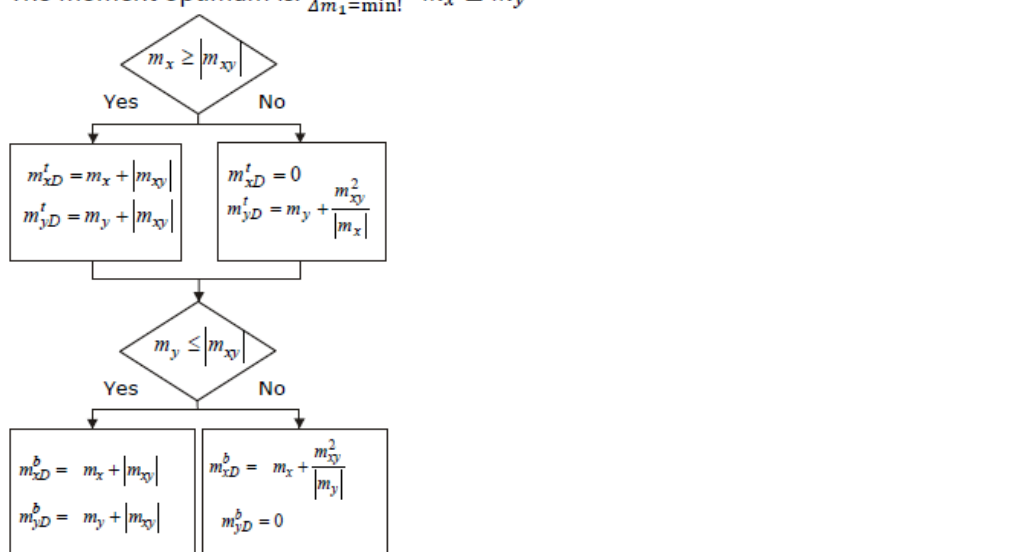
- axb: прорачуната површина армирања у доњем појасу у 'x' правцу
- ayb: прорачуната површина армирања у доњем појасу у 'y' правцу
- axt: прорачуната површина армирања у горњем појасу у 'x' правцу
- ayt: прорачуната површина армирања у горњем појасу у 'y' правцу

Минимални заштитни слој: Програм одређује минималан заштитни слој бетона горњег и доњег појаса према степену изложености у складу са важећим стандардима.

Прорачун попречне x/y арматуре у складу са Евркодом 2

If m_x, m_y, m_{xy} are the internal forces at a point, then the nominal moment strengths are as follows:

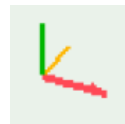
The moment optimum is: $\frac{\Delta m_2=0}{\Delta m_1=\min!} \quad m_x \geq m_y$



Програм прорачунава потребну притиснуту и затегнуту арматуру. Следеће вредности су представљене као резултати: a_{xb} , a_{xt} , a_{yb} , a_{yt} . Ове вредности представљају прорачунату горњу и доњу арматуру у 'x' и 'y' правцу

Локални координатни системи коначних елемената у 3D моделу

Боје: **x** = црвена, **y** = жута, **z** = зелена.



Узети у обзор минималну површину армирања.

Програм прорачунава потребну минималну горњу и доњу арматуру по важећем стандарду. Ако је прорачуната количина армирања мања од ових, употребити минималну површину армирања.

Армирање стубова RC2 modul

Прорачунат је дијаграм интеракције у складу са карактеристикама попречног пресека и арматуре и одређено је повећање ексцентрицитета сила у одређеним стубовима на основу датих података избочавања, у складу са захтевима важећег стандарда.

Одређују се рачунски утицаји у складу са прираштајем ексцентрицитета и врше се провере ако се одговарајуће тачке налазе унутар дијаграма интеракције.

Програм одређује две методе оптималности.

Прва метода, ефикасност момента ϵ ($N = \text{const.}$):

Одређена је на $M_y - M_z$ дијаграму као однос растојања рачунске силе од почетне тачке до тачке пресеке са кривом и цртаном полу-правом линијом од почетне тачке кроз исту тачку.

Друга метода, ϵ ($e = \text{const.}$), ефикасност константног ексцентрицитета:

Одређена је у $N - M_y - M_z$ површине као однос растојања рачунске силе од почетне тачке до тачке пресецања $N - M$ површине и полу линије цртане кроз почетну тачку.

За тренутни прорачун прва метода, ϵ ($N = \text{const.}$), оптималности је представљена.

Провера армирања стубова у складу са ЕвроКодом 2.

Design moments in bending directions are $M_d = N_d \cdot e_d$

where N_d is the normal force in the column and $e_d = e_e + e_i + e_2$ is the critical eccentricity in the given bending direction.

$e_0 = M_I / N_d$ initial eccentricity calculated from the first order force and moment.

If moments at the top and bottom end of the column are different, a substitute eccentricity will be determined:

e_e : If the moments at the column endpoints are different, an equivalent eccentricity is determined according to the following

- in a braced direction $e_e = \max \left\{ \frac{0.6 \cdot e_a + 0.4 \cdot e_b}{0.4 \cdot e_a} \right\}$ and $|e_a| \geq |e_b|$
where e_a and e_b are the initial eccentricities at the ends of the column.
- in a non-braced direction $e_e = \max \left\{ \frac{|e_a|}{|e_b|} \right\}$, but with the sign of the eccentricity bigger in absolute value.

e_2 : second order increment of the eccentricity.

$$e_2 = \frac{1}{r} \frac{l_0^2}{\pi^2}, \text{ where } \frac{1}{r} = K_r K_\varphi \frac{f_{yd}}{E_s \cdot 0.45 \cdot d}, \text{ if } \lambda \geq \lambda_{lim} = 20 \frac{ABC}{\sqrt{n}} \text{ where } n = \frac{N_{Ed}}{A_{cf} cd}$$

$$K_r = \min \left\{ \frac{N'_u - N_{Ed}}{N'_u - N_{bal}}; 1.0 \right\}, K_\varphi = \max \{1 + \beta \varphi_{ef}; 1.0\},$$

$$\beta = 0.35 + \frac{f_{ck}}{200} - \frac{\lambda}{150}, \text{ where } f_{ck} \text{ is in N/mm}^2,$$

$$d' = \frac{h}{2} + i_s, \text{ where } i_s \text{ is the radius of inertia of rebars}$$

Increments of eccentricities are determined in both bending planes. The program checks the following design situations:

At the middle of the column:

$$\lambda_y/\lambda_z \leq 2 \text{ and } \lambda_z/\lambda_y \leq 2, \text{ furthermore} \\ \frac{e_y/b_{eq}}{e_z/h_{eq}} \leq 0,2 \text{ or } \frac{e_z/h_{eq}}{e_y/b_{eq}} \leq 0,2 \quad \text{otherwise}$$

$$M_{dy,1} = N_d^* e_{ez} \quad M_{dy} = N_d^* (e_{ez} \pm (e_{iz} + e_{2z})) \\ M_{dz,1} = -N_d^* (e_{ey} \pm (e_{iy} + e_{2y})) \quad M_{dz} = -N_d^* (e_{ey} \pm (e_{iy} + e_{2y})) \\ M_{dy,2} = N_d^* (e_{ez} \pm (e_{iz} + e_{2z})) \\ M_{dz,2} = -N_d^* e_{ey}$$

At the top and bottom of the column if the column is braced (non-sway):

$$\lambda_y/\lambda_z \leq 2 \text{ and } \lambda_z/\lambda_y \leq 2, \text{ furthermore} \\ \frac{e_y/b_{eq}}{e_z/h_{eq}} \leq 0,2 \text{ or } \frac{e_z/h_{eq}}{e_y/b_{eq}} \leq 0,2 \quad \text{otherwise}$$

$$M_{dy,1} = N_d^* e_{0z} \quad M_{dy} = N_d^* (e_{0z} \pm e_{iz}) \\ M_{dz,1} = -N_d^* (e_{0y} \pm e_{iy}) \quad M_{dz} = -N_d^* (e_{0y} \pm e_{iy}) \\ M_{dy,2} = N_d^* (e_{0z} \pm e_{iz}) \\ M_{dz,2} = -N_d^* e_{0y}$$

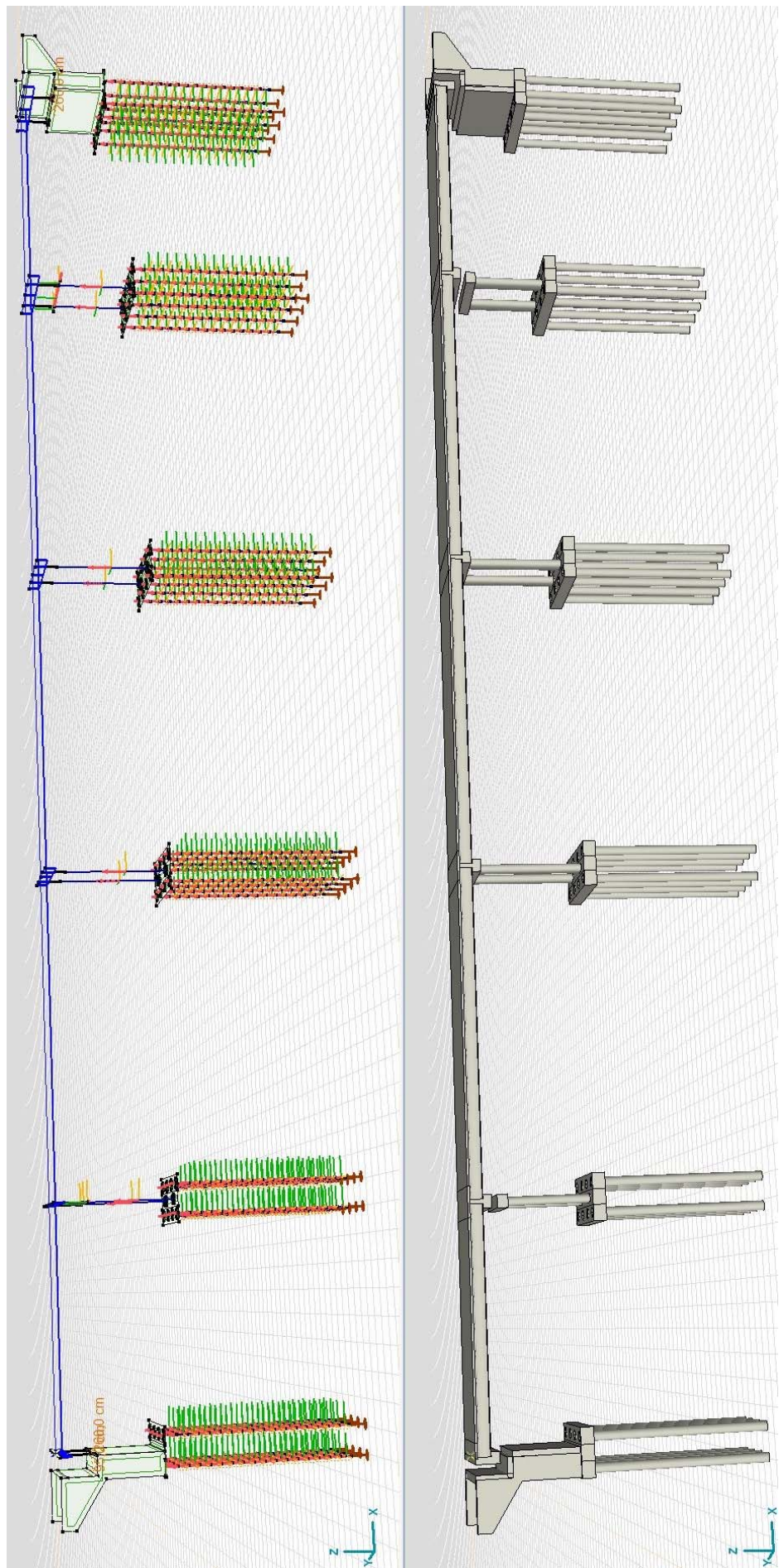
At the top and bottom of the column if the column is not braced (sway):

$$\lambda_y/\lambda_z \leq 2 \text{ and } \lambda_z/\lambda_y \leq 2, \text{ furthermore} \\ \frac{e_y/b_{eq}}{e_z/h_{eq}} \leq 0,2 \text{ or } \frac{e_z/h_{eq}}{e_y/b_{eq}} \leq 0,2 \quad \text{otherwise}$$

$$M_{dy,1} = N_d^* e_{0z} \quad M_{dy} = N_d^* (e_{0z} \pm (e_{iz} + e_{2z})) \\ M_{dz,1} = -N_d^* (e_{0y} \pm (e_{iy} + e_{2y})) \quad M_{dz} = -N_d^* (e_{0y} \pm (e_{iy} + e_{2y})) \\ M_{dy,2} = N_d^* (e_{0z} \pm (e_{iz} + e_{2z})) \\ M_{dz,2} = -N_d^* e_{0y}$$

AxisVM checks whether the calculated design loads (M_{dy} , M_{dz} , N_d) are inside the N-M strength interaction diagram. If it is not satisfied in any of the design situations, the column with the given cross-section and reinforcement fails.

Axis VM врши проверу рачунских оптерећења (M_{dy} , M_{dz} , N_d) како би се установило њихово гранично стање унутар дијаграма интеракције N-M. Ако услов није задовољен у складу са рачунским захтевима, колона са заданим поп. пресеком и арматуром се занемарује.



2. ОПТЕРЕЋЕЊА И ДЕЈСТВА

2.1. СТАЛНО ОПТЕРЕЋЕЊЕ

2.1.1. СОПСТВЕНА ТЕЖИНА ДОНЈЕГ СТРОЈА

Стално оптерећење за конструктивне елементе је прорачунато помоћу софтвера у складу са методом коначних елемената

2.1.2. СОПСТВЕНА ТЕЖИНА ГОРЊЕГ СТРОЈА

Тежина попречног носача на стубовима:

$$b_{crossgirder} := 1.20m \quad h_{crossgirder.avg} := 93.5cm$$

$$g_{crossgirder} := (h_{crossgirder.avg} + h_{prc} + t_{d.avg}) \cdot b_{crossgirder} \cdot \gamma_{rc} - \frac{2 \cdot n_{prc} \cdot l_{prc,e} \cdot g_{prc}}{b_d} = 63.1 \cdot \frac{kN}{m}$$

Тежина крајњег попречног конструкцивног носача на стубовима:

$$b_{e.crossgirder} := 1.00m \quad h_{e.crossgirder.avg} := 93.5cm$$

$$g_{e.crossgirder} := (h_{e.crossgirder.avg} + h_{prc} + t_{d.avg}) \cdot b_{e.crossgirder} \cdot \gamma_{rc} - \frac{n_{prc} \cdot l_{prc,e} \cdot g_{prc}}{b_d} = 55.3 \cdot \frac{kN}{m}$$

Реакције ослонаца просте греде горњег строја (DL1+DL2):

$$DL1+DL2 := Simplebeam \cdot (n_{prc} \cdot g_{prc} + t_{d.avg} \cdot \gamma_{rc} \cdot b_d)$$

$$DL1+DL2^T = (1550 \ 3739 \ 4377 \ 4377 \ 3739 \ 1550) \cdot kN$$

Оптерећење на континуалној греди горњег строја (DL3):

Тежина хидроизолације и асфалта:

$$g_{pavement} := t_p \cdot b_p \cdot \gamma_p = 11.5 \cdot \frac{kN}{m}$$

Тежина пешачке стазе:

$$g_{sidewalk,l} := (b_l - b_{s,e}) \cdot (t_p + 15cm) \cdot \gamma_{rc} + b_{s,e} \cdot h_{s,e} \cdot \gamma_{rc} = 13.9 \cdot \frac{kN}{m}$$

$$g_{sidewalk,r} := (b_r - b_{s,e}) \cdot (t_p + 15cm) \cdot \gamma_{rc} + b_{s,e} \cdot h_{s,e} \cdot \gamma_{rc} = 13.9 \cdot \frac{kN}{m}$$

Тежина заштитне ограде + ограде за пешаке + инсталације:

$$g_{other,l} := 0.30 \frac{kN}{m} + 0.50 \frac{kN}{m} + 1.00 \frac{kN}{m} = 1.8 \cdot \frac{kN}{m} \quad g_{other,r} := 0.30 \frac{kN}{m} + 0.50 \frac{kN}{m} + 1.00 \frac{kN}{m} = 1.8 \cdot \frac{kN}{m}$$

$$DL3 := g_{pavement} + g_{sidewalk,l} + g_{sidewalk,r} + g_{other,l} + g_{other,r} = 42.9 \cdot \frac{kN}{m}$$

2.1.3. СОПСТВЕНА ТЕЖИНА КРИЛНИХ ЗИДОВА

Стално оптерећење пешачке стазе на крилне зидове:

Дебљина крилних зидова:

$$t_w := 50cm$$

Просечна дебљина конзолних пешачких стаза:

$$t_{cant,l} := 0.5 \cdot (50 + 25)cm \quad t_{cant,r} := 0.5 \cdot (50 + 25)cm$$

$$g_{cant.l} := g_{sidewalk.l} + g_{other.l} + (b_l - b_{s.e} - t_w) \cdot t_{cant.l} \cdot \gamma_{rc} = 23.7 \cdot \frac{kN}{m}$$

$$g_{cant.r} := g_{sidewalk.r} + g_{other.r} + (b_r - b_{s.e} - t_w) \cdot t_{cant.r} \cdot \gamma_{rc} = 23.7 \cdot \frac{kN}{m}$$

2.1.4. ОПТЕРЕЋЕЊА ОД НАСИПА, ПРИТИСАК ЗЕМЛЈЕ

Стално оптерећење изнад наглавка шипова:

Висина насила и дебљина косине (потпор):

$$h_{backfill} := \begin{pmatrix} 9.40 \\ 8.60 \end{pmatrix} m$$

$$t_{cov.abut} := \begin{pmatrix} 5.30 \\ 4.50 \end{pmatrix} m$$

Макс. дебљина наглавка (стубова):

$$t_{cov.pier} := 1.10 m$$

$$g_{cov.backfill} := \gamma_t \cdot h_{backfill}$$

$$g_{cov.abut} := \gamma_t \cdot t_{cov.abut}$$

$$g_{cov.pier} := \gamma_t \cdot t_{cov.pier}$$

$$g_{cov.backfill} = \begin{pmatrix} 178.60 \\ 163.40 \end{pmatrix} \cdot \frac{kN}{m^2}$$

$$g_{cov.abut} = \begin{pmatrix} 100.70 \\ 85.50 \end{pmatrix} \cdot \frac{kN}{m^2}$$

$$g_{cov.pier} = 20.90 \cdot \frac{kN}{m^2}$$

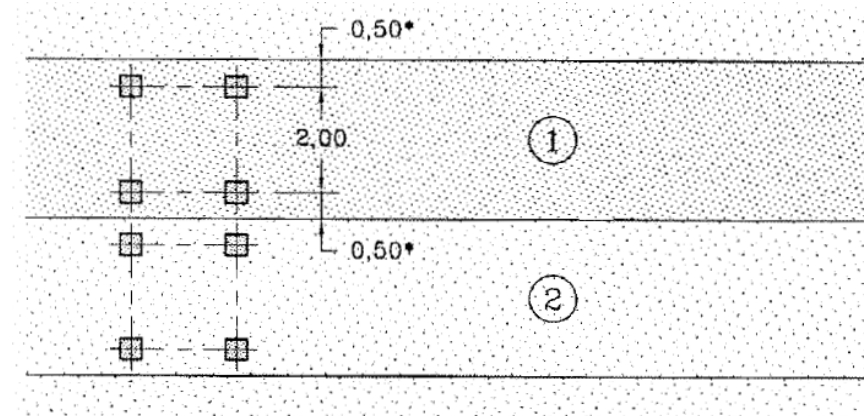
Притисак земљишта на потпорни зид:

$$p_a := h_{backfill} \cdot K_{\gamma.a} \cdot \gamma_t = \begin{pmatrix} 59.5 \\ 54.5 \end{pmatrix} \cdot \frac{kN}{m^2} \quad p_p := h_{backfill} \cdot K_{\gamma.p} \cdot \gamma_t = \begin{pmatrix} 80.0 \\ 73.1 \end{pmatrix} \cdot \frac{kN}{m^2}$$

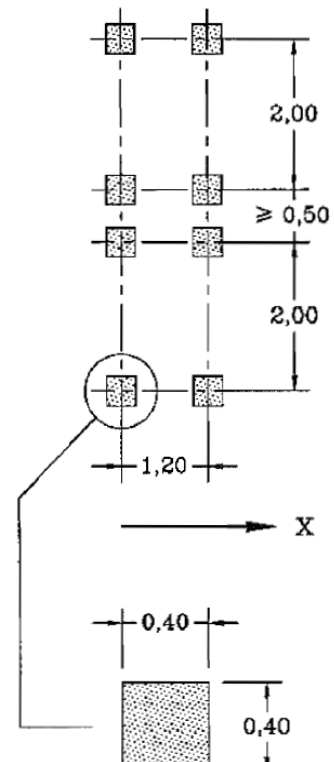
2.2. НЕЖЕЛЈЕНА ДЕЈСТВА

2.2.1. ДЕЈСТВА ОД САОБРАЋАЈА

LM1 модел сабраћајних дејства



Локација	Тандем систем TS		UDL систем	
	Основинска оптерећења		$q_{ik} [kN/m^2]$	α_{qi}
Трака бр. 1	300	1.00	9.00	1.00
Трака бр. 2	200	1.00	2.50	1.00
Преостала површина			2.50	1.00



За распоне веће од 10 м, сваки тандем систем је замењен у свакој траци једносмерним концетрисаним оптерећењем укупне тежине двеју осовина:

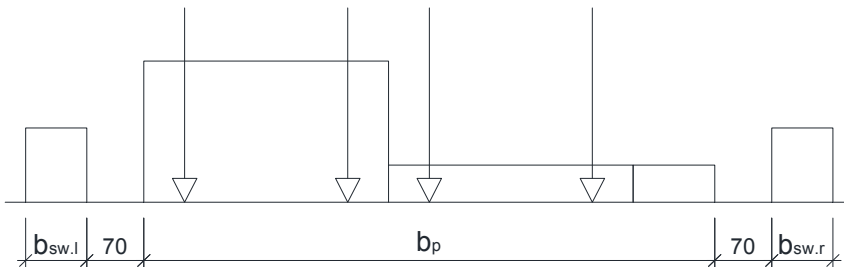
Трака број 1: $600 \alpha_{Q1} kN$

Трака број 2: $400 \alpha_{Q2} kN$

Једнако расподељено оптерећење на тротоарима

$$q_{fk} := 5.00 \frac{\text{kN}}{\text{m}^2} \quad b_{sw,l} \cdot q_{fk} = 3.75 \cdot \frac{\text{kN}}{\text{m}} \quad b_{sw,r} \cdot q_{fk} = 3.75 \cdot \frac{\text{kN}}{\text{m}}$$

Важећи распоред оптерећења на коловозу

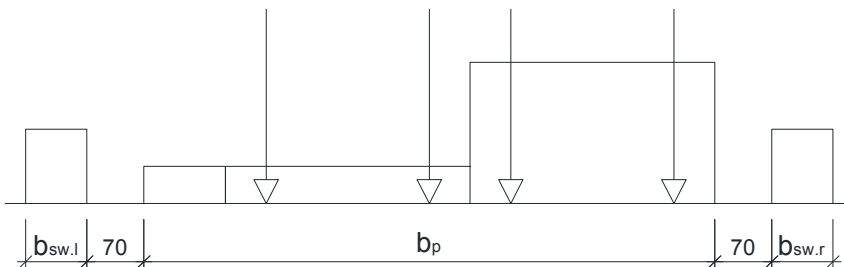


$$q_{gr1,L} := b_{sw,l} \cdot q_{fk} + (b_p - w_1 - w_2) \cdot \alpha_{qn} \cdot q_{nk} + w_2 \cdot \alpha_{q2} \cdot q_{2k} + w_1 \cdot \alpha_{q1} \cdot q_{1k} + b_{sw,l} \cdot q_{fk} = 42.0 \cdot \frac{\text{kN}}{\text{m}}$$

$$Q_{gr1,L} := 2 \cdot \alpha_{Q1} \cdot Q_{1k} + 2 \cdot \alpha_{Q2} \cdot Q_{2k} = 1000 \cdot \text{kN}$$

$$\begin{aligned} m_{gr1,L} &:= b_{sw,l} \cdot q_{fk} \cdot (-0.5 \cdot b_p - e_d - 70\text{cm} - 0.5 \cdot b_{sw,l}) \dots &= 29.3 \cdot \frac{\text{kNm}}{\text{m}} \\ &+ (b_p - w_1 - w_2) \cdot \alpha_{qn} \cdot q_{nk} \cdot [0.5 \cdot b_p - e_d - w_1 - w_2 - 0.5 \cdot (b_p - w_1 - w_2)] \dots \\ &+ w_2 \cdot \alpha_{q2} \cdot q_{2k} \cdot (0.5 \cdot b_p - e_d - w_1 - 0.5 \cdot w_2) \dots \\ &+ w_1 \cdot \alpha_{q1} \cdot q_{1k} \cdot (0.5 \cdot b_p - e_d - 0.5 \cdot w_1) \dots \\ &+ b_{sw,r} \cdot q_{fk} \cdot (0.5 \cdot b_p - e_d + 70\text{cm} + 0.5 \cdot b_{sw,r}) \end{aligned}$$

$$\begin{aligned} M_{gr1,L} &:= 2 \cdot \alpha_{Q2} \cdot Q_{2k} \cdot (0.5 \cdot b_p - e_d - w_1 - 0.5 \cdot w_2) \dots = 300 \cdot \text{kNm} \\ &+ 2 \cdot \alpha_{Q1} \cdot Q_{1k} \cdot (0.5 \cdot b_p - e_d - 0.5 \cdot w_1) \end{aligned}$$



$$q_{gr1,R} := b_{sw,l} \cdot q_{fk} + w_1 \cdot \alpha_{q1} \cdot q_{1k} + w_2 \cdot \alpha_{q2} \cdot q_{2k} + (b_p - w_1 - w_2) \cdot \alpha_{qn} \cdot q_{nk} + b_{sw,l} \cdot q_{fk} = 42.0 \cdot \frac{\text{kN}}{\text{m}}$$

$$Q_{gr1,R} := 2 \cdot \alpha_{Q1} \cdot Q_{1k} + 2 \cdot \alpha_{Q2} \cdot Q_{2k} = 1000 \cdot \text{kN}$$

$$\begin{aligned} m_{gr1,L} &:= b_{sw,l} \cdot q_{fk} \cdot (-0.5 \cdot b_p - e_d - 70\text{cm} - 0.5 \cdot b_{sw,l}) \dots &= -29.3 \cdot \frac{\text{kNm}}{\text{m}} \\ &+ (b_p - w_1 - w_2) \cdot \alpha_{qn} \cdot q_{nk} \cdot [-0.5 \cdot b_p - e_d + w_1 + w_2 + 0.5 \cdot (b_p - w_1 - w_2)] \dots \\ &+ w_2 \cdot \alpha_{q2} \cdot q_{2k} \cdot (-0.5 \cdot b_p - e_d + w_1 + 0.5 \cdot w_2) \dots \\ &+ w_1 \cdot \alpha_{q1} \cdot q_{1k} \cdot (-0.5 \cdot b_p - e_d + 0.5 \cdot w_1) \dots \\ &+ b_{sw,r} \cdot q_{fk} \cdot (0.5 \cdot b_p - e_d + 70\text{cm} + 0.5 \cdot b_{sw,r}) \end{aligned}$$

$$\begin{aligned} M_{gr1,L} &:= 2 \cdot \alpha_{Q2} \cdot Q_{2k} \cdot (-0.5 \cdot b_p - e_d + w_1 + 0.5 \cdot w_2) \dots = -300 \cdot \text{kNm} \\ &+ 2 \cdot \alpha_{Q1} \cdot Q_{1k} \cdot (-0.5 \cdot b_p - e_d + 0.5 \cdot w_1) \end{aligned}$$

Силе кочења и убрзања

$$Q_{lk} := 0.6 \cdot \alpha_{Q1} \cdot (2 \cdot Q_{1k}) + 0.10 \cdot \alpha_{q1} \cdot q_{1k} \cdot w_1 \cdot L_{sup}$$

$$F_{b,a} := \min(900 \text{ kN}, \max(180 \text{ kN} \cdot \alpha_{Q1}, Q_{lk})) = 735 \text{ kN}$$

$$q_{b,a} := \frac{F_{b,a}}{L_{sup}} = 5.3 \frac{\text{kN}}{\text{m}}$$

Центрифугалне и остале трансверзалне сile

$r_{axis} := \infty \text{ m}$	$Q_v := \alpha_{Q1} \cdot (2 \cdot Q_{1k})$	$Q_v = 600 \cdot \text{kN}$
--------------------------------	---	-----------------------------

$Q_{tk} = 0.2 Q_v \text{ (kN)}$	if $r < 200 \text{ m}$
$Q_{tk} = 40 Q_v / r \text{ (kN)}$	if $200 \leq r \leq 1500 \text{ m}$
$Q_{tk} = 0$	if $r > 1500 \text{ m}$

$$Q_{tk} = 0 \cdot \text{kN}$$

Вертикална оптерећења на потпорима

Израчунавање заменске дебљине висине расподеле оптерећења изнад приступне плоче према методи Odemark:

$t_{dist} := 60 \text{ cm}$	$E_{dist} := 40 \text{ MPa}$	$t_{as} := 25 \text{ cm}$	$E_{as} := 31 \text{ GPa}$	$h_{b,min} := \min(h_{backfill}) = 8.60 \text{ m}$
-----------------------------	------------------------------	---------------------------	----------------------------	--

$$t_{sub,1} := t_{dist} - t_{as} + 0.90 \cdot \left(t_{as} \cdot \sqrt[3]{\frac{E_{as}}{E_{dist}}} \right) = 2.42 \cdot \text{m}$$

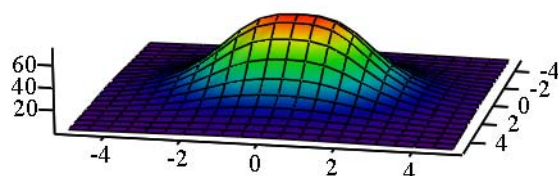
$$t_{sub,2} := h_{b,min} - t_{as} + 0.90 \cdot \left(t_{as} \cdot \sqrt[3]{\frac{E_{as}}{E_{dist}}} \right) = 10.42 \cdot \text{m}$$

Дистрибуција оптерећења и еквивалентно једнакорасподељено оптерећење из TS1 према Boussinesq методи испод плоче за прилаз:

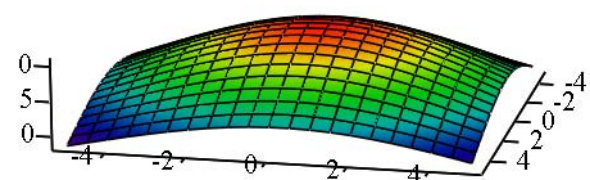
$$q_{eq,1} = 57.3 \cdot \text{kPa}$$

Дистрибуција оптерећења и еквивалентно једнакорасподељено оптерећење из TS1+TS2 према Boussinesq методи на доњем делу потпора:

$$q_{eq,2} = 20.3 \cdot \text{kPa}$$



$$p_{a,1} := K_{q,a} \cdot q_{eq,1} = 19.1 \cdot \frac{\text{kN}}{\text{m}^2}$$



$$p_{a,2} := K_{q,a} \cdot q_{eq,2} = 6.8 \cdot \frac{\text{kN}}{\text{m}^2}$$

2.2.2. ДЕЈСТВО ВЕТРА

Основна вредност просечне брзине ветра:

$$v_{b0} := 28 \frac{\text{m}}{\text{s}} \quad v'_{b0} := 23 \frac{\text{m}}{\text{s}}$$

Референтна висина (приближно):

$h_{ref} := 12.0 \text{ m}$

Смер и сезонски фактори:

$$c_{dir} := 1.00 \quad c_{season} := 1.00$$

Уобичајена вредност просечне брзине ветра 10 м изнад површине терена:

$$v_b := v_{b0} \cdot c_{dir} \cdot c_{season} \quad v_b = 28.00 \frac{m}{s}$$

Категорија терена:

II. Category

Референтна висина у категорији терена II:

$$z_{0,II} := 0.05m$$

Фактор терена:

$$k_r := 0.19 \cdot \left(\frac{z_0}{z_{0,II}} \right)^{0.07} \quad k_r = 0.19$$

Уопштени фактор орографије:

$$c_0 := 1.0$$

Интензитет турболенције:

$$k_i := 1.0$$

Фактор храпавости:

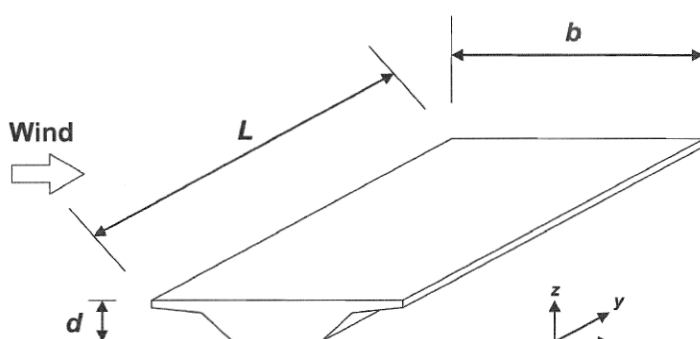
$$c_r(z) := \begin{cases} k_r \cdot \ln\left(\frac{z_{min}}{z_0}\right) & \text{if } z < z_{min} \\ k_r \cdot \ln\left(\frac{z}{z_0}\right) & \text{otherwise} \end{cases}$$

$$I_v(z) := \begin{cases} \frac{k_i}{c_0 \cdot \ln\left(\frac{z_{min}}{z_0}\right)} & \text{if } z < z_{min} \\ \frac{k_i}{c_0 \cdot \ln\left(\frac{z}{z_0}\right)} & \text{otherwise} \end{cases}$$

Дејство ветра у Y правцу је занемарена у прелиминарној фази пројектовања

Густина ваздуха:

$$\rho := 1.25 \frac{kg}{m^3}$$



Макс. брзина притиска:

$$q_p(z) := (1 + 7 \cdot I_v(z)) \cdot \frac{1}{2} \cdot \rho \cdot (c_r(z) \cdot c_0 \cdot v_b \cdot c_{dir} \cdot c_{season})^2$$

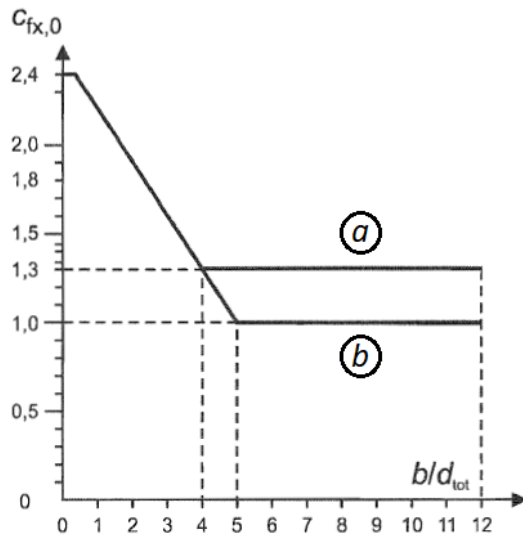
$$q_p(h_{ref}) = 1.21 \cdot \frac{kN}{m^2}$$

$$q'_p(z) := (1 + 7 \cdot I_v(z)) \cdot \frac{1}{2} \cdot \rho \cdot (c_r(z) \cdot c_0 \cdot v'_b \cdot c_{dir} \cdot c_{season})^2$$

$$q'_p(h_{ref}) = 0.82 \cdot \frac{kN}{m^2}$$

Утицаји ветра на површини моста у X правцу

Road restraint system	on one side	on both sides
Open parapet or open safety barrier	$d + 0,3 m$	$d + 0,6 m$
Solid parapet or solid safety barrier	$d + d_1$	$d + 2d_1$
Open parapet and open safety barrier	$d + 0,6 m$	$d + 1,2 m$



Еквивалентна дубина:

$$d_{\text{tot.a}} := 1.67\text{m} + 1.20\text{m}$$

Коефицијент силе:

$$c_{\text{fx.a}}(b_{\text{tot}}, d_{\text{tot.a}}) = 1.52$$

Еквивалентна дубина:

$$d_{\text{tot.b}} := 1.67\text{m} + (2.00\text{m} - 30\text{cm})$$

Коефицијент силе:

$$c_{\text{fx.b}}(b_{\text{tot}}, d_{\text{tot.b}}) = 1.66$$

Дејство ветра без саобраћаја:

$$F_{\text{wk}} := d_{\text{tot.a}} \cdot q_p(h_{\text{ref}}) \cdot c_{\text{fx.a}}(b_{\text{tot}}, d_{\text{tot.a}}) = 5.3 \cdot \frac{\text{kN}}{\text{m}}$$

Дејство ветра са саобраћајем: ($\psi_{0,w} := 0.60$)

$$F'_w := \psi_{0,w} \cdot d_{\text{tot.b}} \cdot q_p(h_{\text{ref}}) \cdot c_{\text{fx.b}}(b_{\text{tot}}, d_{\text{tot.b}}) = 4.1 \cdot \frac{\text{kN}}{\text{m}}$$

Треба да се ограничени на

$$d_{\text{tot.b}} \cdot q'_p(h_{\text{ref}}) \cdot c_{\text{fx.b}}(b_{\text{tot}}, d_{\text{tot.b}}) = 4.6 \cdot \frac{\text{kN}}{\text{m}}$$

Утицаји ветра на површини моста у Z правцу

$$c_{fZ} := 0.90 \quad (\text{разматран је само доњи смер})$$

Дејство ветра без саобраћаја:

$$F_{\text{wk}} := b_{\text{tot}} \cdot q_p(h_{\text{ref}}) \cdot c_{fZ} = 10.2 \cdot \frac{\text{kN}}{\text{m}}$$

Дејство ветра са саобраћајем: ($\psi_{0,w} := 0.60$)

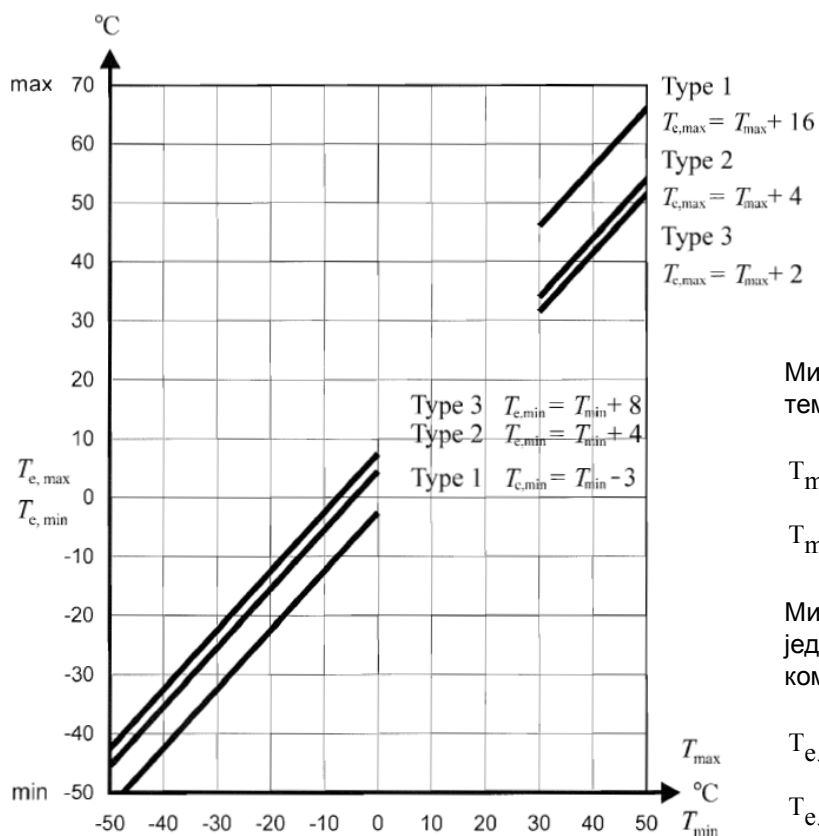
$$F'_w := \psi_{0,w} \cdot b_{\text{tot}} \cdot q_p(h_{\text{ref}}) \cdot c_{fZ} = 6.1 \cdot \frac{\text{kN}}{\text{m}}$$

Треба да се ограничи на

$$b_{\text{tot}} \cdot q'_p(h_{\text{ref}}) \cdot c_{fZ} = 6.9 \cdot \frac{\text{kN}}{\text{m}}$$

Утицај ветра на стубовима се занемарује у прелиминарној фази пројектовања.

2.2.3. ТОПЛОТНА ДЕЈСТВА



Минималне и максималне температуре ваздуха у хладовини:

$$T_{min} := -25^{\circ}\text{C}$$

$$T_{max} := 35^{\circ}\text{C}$$

Минималне и максималне једноличне температуре компонената моста:

$$T_{e,min} := T_{min} + 8^{\circ}\text{C} = -17.00 \cdot ^{\circ}\text{C}$$

$$T_{e,max} := T_{max} + 2^{\circ}\text{C} = 37.00 \cdot ^{\circ}\text{C}$$

Распон униморности температуре на компонентима моста

Иницијална температура моста: $T_0 := 10^{\circ}\text{C}$

Карактеристичне вредности максималних скупљања и ширења:

$$\Delta T_{N,con} := T_0 - T_{e,min} = 27 \cdot ^{\circ}\text{C}$$

$$\Delta T_{N,exp} := T_{e,max} - T_0 = 27 \cdot ^{\circ}\text{C}$$

Компоненти температурне разлике

Road, foot and railway bridges						
Surface Thickness	Type 1		Type 2		Type 3	
	Top warmer than bottom	Bottom warmer than top	Top warmer than bottom	Bottom warmer than top	Top warmer than bottom	Bottom warmer than top
[mm]	k_{sur}	k_{sur}	k_{sur}	k_{sur}	k_{sur}	k_{sur}
unsurfaced	0,7	0,9	0,9	1,0	0,8	1,1
water-proofed	1,6	0,6	1,1	0,9	1,5	1,0
50	1,0	1,0	1,0	1,0	1,0	1,0
100	0,7	1,2	1,0	1,0	0,7	1,0
150	0,7	1,2	1,0	1,0	0,5	1,0
ballast (750 mm)	0,6	1,4	0,8	1,2	0,6	1,0

Type of Deck	Top warmer than bottom	Bottom warmer than top
	$\Delta T_{M,heat}$ (°C)	$\Delta T_{M,cool}$ (°C)
Type 1: Steel deck	18	13
Type 2: Composite deck	15	18
Type 3: Concrete deck: - concrete box girder - concrete beam - concrete slab	10 15 15	5 8 8

Вредности за обрачун различитих површинских дебљина:

$$k_{sur,poz} := 0.80 \quad \Delta T_{poz} := k_{sur,poz} \cdot 15^{\circ}\text{C} = 12 \cdot ^{\circ}\text{C}$$

$$k_{sur,neg} := 1.00 \quad \Delta T_{neg} := k_{sur,neg} \cdot 8^{\circ}\text{C} = 8 \cdot ^{\circ}\text{C}$$

Компоненте температурне разлике занемарују се током прелиминарне фазе пројектовања јер се њихово симултанско дејство са саобраћајним оптерећењем изоставља у прорачунима ГСН-а у складу са „EN 1990“

Вредности термичког ширења лежај и дилатација

Претпостављене температуре за лежајеве и дилатационе разделнице:

$$\begin{aligned} \Delta T_{N.con} + 10^{\circ}\text{C} &= 37^{\circ}\text{C} & \alpha_T := 10^{-5} \cdot \frac{1}{^{\circ}\text{C}} \\ \Delta T_{N.exp} + 10^{\circ}\text{C} &= 37^{\circ}\text{C} \end{aligned}$$

Померања за дилатационе разделнице:

$$0.50 \cdot L_{sup} \cdot \alpha_T \cdot (\Delta T_{N.con} + 10^{\circ}\text{C}) = 25.68 \cdot \text{mm} \quad 0.50 \cdot L_{sup} \cdot \alpha_T \cdot (\Delta T_{N.exp} + 10^{\circ}\text{C}) = 25.68 \cdot \text{mm}$$

2.2.4. СПРЕЧЕНО СКУПЉАЊЕ

Релативна влажност (споља): $RH := 80\%$

Претпостављена величина горњег строја:

$$A_{prc} := 0.290 \text{ m}^2 \quad u_{prc} := 3.14 \text{ m} \quad h_{0,prc} := 2 \cdot A_{prc} \div u_{prc} \quad h_{0,deck} := t_{d,avg}$$

Карактеристична вредност чврстоће бетона при притиску на цилиндар:

$$f_{ck,deck} := 40 \frac{\text{N}}{\text{mm}^2}$$

$$f_{ck,prc} := 50 \frac{\text{N}}{\text{mm}^2}$$

Средња вредност чврстоће бетона при притиску на цилиндар:

$$f_{cm,deck} := 48 \frac{\text{N}}{\text{mm}^2}$$

$$f_{cm,prc} := 58 \frac{\text{N}}{\text{mm}^2}$$

Коефицијент у зависности од претпостављене величине:

$$k_h(h_0) := \begin{cases} 1.0 & \text{if } h_0 \leq 10\text{cm} \\ 1.0 - \frac{(1.00 - 0.85)}{20\text{cm} - 10\text{cm}}(h_0 - 10\text{cm}) & \text{if } 10\text{cm} < h_0 \leq 20\text{cm} \\ 0.85 - \frac{(0.85 - 0.75)}{30\text{cm} - 20\text{cm}}(h_0 - 20\text{cm}) & \text{if } 20\text{cm} < h_0 \leq 30\text{cm} \\ 0.75 - \frac{(0.75 - 0.70)}{50\text{cm} - 30\text{cm}}(h_0 - 30\text{cm}) & \text{if } 30\text{cm} < h_0 \leq 50\text{cm} \\ 0.70 & \text{if } h_0 > 50\text{cm} \end{cases}$$

$$\beta_{as}(t) := 1 - e^{-0.2 \cdot t^{0.5}}$$

$$\varepsilon_{ca}(f_{ck}) := 2.5 \cdot \left(\frac{f_{ck}}{\frac{N}{mm^2}} - 10 \right) \cdot 10^{-6}$$

Аутогено напрезање

услед скупљања:

$$\varepsilon_{ca}(t, f_{ck}) := \beta_{as}(t) \cdot \varepsilon_{ca}(f_{ck}) \quad \alpha_{ds1} := 4 \quad \alpha_{ds2} := 0.12 \quad \beta_{RH} := 1.55 \cdot (1 - RH^3)$$

$$\beta_{ds}(t, t_s, h_0) := \frac{t - t_s}{(t - t_s) + 0.04 \cdot \sqrt{\left(\frac{h_0}{mm}\right)^3}} \quad \varepsilon_{cd,0}(f_{cm}) := 0.85 \cdot \left[\left(220 + 110 \cdot \alpha_{ds1} \right) \cdot e^{\left(-\alpha_{ds2} \cdot \frac{f_{cm}}{10 \cdot \frac{N}{mm^2}} \right)} \right] \cdot 10^{-6} \cdot \beta_{RH}$$

Развој напрезања услед скупљања исушавањем:

$$\varepsilon_{cd}(t, t_s, h_0, f_{cm}) := \beta_{ds}(t, t_s, h_0) \cdot \varepsilon_{cd,0}(f_{cm}) \cdot k_h(h_0)$$

Укупно напрезање услед скупљања:

$$\varepsilon_{cs}(t, t_s, h_0, f_{ck}, f_{cm}) := \varepsilon_{ca}(t, f_{ck}) + \varepsilon_{cd}(t, t_s, h_0, f_{cm})$$

Укупно напрезање услед скупљања ПБ греда у тренутку изливања (прет. старост - 100 дана),

$$\varepsilon_{100.prc} := \varepsilon_{cs}(100, 0, h_0.prc, f_{ck.prc}, f_{cm.prc}) = 0.018\%$$

и коначна вредност скупљања:

$$\varepsilon_{10000.prc} := \varepsilon_{cs}(10000, 0, h_0.prc, f_{ck.prc}, f_{cm.prc}) = 0.028\%$$

Коначна вредност скупљања саобраћајнице:

$$\varepsilon_{10000.deck} := \varepsilon_{cs}(10000, 0, h_0.deck, f_{ck.deck}, f_{cm.deck}) = 0.027\%$$

Ефективни модул
еластичности бетона:

$$E_{c.eff.deck} := 14.60 \frac{kN}{mm^2}$$

$$E_{c.eff.prc} := 17.00 \frac{kN}{mm^2}$$

Спречено скупљање спречнуте структуре:

$$\varepsilon_{c.sup} := \frac{(\varepsilon_{10000.prc} - \varepsilon_{100.prc}) \cdot n_{prc} \cdot A_{prc} \cdot E_{c.eff.prc} + \varepsilon_{10000.deck} \cdot b_d \cdot t_{d.avg} \cdot E_{c.eff.deck}}{(n_{prc} \cdot A_{prc} \cdot E_{c.eff.prc} + b_d \cdot t_{d.avg} \cdot E_{c.eff.deck})} = 0.017\%$$

Одвојити (разликовати) топлотно ширење од спреченог скупљања горњег строја:

$$\frac{\varepsilon_{c.sup}}{\alpha_T} = 16.6 \cdot ^\circ C$$

2.2.5. СЕИЗМИЧКО ОПТЕРЕЋЕЊЕ

Аутоматско генерисање сеизмичких оптерећења примењује се са уgraђеним AXIS VM модулом.

Сеизмичка оптерећења се узимају у обзор према методи Анализе спектра реакције. Ова метода захтева претходно израчунати број непоремећених фреквенција слободних вибрација и одговарајуће облике рада.

На основу ових облика режима вибрације AXIS VM ствара еквивалентна статичка оптерећења (за сваки облик режима вибрације) која се затим примењују на модел у статичкој анализи. Затим се резултат унутрашње силе добијеним за сваки облик режима сабира са методом описаном у спецификацији прорачуна.

Ово су кораци стварања сеизмичких оптерећења и подешавања параметара одзива:

1. Израчунати прве n облике фреквенција и вибрација и табелу еквивалентних сеизмичких коефицијената X, Y правцу.

2. Програм генерише више случајева оптерећења.

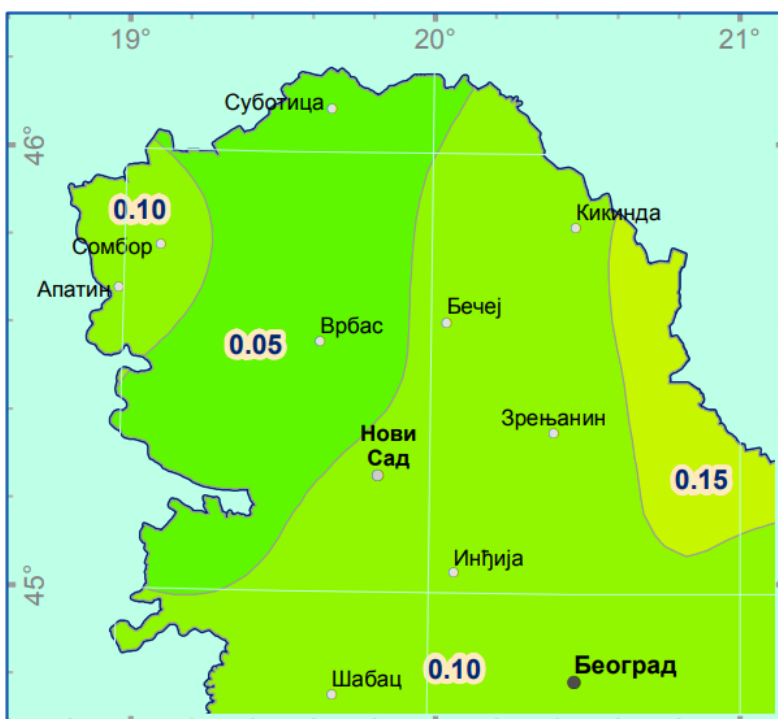
Случајеви оптерећења „X“, „Y“ садрже максималну вредност напона и деформација израчунатих из еквивалентних сеизмичких коефицијената у X, Y правцима.

Случајеви оптерећења '+', '-' садрже максималну вредност напрезања и деформација наведених у еквивалентним сеизмичким коефицијентима у X, Y правцу.

3. Сеизмички параметри

Сеизмички утицаји у Z координати нису узети у обзор.

Сеизмичка мапа:



Референтно убрзање примењене сеизмичке зоне:

$$a_{gR} := 0.05 \cdot g$$

Класа важности моста: II.
(Просечна класа важности)

$$\gamma_I := 1.00$$

Пројектовано убрзање на тлу:

$$a_g := \gamma_I \cdot a_{gR} = 0.49 \cdot \frac{m}{s^2}$$

Спектар одзива еластичног убрзања:

$$0 \leq T \leq T_B : S_d(T) = a_g \cdot S \cdot \left[\frac{2}{3} + \frac{T}{T_B} \cdot \left(\frac{2,5}{q} - \frac{2}{3} \right) \right]$$

$$T_B \leq T \leq T_C : S_d(T) = a_g \cdot S \cdot \frac{2,5}{q}$$

$$T_C \leq T \leq T_D : S_d(T) = \begin{cases} = a_g \cdot S \cdot \frac{2,5}{q} \cdot \left[\frac{T_C}{T} \right] \\ \geq \beta \cdot a_g \end{cases}$$

$$T_D \leq T : S_d(T) = \begin{cases} = a_g \cdot S \cdot \frac{2,5}{q} \cdot \left[\frac{T_C T_D}{T^2} \right] \\ \geq \beta \cdot a_g \end{cases}$$

"C" категорија тла је узета у обзир.

Параметри спектра одговора:

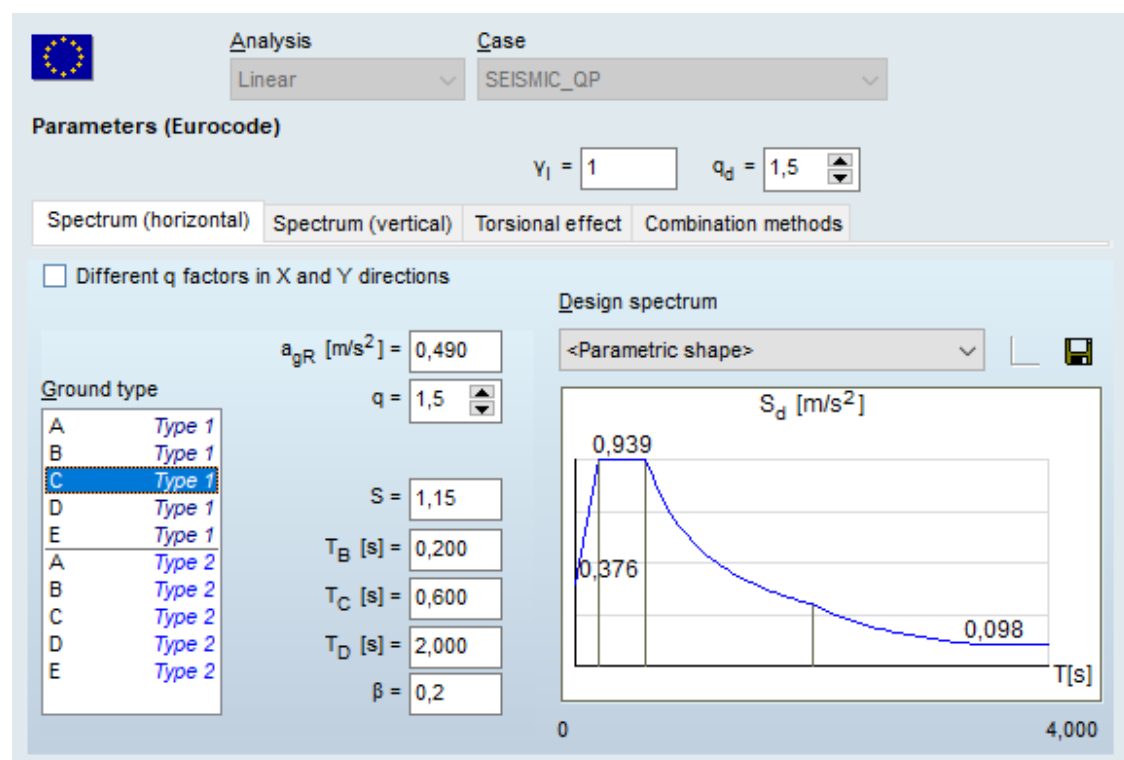
Ground type	<i>S</i>	<i>T_B</i> (s)	<i>T_C</i> (s)	<i>T_D</i> (s)
A	1,0	0,15	0,4	2,0
B	1,2	0,15	0,5	2,0
C	1,15	0,20	0,6	2,0
D	1,35	0,20	0,8	2,0
E	1,4	0,15	0,5	2,0

Фактор одзива:

$$q := 1,50$$

Параметар за доњу границу вредности:

$$\beta := 0,20$$



2.3. КОМБИНАЦИЈЕ ОПТЕРЕЋЕЊА

Persistent and transient design situation	Permanent actions		Prestress	Leading variable action	Accompanying variable actions (if any)	Main (if any)	Permanent actions		Prestress	Leading variable action	Accompanying variable actions (if any)
	Unfavourable	Favourable					Unfavourable	Favourable			
(Eq. 6.10)	$\gamma_{\text{G},\text{sup}} G_{k,\text{sup}}$	$\gamma_{\text{G},\text{inf}} G_{k,\text{inf}}$	γ_{P}	$\gamma_{\text{Q},1} Q_{k,1}$	$\gamma_{\text{Q},1} \gamma_{\text{p},1} Q_{k,1}$		(Eq. 6.10a)	$\gamma_{\text{G},\text{sup}} G_{k,\text{sup}}$	$\gamma_{\text{G},\text{inf}} G_{k,\text{inf}}$	γ_{P}	$\gamma_{\text{Q},1} \gamma_{\text{p},1} Q_{k,1}$
							(Eq. 6.10b)	$\xi \gamma_{\text{G},\text{sup}} G_{k,\text{sup}}$	$\gamma_{\text{G},\text{inf}} G_{k,\text{inf}}$	γ_{P}	$\gamma_{\text{Q},1} Q_{k,1}$

NOTE 1 The choice between 6.10, or 6.10a and 6.10b will be in the National Annex. In the case of 6.10a and 6.10b, the National Annex may in addition modify 6.10a to include permanent actions only.

NOTE 2 The γ and ξ values may be set by the National Annex. The following values for γ and ξ are recommended when using expressions 6.10, or 6.10a and 6.10b:

$$\gamma_{\text{G},\text{sup}} = 1,35^1)$$

$$\gamma_{\text{G},\text{inf}} = 1,00$$

$\gamma_Q = 1,35$ when Q represents unfavourable actions due to road or pedestrian traffic (0 when favourable)

$\gamma_Q = 1,45$ when Q represents unfavourable actions due to rail traffic, for groups of loads 11 to 31 (except 16, 17, 26³⁾ and 27³⁾), load models LM71, SW/0 and HSLM and real trains, when considered as individual leading traffic actions (0 when favourable)

$\gamma_Q = 1,20$ when Q represents unfavourable actions due to rail traffic, for groups of loads 16 and 17 and SW/2 (0 when favourable)

$\gamma_Q = 1,50$ for other traffic actions and other variable actions²⁾

$$\xi = 0,85 \quad (\text{so that } \xi \gamma_{\text{G},\text{sup}} = 0,85 \times 1,35 \equiv 1,15)$$

$\gamma_{\text{set}} = 1,20$ in the case of a linear elastic analysis, and $\gamma_{\text{set}} = 1,35$ in the case of a non linear analysis, for design situations where actions due to uneven settlements may have unfavourable effects.

For design situations where actions due to uneven settlements may have favourable effects, these actions are not to be taken into account.

See also EN 1991 to EN 1999 for γ values to be used for imposed deformations.

γ_p = recommended values defined in the relevant design Eurocode.

¹⁾This value covers: self-weight of structural and non structural elements, ballast, soil, ground water and free water, removable loads, etc.

²⁾This value covers: variable horizontal earth pressure from soil, ground water, free water and ballast, traffic load surcharge earth pressure, traffic aerodynamic actions, wind and thermal actions, etc.

³⁾For rail traffic actions for groups of loads 26 and 27 $\gamma_Q = 1,20$ may be applied to individual components of traffic actions associated with SW/2 and $\gamma_Q = 1,45$ may be applied to individual components of traffic actions associated with load models LM71, SW/0 and HSLM, etc.

NOTE 3 The characteristic values of all permanent actions from one source are multiplied by γ_{sun} if the total resulting action effect is unfavourable. For example, all actions originating from the self-weight of the structure may be considered as coming from one source; this also applies if different materials are involved. See however A.2.3.1(2).

NOTE 4 For particular verifications, the values for γ_Q and γ_p may be subdivided into γ_Q and γ_p and the model uncertainty factor γ_{sd} . A value of γ_{sd} in the range 1,0–1,15 may be used in most common cases and may be modified in the National Annex.

NOTE 5 Where actions due to water are not covered by EN 1997 (e.g. flowing water), the combinations of actions to be used may be specified for the individual project.

Action	Symbol	ψ_0	ψ_1	ψ_2
Traffic loads	gr1a (LM1+pedestrian or cycle-track loads) ¹⁾	TS UDL Pedestrian+cycle-track loads ²⁾	0,75 0,40 0,40	0,75 0,40 0,40
	gr1b (Single axle)		0	0,75
	gr2 (Horizontal forces)		0	0
	gr3 (Pedestrian loads)		0	0,40
	gr4 (LM4 – Crowd loading))		0	-
	gr5 (LM3 – Special vehicles))		0	-
	Wind forces			
	F_{Wk} - Persistent design situations - Execution		0,6 0,8	0,2 -
	F_W^*		1,0	-
Thermal actions	T_k		0,6 ³⁾	0,6
Snow loads	$Q_{Sn,k}$ (during execution)		0,8	-
Construction loads	Q_c		1,0	-
<p>1) The recommended values of ψ_0, ψ_1 and ψ_2 for gr1a and gr1b are given for road traffic corresponding to adjusting factors α_{Qi}, α_{qi}, α_{qr} and β_Q equal to 1. Those relating to UDL correspond to common traffic scenarios, in which a rare accumulation of lorries can occur. Other values may be envisaged for other classes of routes, or of expected traffic, related to the choice of the corresponding α factors. For example, a value of ψ_2 other than zero may be envisaged for the UDL system of LM1 only, for bridges supporting severe continuous traffic. See also EN 1998.</p> <p>2) The combination value of the pedestrian and cycle-track load, mentioned in EN 1991-2, is a “reduced” value. ψ_0 and ψ_1 factors are applicable to this value.</p> <p>3) The recommended ψ_0 value for thermal actions may in most cases be reduced to 0 for ultimate limit states EQU, STR and GEO. See also the design Eurocodes.</p>				

ULS (a,b)

$$\sum_{j \geq 1} \gamma_{G,j} G_{k,j} + \gamma_P P + \gamma_{Q,1} \psi_{0,1} Q_{k,1} + \sum_{i > 1} \gamma_{Q,i} \psi_{0,i} Q_{k,i}$$

$$\sum_{j \geq 1} \xi_j \gamma_{G,j} G_{k,j} + \gamma_P P + \gamma_{Q,1} Q_{k,1} + \sum_{i > 1} \gamma_{Q,i} \psi_{0,i} Q_{k,i}$$

Сеизмика

$$\sum_{j \geq 1} G_{k,j} + P + A_{Ed} + \sum_{i \geq 1} \psi_{2,i} Q_{k,i}$$

Карактеристично

$$\sum_{j \geq 1} G_{k,j} + P + Q_{k,1} + \sum_{i > 1} \psi_{0,i} Q_{k,i}$$

Често

$$\sum_{j \geq 1} G_{k,j} + P + \psi_{1,1} Q_{k,1} + \sum_{i > 1} \psi_{2,i} Q_{k,i}$$

Квази-стално

$$\sum_{j \geq 1} G_{k,j} + P + \sum_{i \geq 1} \psi_{2,i} Q_{k,i}$$

Комбинације оптерећења:

СТАЈНА ОПТЕРЕЋЕЊА	СЕИЗМИКА	TS	UDL	ТОПЛОТА	СКУПЉАЊЕ	ВЕТАР (Fw)	ВЕТАР (Fw*)	КОЧЕЊЕ/УБРЗАЊЕ	ТРАНСБЕРЗАЛНО
1	1	0	0	1	1	1	0	1	1
1	1	1	1	1	1	0	1	1	1

Случајеви оптерећења:

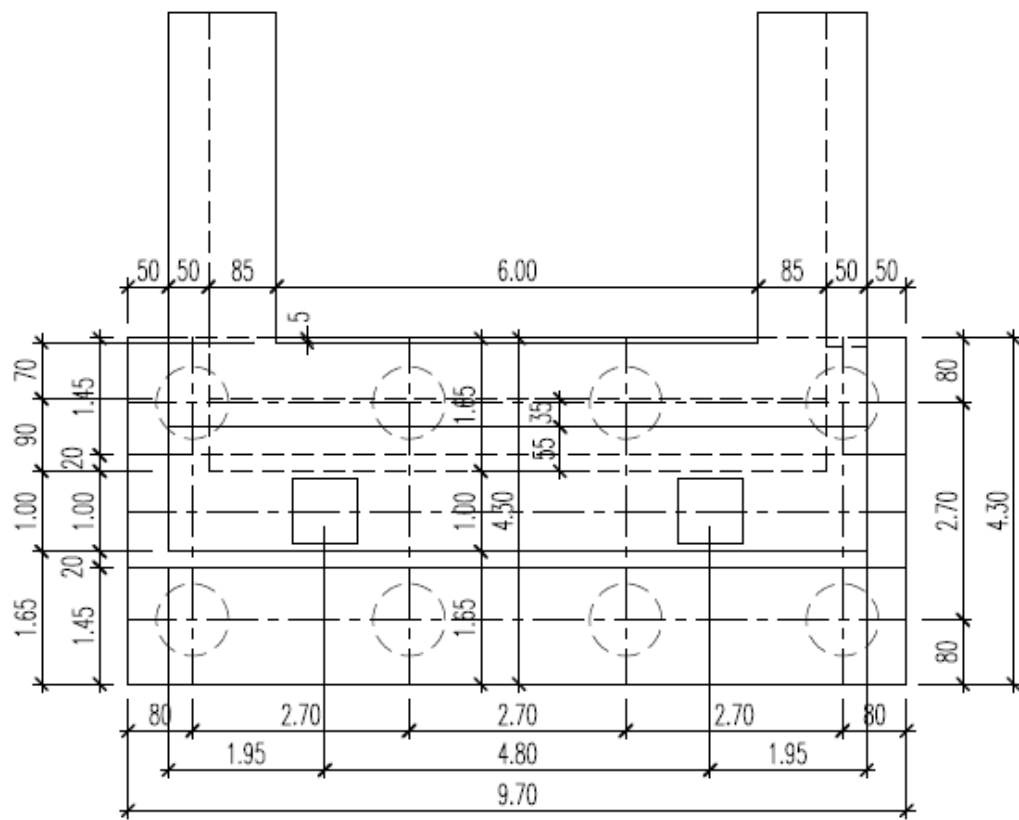
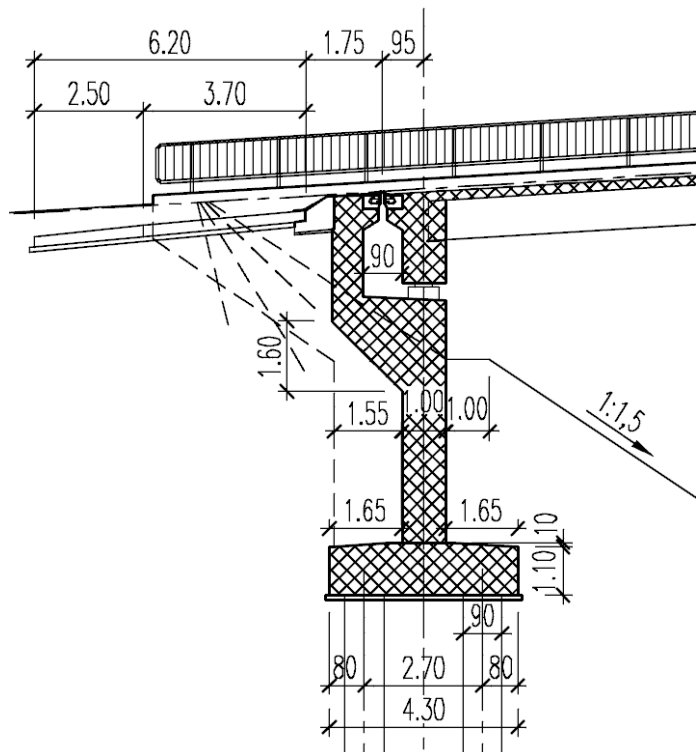
	Група	Тип	— G,sup	— G,inf	—	—	— 0	— 1	— 2	Адитив
1	СТАЛНА ОПТЕРЕЋЕЊА	Стално	1,350	1,000	0,850					1
2	СЕИЗМИКА	Сеизмика	1,000	1,000						
3	TS	Променљ.			1,350	0,750	0,750	0	0	
4	UDL	Променљ.			1,350	0,400	0,400	0	0	
5	ТОПЛОТА	Променљ.			1,500	0	0,600	0	0	
6	СКУПЉАЊЕ	Променљ.			1,000	1,000	1,000	1,000	0	
7	ВЕТАР (Fwk)	Променљ.			1,500	0,600	0,200	0	0	
8	ВЕТАР (Fw*)	Променљ.			1,500	1,000	1,000	0	0	
9	КОЧЕЊЕ/УБРЗАЊЕ	Променљ.			1,350	0,750	0,750	0	0	
10	ТРАНСБЕРЗАЛНО	Променљ.			1,350	0,750	0,750	0	0	

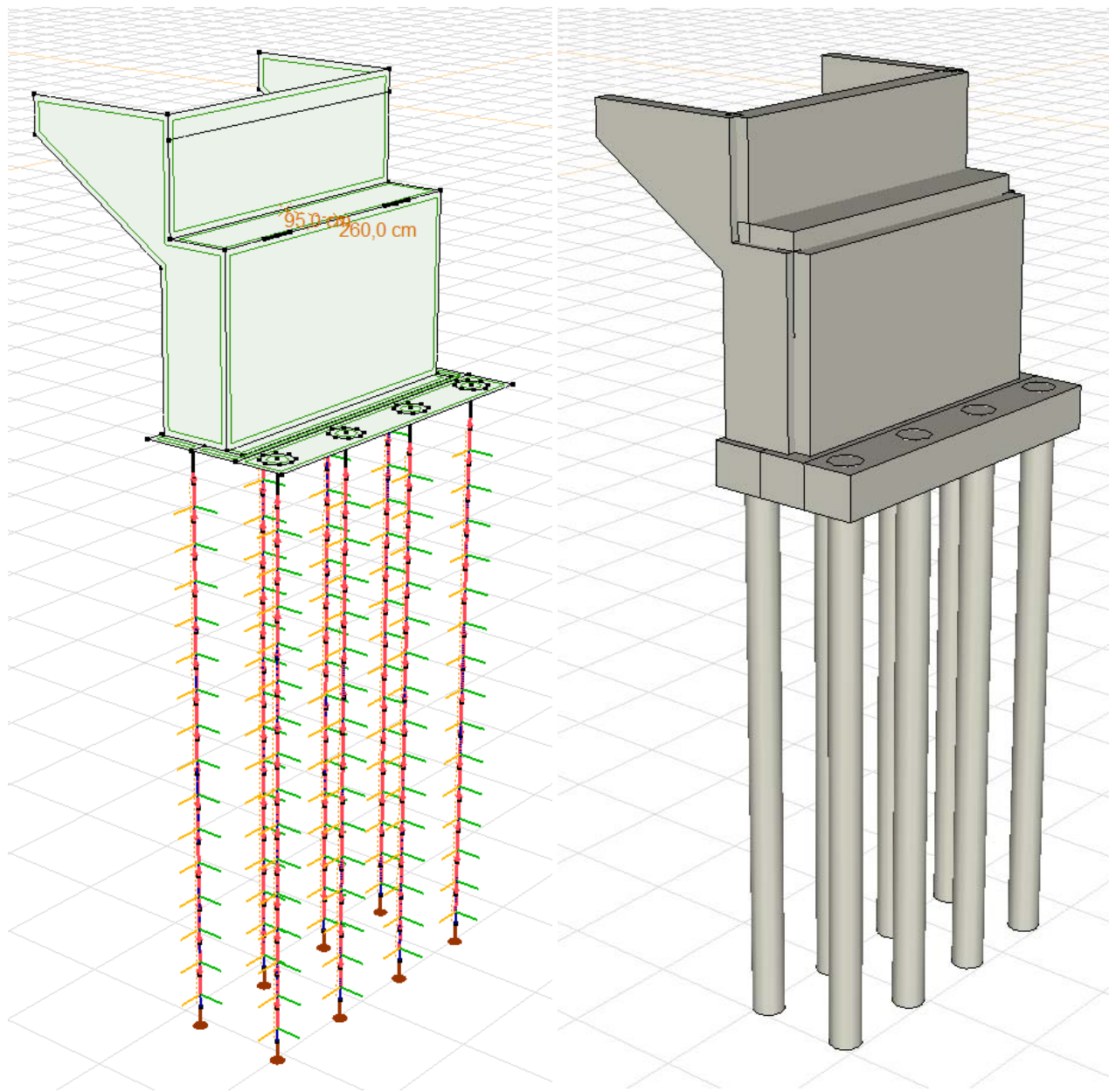
Случајеви оптерећења:

Назив	Група	Група	Назив	Група	Група
СРИЗМИКА X / Y	Облици вибрација		TEMP+	ТОПЛОТА	Пром.
СРИЗМИКА +	СЕИЗМИКА	Сеизмика	TEMP-		
СРИЗМИКА -			Fwk_L	ВЕТАР (Fwk)	Пром.
DL ПРИТИСАК ТЛА	СТАЛНО ОПТ.	Стално	Fwk_R		
DLДОЊИ СТРОЈ			Fw*_L	ВЕТАР (Fw*)	Пром.
DL1+DL2			Fw*_R		
DL3			BRAKING+	КОЧЕЊЕ/УБРЗА	Пром.
СКУПЉАЊЕ	СКУПЉАЊЕ	Пром.	BRAKING-	ЊЕ	
TS_1_AP	TS	Пром.	UDL_1	UDL	Пром.
TS_1_L			UDL_1-2_L		
TS_1_R			UDL_1-2_R		
TS_2_L			UDL_2-3_L		
TS_2_R			UDL_2-3_R		
TS_3_L			UDL_3-4_L		
TS_3_R			UDL_3-4_R		
TS_4_L			UDL_4-5_L		
TS_4_R			UDL_4-5_R		
TS_5_L			UDL_5-6_L		
TS_5_R			UDL_5-6_R		
TS_6_L			UDL_6		
TS_6_R					
TS_6_AP					

3. ПРОРАЧУН ПОТПОРНЕ КОНСТРУКЦИЈЕ - ОПОРЦА

3.1. ГЕОМЕТРИЈСКИ ПОДАЦИ





3.2. ПРОРАЧУН ШИПОВА

Критично ГСН вертикално оптерећење на шипове:

Rz мин -2797,76 kN

[1,35*DL1+DL2+1,35*DL ДОЊИ СТРОЈ +1,35*DL3+1,35*DL ПРИТИСАК ЗЕМЉИШТА] {1*1*СКУПЉАЊЕ } (1,35*0,75*TS_1_AP+1,5*1*Fw*_L+1,35*0,75* КОЧЕЊЕ +1,35*0,4*UDL_1-2_L+1,35*0,4*UDL_1-2_R +1,35*0,4*UDL_3-4_L+1,35*0,4*UDL_4-5_L+1,35*0,4*UDL_5-6_L+1,35*0,4*UDL_3-4_R)

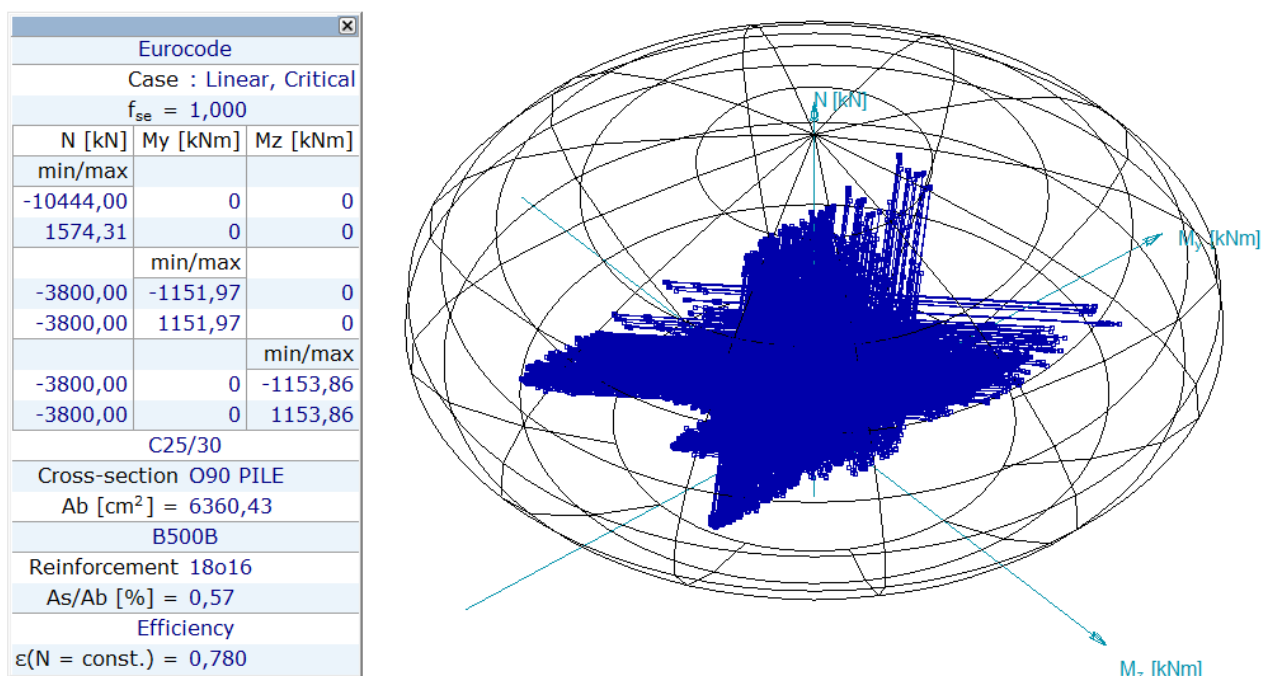
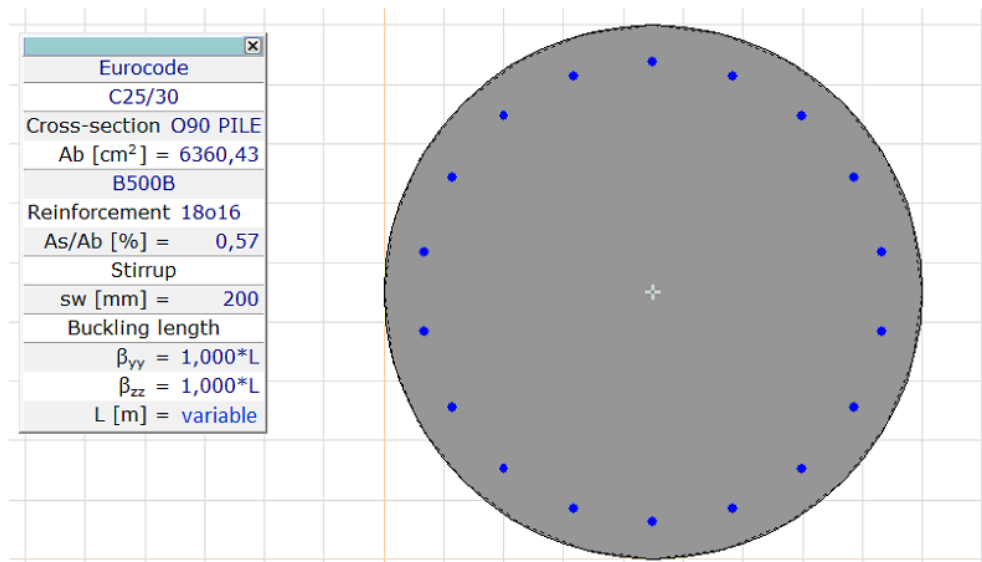
Квази-стално вертикално оптерећење на шипове:

Rz мин -1504,20 kN

[DL1+DL2+DL ДОЊИ СТРОЈ +DL3+DL ПРИТИСАК ЗЕМЉИШТА] { СКУПЉАЊЕ }

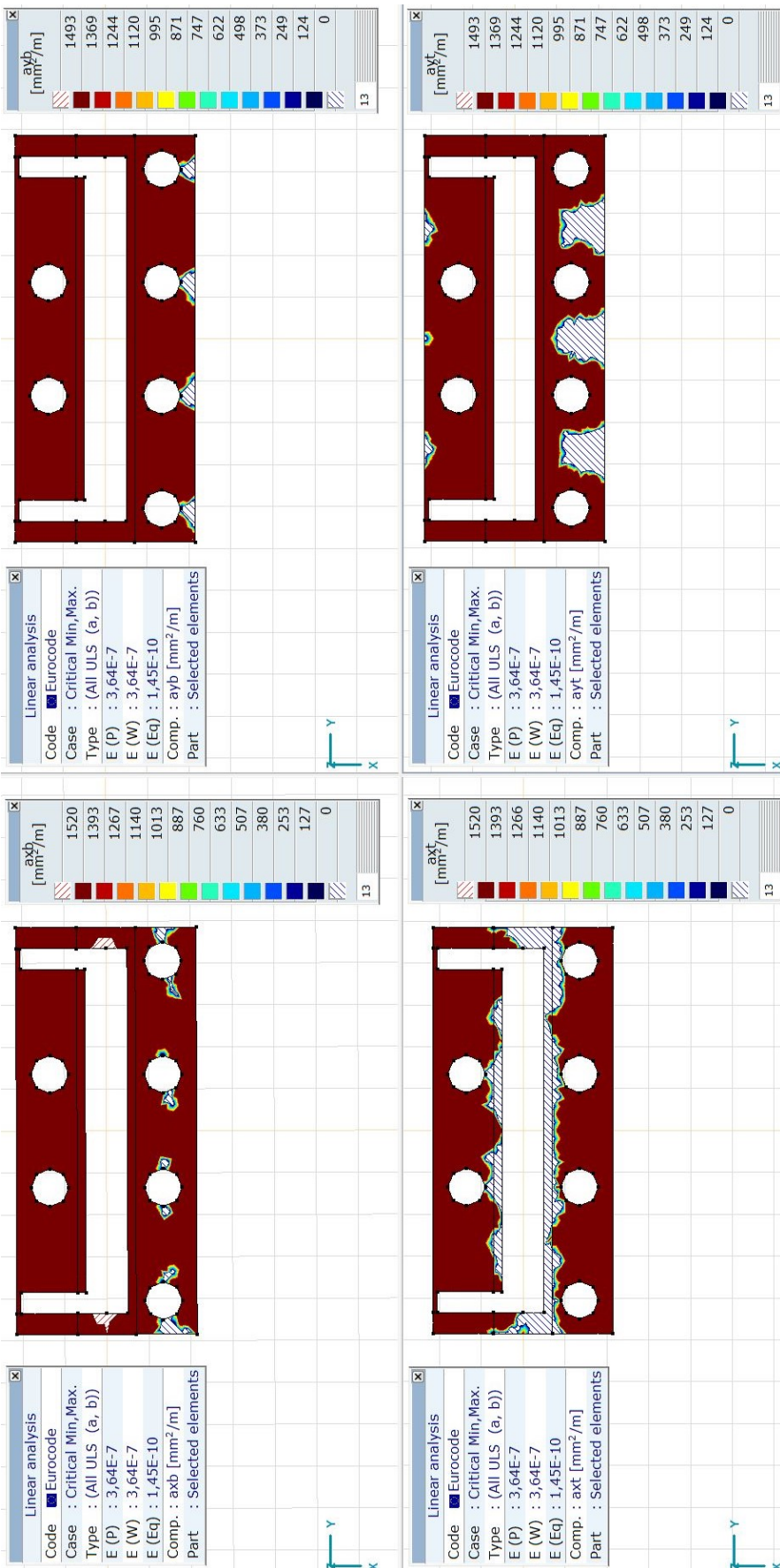
Критичне ГСН унутрашње силе у шиповима:

Критично	мин/ макс.	Nx [kN]	My [kNm]	Mz [kNm]
My	min	-673,62	-321,66	-3,53
	min	-669,84	-321,64	3,13
	max	-2528,70	322,52	46,78
	max	-2533,24	322,59	-48,73
Mz	min	-1394,08	184,57	-154,79
	max	-1462,38	153,98	153,86



Према резултатима прорачуна са методом коначних елемената у складу са софтверским пакетом Axis VM модул RC2, претпостављене арматуре 18o16 **ЗАДОВОЉАВАЈУ УСЛОВЕ НОСИВОСТИ ШИПОВА!** Ово представља статичку потребну површину армирања, али је такође потребно узети у обзир минималну површину армирања према EN 1992.

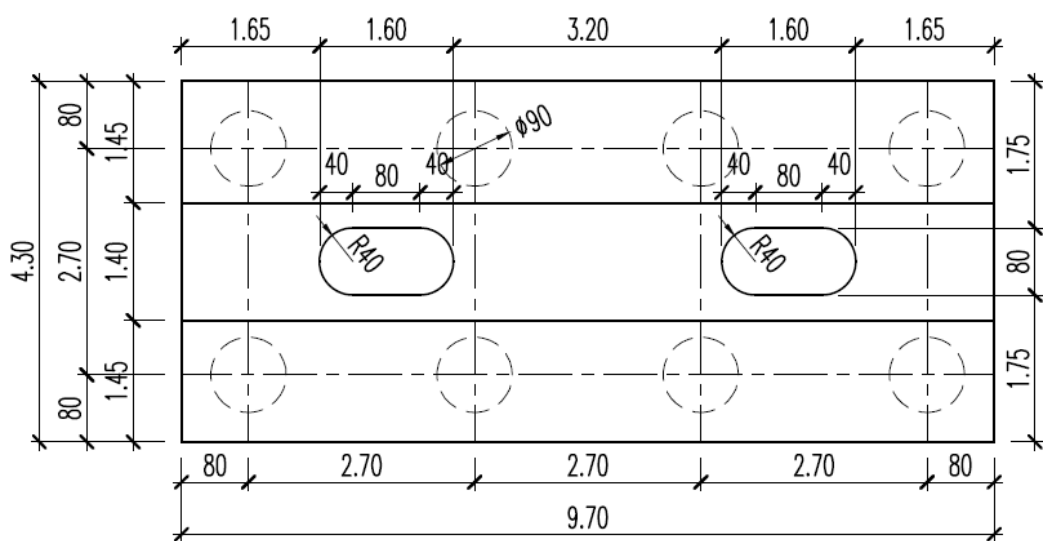
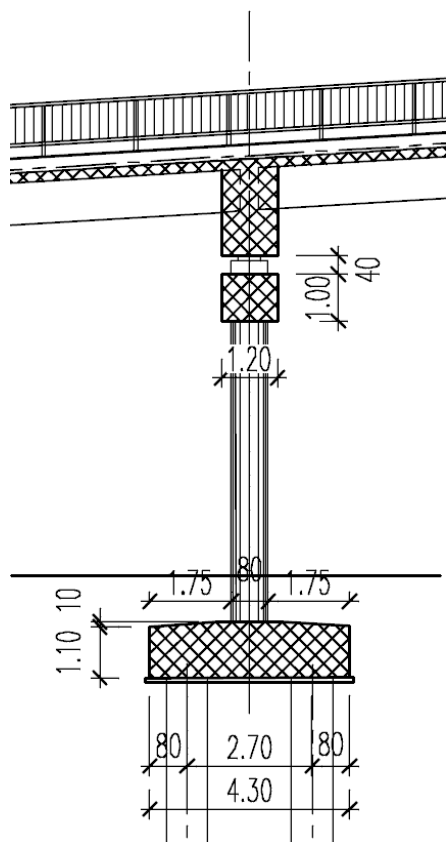
3.3. ПРОРАЧУН НАГЛАВНИХ ГРЕДА ШИПОВА

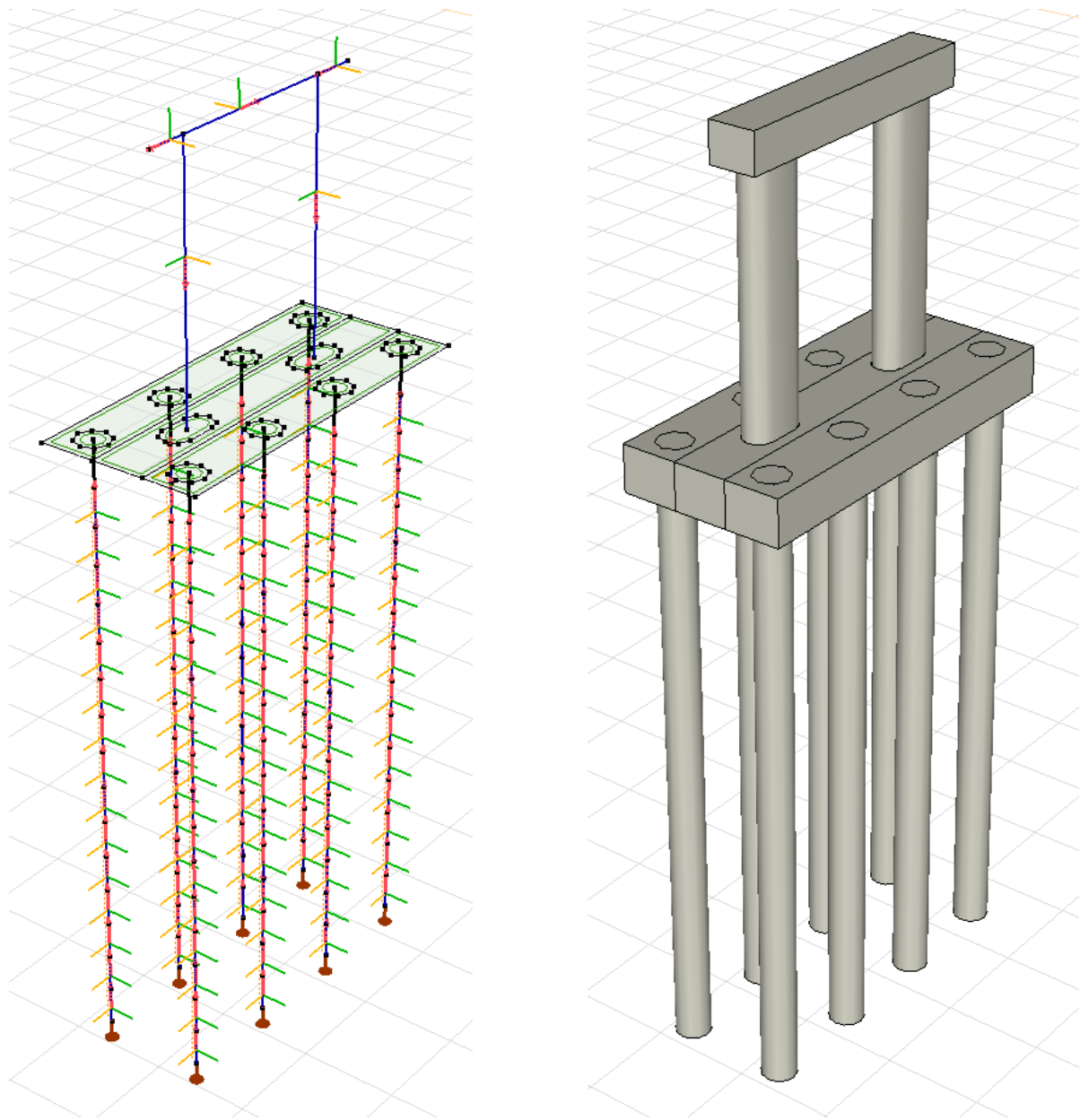


Према резултатима прорачуна са методом коначних елемената у складу са софтверским пакетом Axis VM модул RC1, са прорачунатом минималном површином армирана **НОСИВОСТИ НАГЛАВКА ШИПОВА ЗАДОВОЉАВА УСЛОВЕ!**

4. ПРОРАЧУН СТУБОВА СА ПОКТРЕТНИМ ОСЛОНЦИМА

4.1. ГЕОМЕТРИЈСКИ ПОДАЦИ





4.2. ПРОРАЧУН ШИПОВА

Критична ГСН вертикална оптерећења на шипове:

Rz мин -1930,7 kN

[$1,35 \cdot 0,85 \cdot DL1 + DL2 + 1,35 \cdot 0,85 \cdot DL$ ДОЊИ СТРОЈ + $1,35 \cdot 0,85 \cdot DL3 + 1,35 \cdot 0,85 \cdot DL$ ПРИТИСАК
ЗЕМЉИШТА] { $1,35 \cdot UDL_1-2_L + 1,35 \cdot UDL_1 + 1,35 \cdot UDL_1-2_R + 1,35 \cdot UDL_2-3_L + 1,35 \cdot UDL_4-5_L +$
 $1,35 \cdot UDL_2-3_R + 1,35 \cdot UDL_4-5_R$ } ($1,35 \cdot 0,75 \cdot TS_2_L + 1,5 \cdot 1 \cdot Fw \cdot R + 1,35 \cdot 0,75 \cdot KOCENJE$ -)

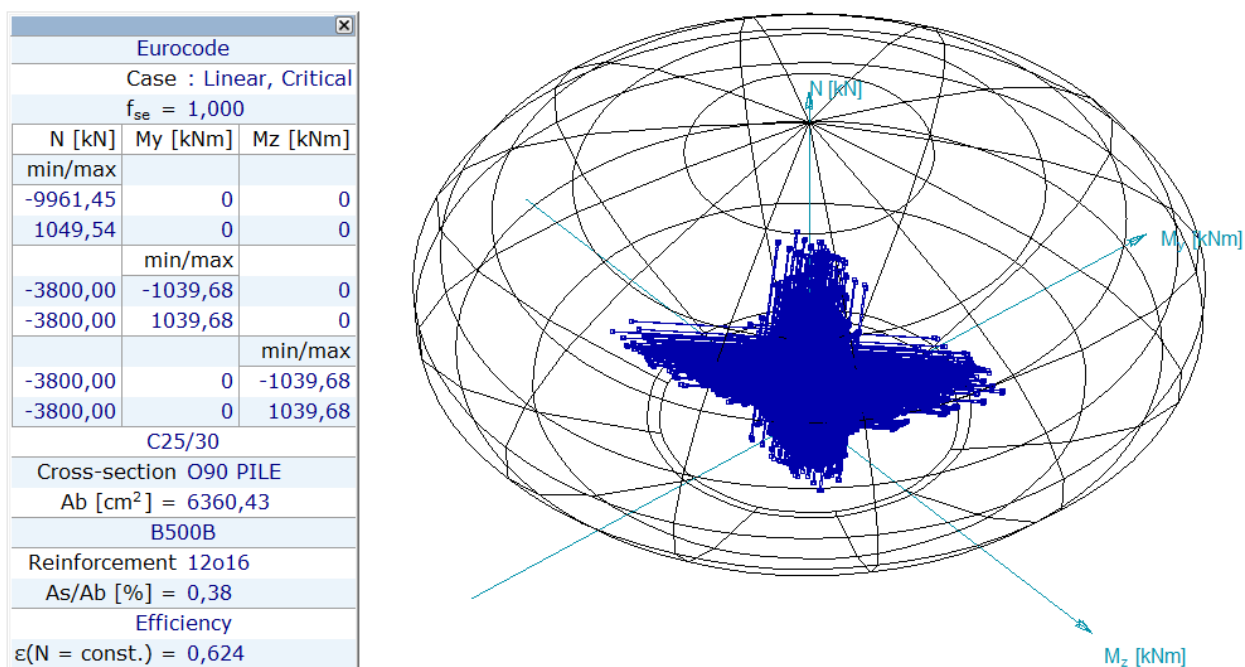
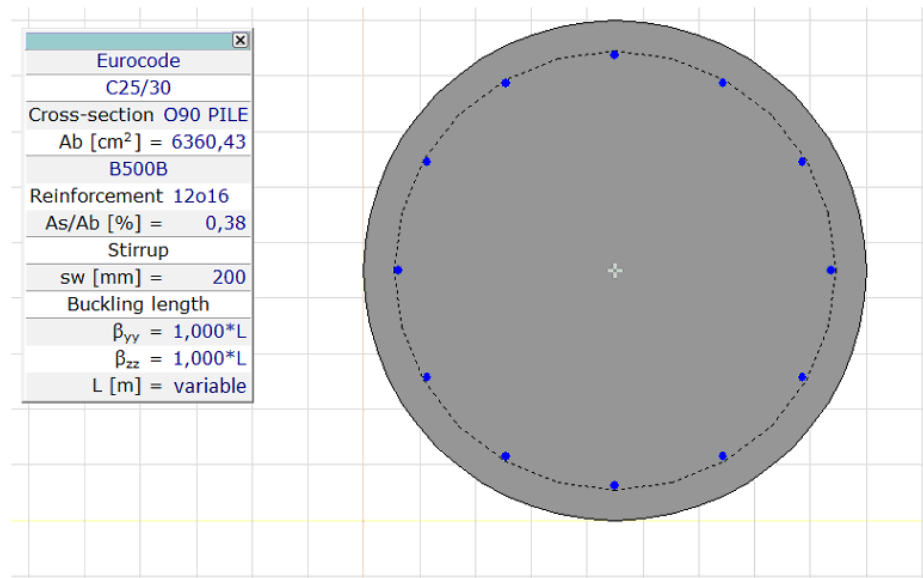
Квази-стално вертикално оптерећење на шипове:

Rz мин -1082,23 kN

[$DL1 + DL2 + DL$ ДОЊИ СТРОЈ + $DL3 + DL$ ПРИТИСАК ЗЕМЉИШТА]

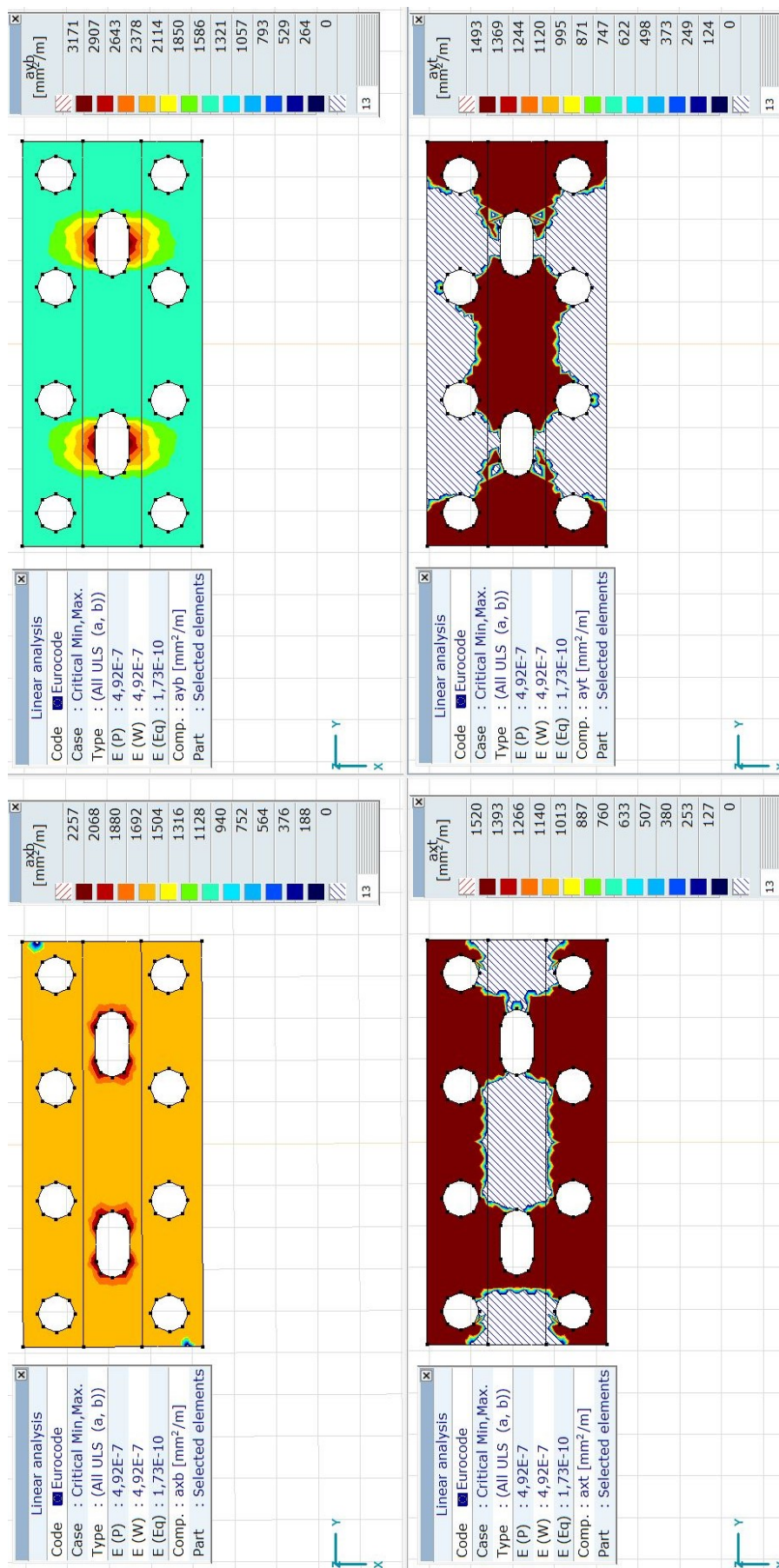
Критичне ГСН унутрашње силе у шиповима:

Критично	мин/ макс.	Nx [kN]	My [kNm]	Mz [kNm]
My	min	-1930,70	-37,04	-55,19
	max	-1930,70	37,04	-55,19
Mz	min	-1309,13	-26,75	-164,47
	min	-1309,12	26,75	-164,48
	max	-1298,58	-26,59	160,85
	max	-1298,58	26,59	160,85



Према резултатима прорачуна са методом коначних елемената у складу са софтверским пакетом Axis VM модул RC2, претпостављене арматуре 12o16 **ЗАДОВОЉАЈУ УСЛОВЕ НОСИВОСТИ ШИПОВА!** Ово представља статичку потребну површину армирања, али је такође потребно узети у обзир минималну површину армирања према EN 1992.

4.3. ПРОРАЧУН НАГЛАВНИХ ГРЕДА СТУБОВА

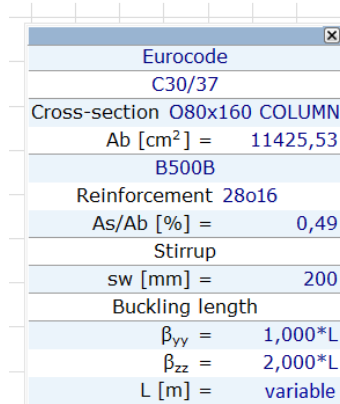
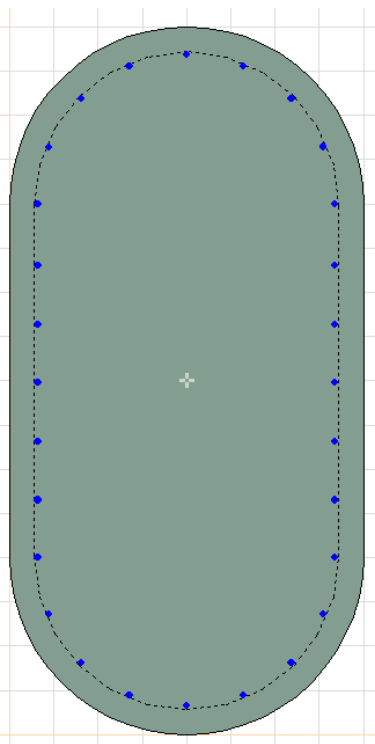


Према резултатима прорачуна са методом коначних елемената у складу са софтверским пакетом Axis VIM модул RC1, са прорачунатом минималном површином армирана + додатном арматуrom испод базе стуба **НОСИВОСТ НАГЛАВКА ШИЛОВА ЗАДОВОЛЬСТВО УСЛОВЕ!**

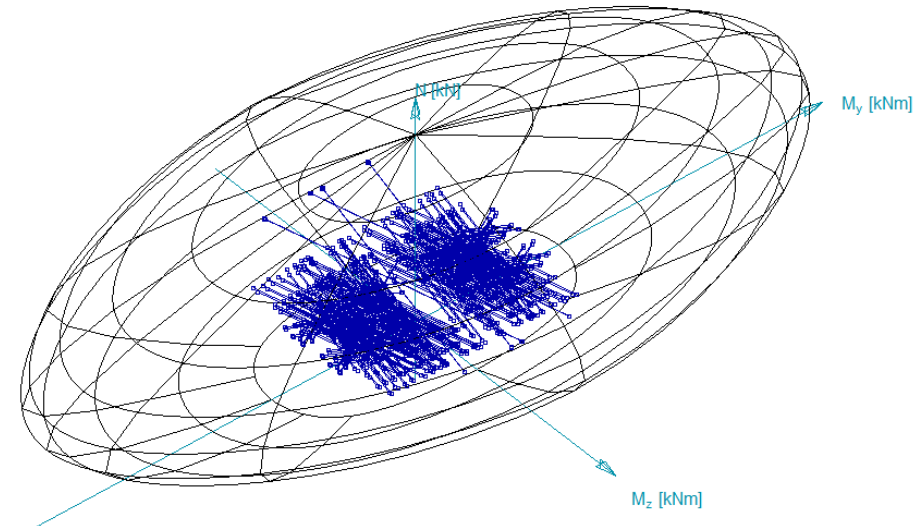
4.4. ПРОРАЧУН СТУБОВА

Критичне ГСН унутрашње силе у стубовима:

Критично	мин/ макс.	Nx [kN]	Vy [kN]	Vz [kN]	My [kNm]	Mz [kNm]
Nx	min	-6300,79	0	-132,14	703,83	0
	max	-2331,93	-31,15	219,25	779,36	0
My	min	-3641,27	-31,15	219,25	-1018,51	-255,45
	max	-3660,09	31,15	-220,01	1041,87	255,45
Mz	min	-3641,27	-31,15	219,25	-1018,51	-255,45
	min	-3660,09	31,15	-220,01	1041,87	-255,45
	max	-3641,27	-31,15	219,25	-1018,51	255,45
	max	-3660,09	31,15	-220,01	1041,87	255,45



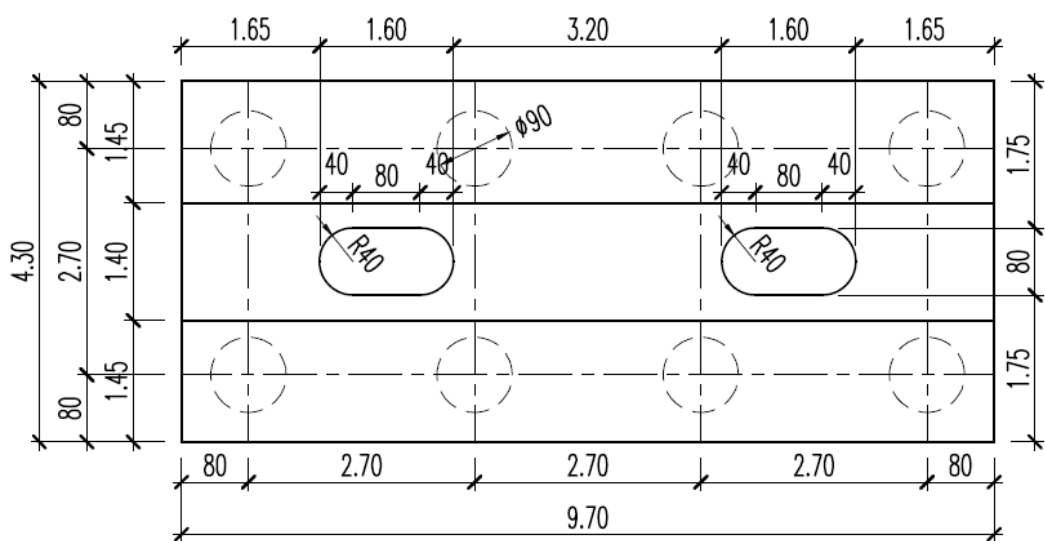
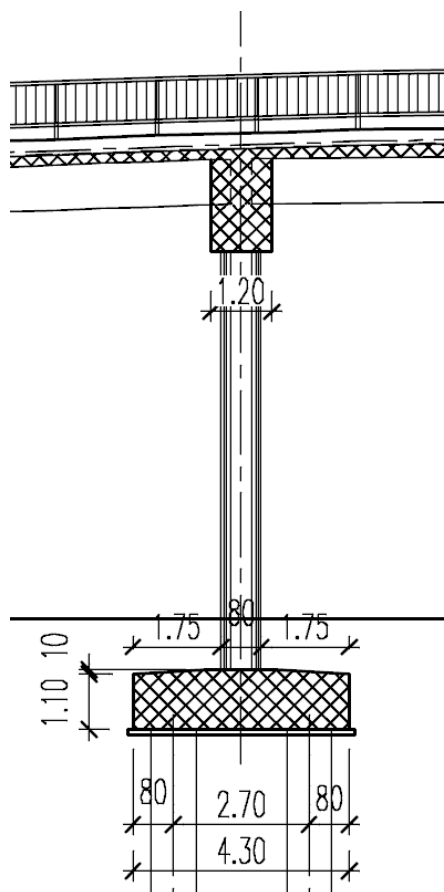
Предпоставља се лонгитудијална дужина избочавања < 2.00xL и трансверзална < L

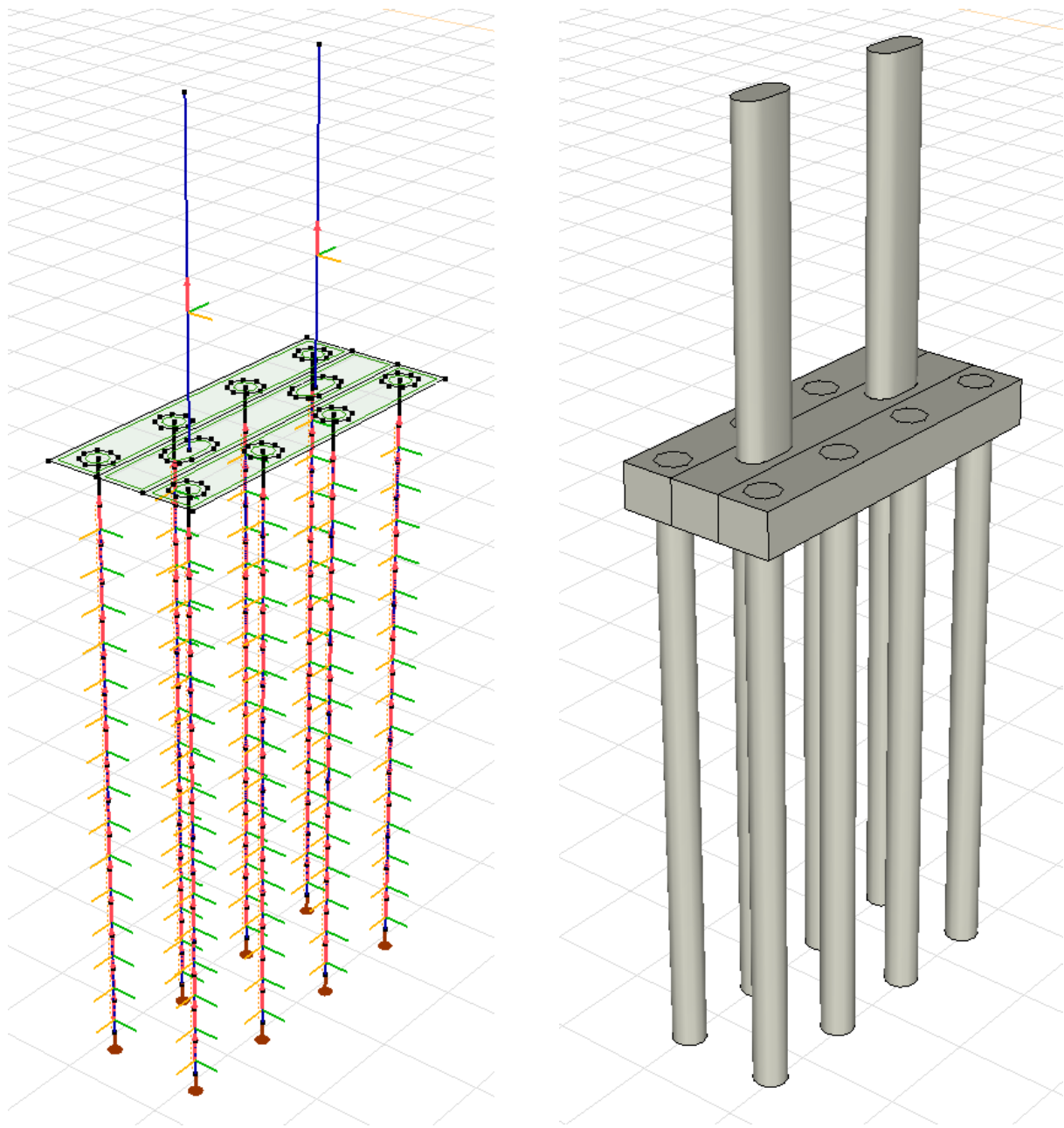


Према резултатима прорачуна са методом коначних елемената у складу са софтверским пакетом Axis VM модул RC2, претпостављене арматуре 28016 **ЗАДОВОЉАВАЈУ УСЛОВЕ НОСИВОСТИ СТУБОВА!**

5. ПРОРАЧУН СТУБОВА СА НЕПОКРЕТНИМ ОСЛОНЦИМА

5.1. ГЕОМЕТРИЈСКИ ПОДАЦИ





5.2. ПРОРАЧУН ШИПОВА

Критична ГСН вертикална оптерећења на шипове:

Rz мин -2349,28 kN

[1,35*0,85*DL1+DL2+1,35*0,85*DL ДОЊИ СТРОЈ +1,35*0,85*DL3+1,35*0,85*DL ПРИТИСАК ЗЕМЉИШТА] {1,35*UDL_1-2_L+1,35*UDL_1+1,35*UDL_1-2_R+1,35*UDL_3-4_L+1,35*UDL_4-5_L +1,35*UDL_3-4_R+1,35*UDL_4-5_R} (1,35*0,75*TS_4_R+1,5*1*Fw_L+1,35*0,75*КОЧЕЊЕ +)

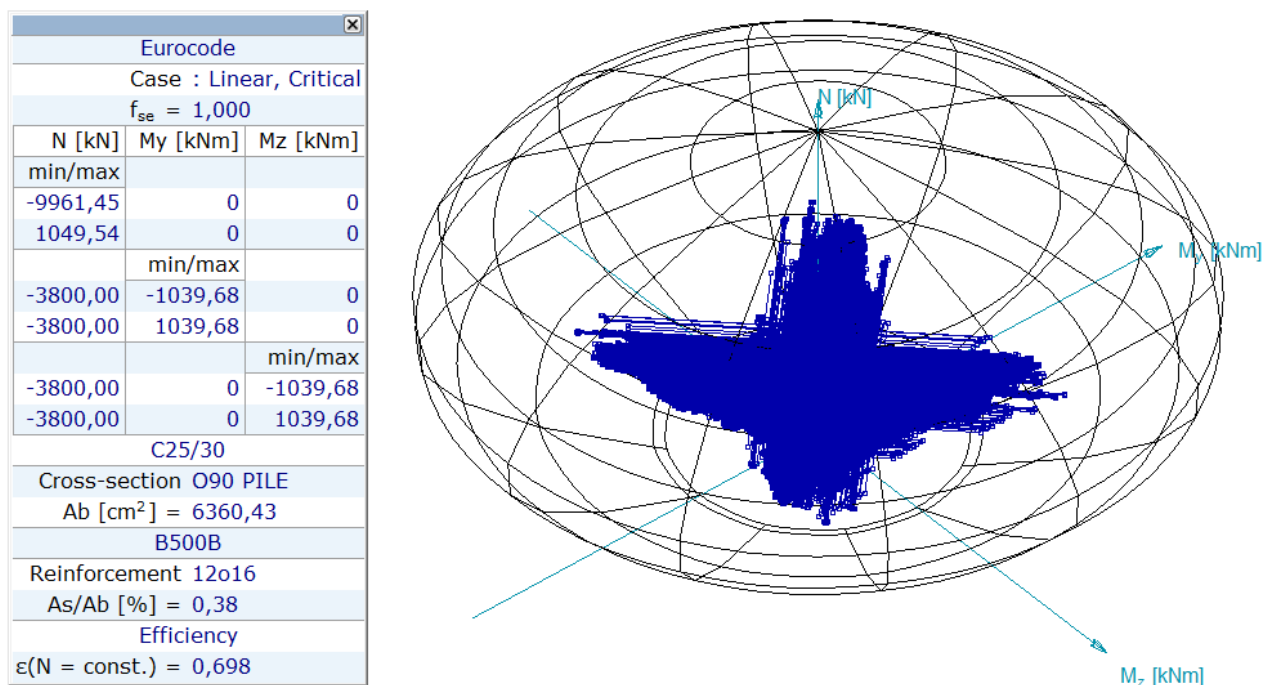
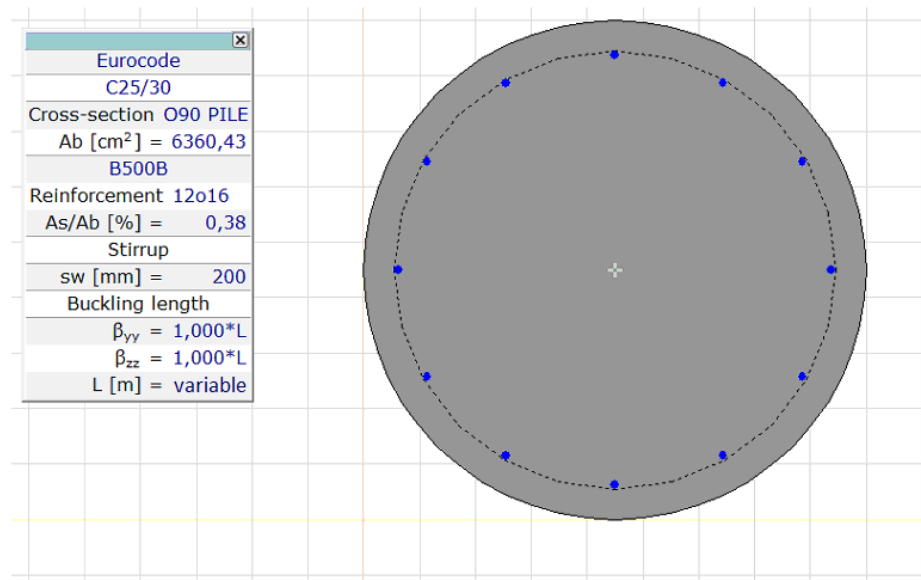
Квази-стална вертикална оптерећења на шипове:

Rz мин -1179,52 kN

[DL1+DL2+DL ДОЊИ СТРОЈ +DL3+DL ПРИТИСАК ЗЕМЉИШТА] { СКУПЉАЊЕ }

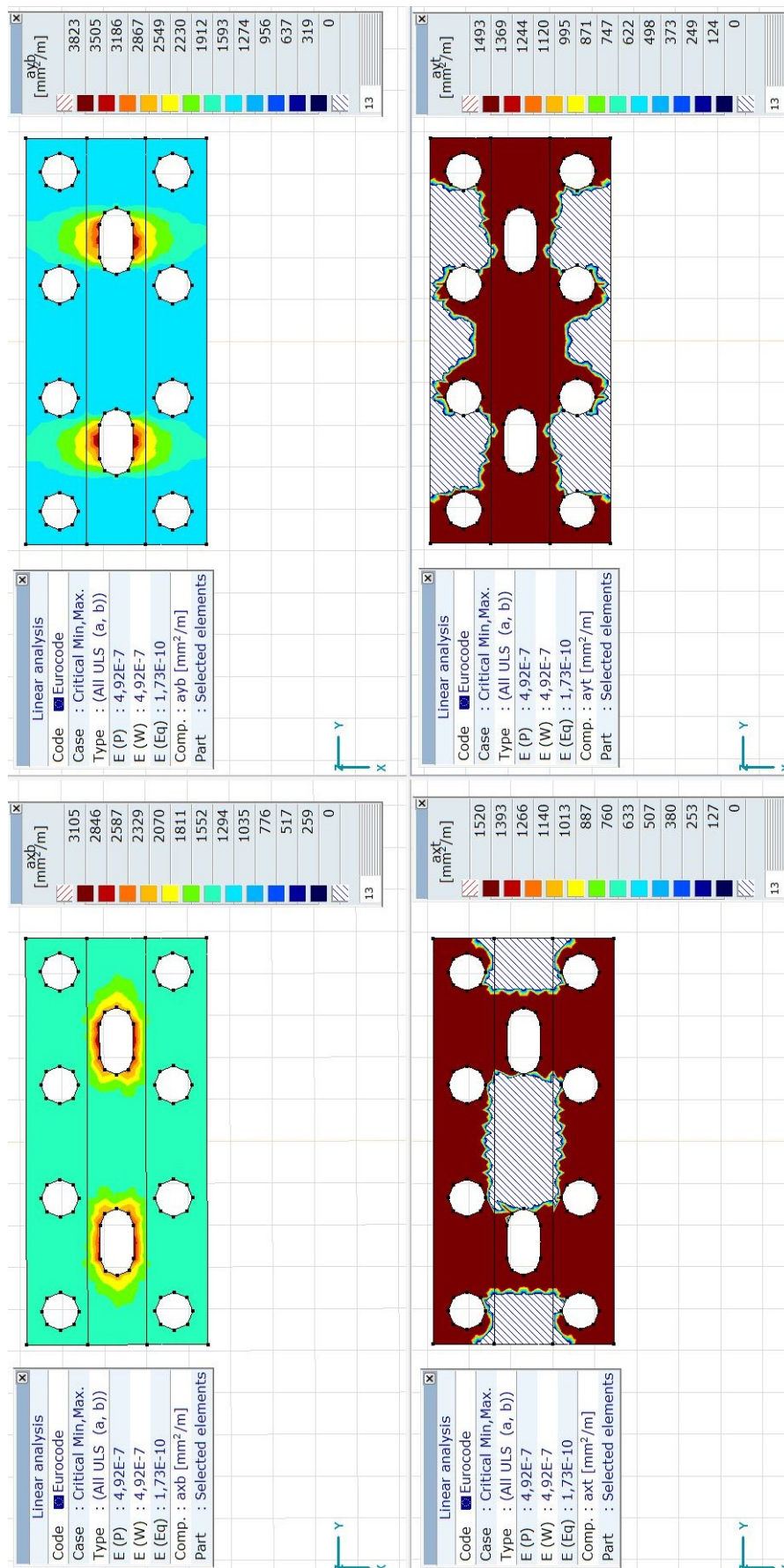
Критичне ГСН унутрашње силе у шиповима:

Цритицал	мин/ макс.	Nx [kN]	My [kNm]	Mz [kNm]
My	min	-1279,15	-115,03	-9,88
	max	-1252,42	119,84	-10,43
Mz	min	-1598,98	-63,07	-198,10
	max	-1606,75	-63,23	200,42



Према резултатима прорачуна са методом коначних елемената у складу са софтверским пакетом Axis VM модул RC2, претпостављене арматуре 12o16 **ЗАДОВОЉАЈУ УСЛОВЕ НОСИВОСТИ ШИПОВА!** Ово представља статичку потребну површину армирања, али је такође потребно узети у обзир минималну површину армирања према EN 1992.

5.3. ПРОРАЧУН НАГЛАВНИХ ГРЕДА ШИПОВА

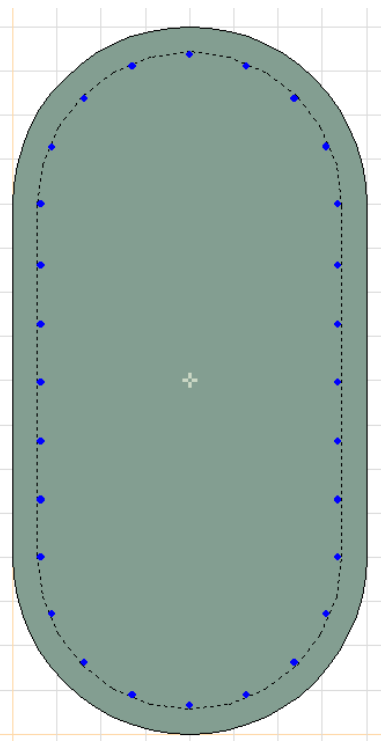
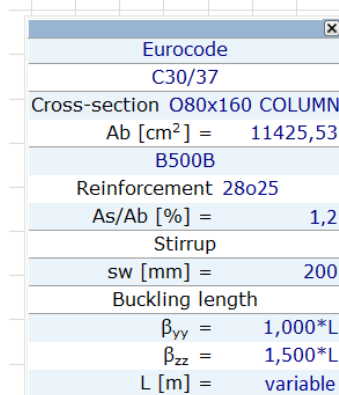


Према резултатима прорачуна са методом коначних елемената у складу са софтверским пакетом Axis UMI модул RC1, са прорачунатом минималном површином армирана + додатном арматуrom испод базе стуба **НОСИВОСТ НАГЛАВКА ШИПОВА ЗАДОВОЉАВА УСЛОВЕ!**

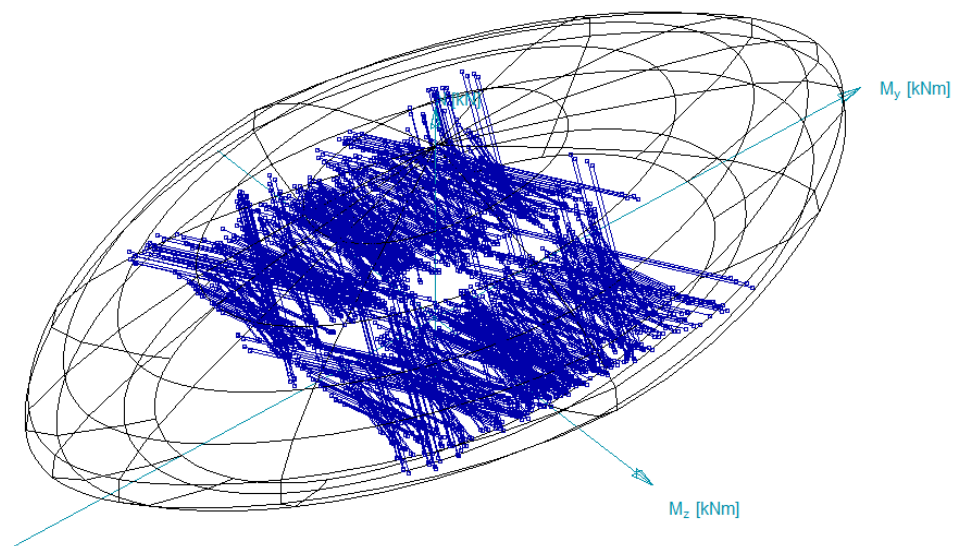
5.4. ПРОРАЧУН СТУБОВА

Критичне ГСН унутрашње силе у стубовима:

Критично	мин/ макс.	Nx [kN]	Vy [kN]	Vz [kN]	My [kNm]	Mz [kNm]
Nx	min	-6905,39	-181,26	282,49	-1170,44	-963,64
	min	-6898,56	203,80	317,03	-1243,47	1023,41
	max	-2385,14	223,69	-337,51	-1795,72	-1023,68
Vy	min	-4093,69	-307,98	37,39	-40,74	-1466,92
	min	-4075,64	-307,91	-30,38	8,66	-1466,44
	max	-4243,87	286,10	233,62	-950,65	1362,82
Vz	min	-4146,90	-248,79	-365,61	1586,22	-1253,77
	max	-4160,11	-248,86	370,66	-1609,32	-1254,15
	min	-3886,30	-248,79	-365,61	-1813,98	1060,19
My	max	-3899,52	-248,86	370,66	1837,83	1060,47
	min	-3685,58	-294,18	24,07	4,00	-1469,74
	max	-3668,20	-294,11	-17,33	-34,85	-1469,24
Mz	min	-4336,74	-282,69	58,13	426,04	1415,57
	max	-4314,65	-282,58	-49,53	-385,44	1415,25



Предпоставља се лонгитудијална дужина избочавања < 1.50xL и трансверзална < L



Према резултатима прорачуна са методом коначних елемената у складу са софтверским пакетом Axis VM модул RC2, претпостављене арматуре 28о20 **ЗАДОВОЉАВАЈУ УСЛОВЕ НОСИВОСТИ СТУБОВА!**

6. ПРОРАЧУН ОСЛОНАЦА, ДИЛАТАЦИОНИХ РАЗДЕЛНИЦА

Резултати прорачуна вертикалних, трансверзалних оптерећења и потребних померања за лежајеве:

Критична оптерећења на лежајеве (ГСН) и карактеристична ширења/скупљања		Утицаји:	ψ_0	Померања
C1	Трансверзално: 253 kN	Топлотни утицаји	0.6	25.5 mm
	Вертикално: 2614 kN	Скупљање	1	10.8 mm
	Ширење: 57.3 mm	Кочење и убрзање	0	23.7 mm
	Склупљање: 49.8 mm	Саобраћајно оптерећење	0.75	24.4 mm
C2	Трансверзално: 357 kN	Топлотни утицаји	0.6	17.3 mm
	Вертикално: 5789 kN	Скупљање	1	7.3 mm
	Ширење: 34.2 mm	Кочење и убрзање	0	23.7 mm
	Склупљање: 41.4 mm	Саобраћајно оптерећење	0.75	0.1 mm
C5	Трансверзално: 357 kN	Топлотни утицаји	0.6	17.3 mm
	Вертикално: 5789 kN	Скупљање	1	7.3 mm
	Ширење: 34.2 mm	Кочење и убрзање	0	23.7 mm
	Склупљање: 41.4 mm	Саобраћајно оптерећење	0.75	0.1 mm
C6	Трансверзално: 253 kN	Топлотни утицаји	0.6	25.5 mm
	Вертикално: 2614 kN	Скупљање	1	10.8 mm
	Ширење: 57.3 mm	Кочење и убрзање	0	23.7 mm
	Склупљање: 49.8 mm	Саобраћајно оптерећење	0.75	24.4 mm

Резултати потребних померања за дилатационе разделнице:

Карактеристични вредности ширења/скупљања за дилатационе разделнице		Утицаји:	ψ_0	Померања
C1	Ширење: 62.1 mm	Топлотни утицаји	0.6	25.5 mm
		Скупљање	1	10.8 mm
	Скупљање: 49.8 mm	Кочење и убрзање	0	23.7 mm
		Саобраћајно оптерећење	0.75	30.8 mm
C6	Ширење: 62.1 mm	Топлотни утицаји	0.6	25.5 mm
		Скупљање	1	10.8 mm
	Скупљање: 49.8 mm	Кочење и убрзање	0	23.7 mm
		Саобраћајно оптерећење	0.75	30.8 mm

7. ПРОРАЧУН НОСИВОСТИ ШИПОВА

Прорачун је припремљен у складу са геотехничким профилом и СРТ резултатима обезбеђеним са стране геотехничког инжењера. Резултати прорачуна и сажето објашњење методологије дато је у прилогу.

Отпорност шипова у ситнозрном тлу

Недренирана отпорност на смицање се може израчунати из СРТ-а према Лунне ет ал., (1997):

$$c_{u;i} = q_{c;i} / N_k$$

Крајњи отпор основе шипа се може израчунати узимањем у обзир технологију уградње, податке пробних оптерећења шипова као и предлоге националних стандарда, са следећом једначином:

$$q_{b;cal} = 0.6 \cdot \mu_b \cdot q_{c;k}$$

$q_{c;k}$ Карактеристична тачка СРТ отпорности која се може сматрати као просечна вреднос отпорности зоне од 1,5·D изнад основе шипа до 3,0·D испод основе шипа.

μ_b Фактор отпорности основе у зависности од технологије.

За крајњи отпор омотача шипа развијена је следећа квадратна једначина узимајући у обзир националне стандарде дозвољавајући различите технологије уградње шипова:

$$q_{s;cal;i} = 1.2 \cdot \mu_s \cdot \sqrt{q_{c;i}}$$

μ_s фактор отпора омотача у зависности од технологије уградње

$c_{u,i} > 500$ kPa недренирана отпорност на смицање се може узети у обзир тек након утврђених истраживања,

$q_{b;cal} > 2.5$ MPa може се употребити тек након утврђених пробних оптерећења шипова,

$q_{b,max} \leq 4$ MPa за чврсте глине и $q_{b,max} \leq 8$ MPa за високо преконсолидоване глине или узети у обзир глинени камен

		μ_b	μ_s	q_{max} [kPa]
Потискајући шипови	Побијени префабриковани бетонски шипови	1,00	1,05	85
	Побијање челичне цеви затвореног дна, бетонирање на лицу места	1,00	0,80	70
	Побијање челичне цеви затвореног дна, сукцесивно извлачење цеви уз додавање бетона	1,00	1,10	90
	Бушени шипови без челичне цеви	0,90	1,25	100
Замењујући шипови	CFA шипови	0,90	1,00	80
	Бушени шипови	0,80	1,00	80
	Бушени шипови са челичном заштитом	0,80	1,00	80

Опторност шипова за крупнозрно тло

Проарачун отпорности основе шипа заснован је на методи предложеној у ЕС 7-2, са новим фактором редукције:

$$q_{b;cal} = \lambda_b \cdot \alpha_b \cdot \frac{1}{2} \cdot \left(\frac{q_{c,Im} + q_{c,IIIm}}{2} + q_{c,IIIIm} \right)$$

α_b Фактор опторности основе шипа

λ_b Фактор редукције за узимање у обзир методе Де Руитер и Берингер (Ван Тол. 1993 И Феллинус, 2006) који је занемарен у ЕС 7-2

За опторност омотача је такође употребљена квадратна формула:

$$q_{s;cal;i} = \alpha_{sq} \cdot \sqrt{q_{c;i}}$$

α_{sq} фактор опторности омотача, зависно од технологије

$q_b > 5,0$ MPa се може употребити искључиво у случају потврђеног пробног оптерећења

$q_{b,max} \leq 15$ MPa за сва случаја

Веома опрезан приступ је потребан за процену отпорности основе CFA шипова у песку ради вадненачке везе или потенцијала ликвефакције, јер се стање тла може оједном детериорирати током формирања.

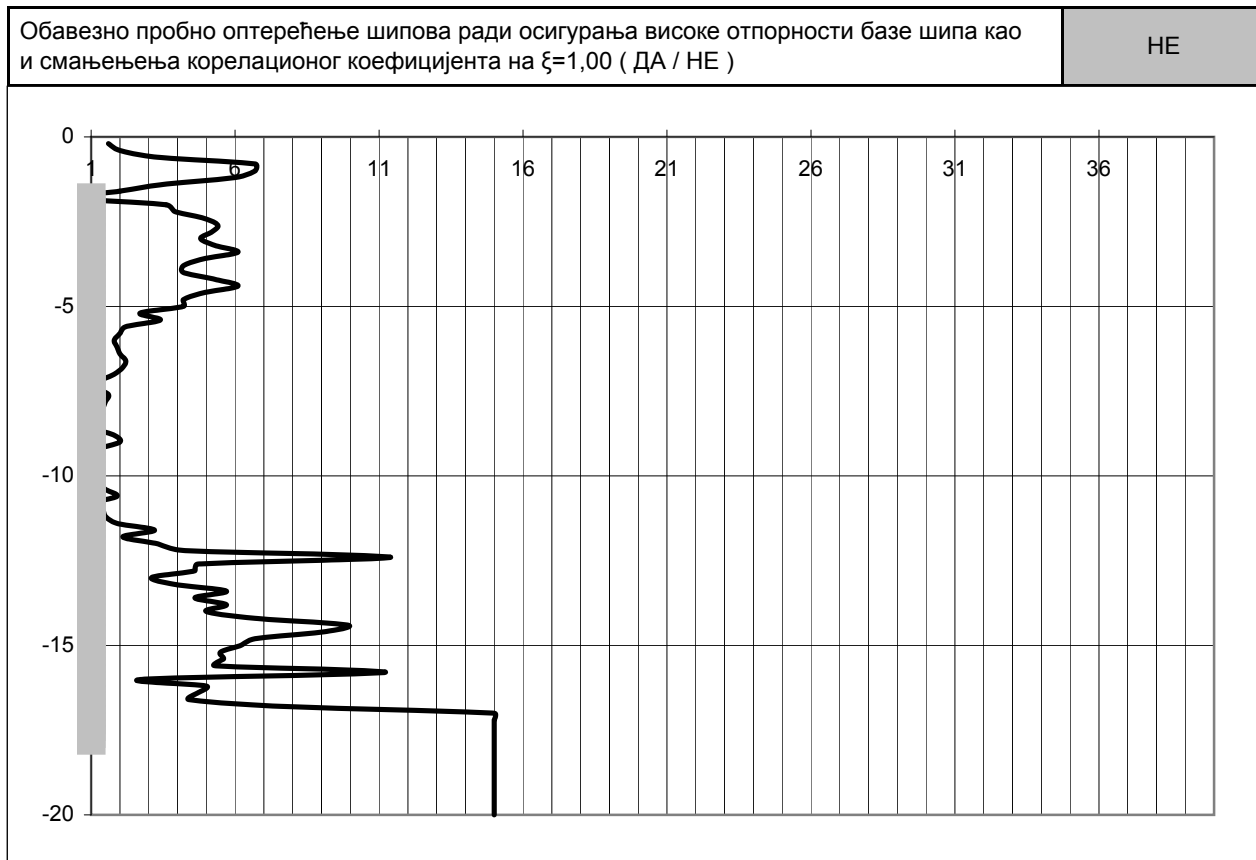
		μ_b	μ_s	q_{max} [kPa]
Потискајући шипови	Побијени префабриковани бетонски шипови	1,00	0,90	150
	Побијање челичне цеви затвореног дна, бетонирање на лицу места	1,00	0,75	120
	Побијање челичне цеви затвореног дна, сукцесивно извлачење цеви уз додавање бетона	1,00	1,10	160
	Бушени шипови без челичне цеви	0,80	0,75	160
Замењујући шипови	CFA шипови	0,70	0,55	120
	Бушени шипови	0,50	0,55	100
	Бушени шипови са челичном заштитом	0,50	0,45	80

Прорачун у складу са СРТ - п22 за надвожњак В1601 (С1 ослонац)		Парцијални факт. осн. омо.		Факт. отп. осн.		Факт. отп. омо.		Макс. отп. омо.	
		осн.	омо.	Φ	Γ	Φ	Γ	Φ	Γ
Побијени префабр. бетонски шипови	1	1.10	1.10	1.00	1.00	1.05	0.90	85	150
Побијање челичне цеви затвореног дна, бетонирање на лицу места	2	1.25	1.10	1.00	1.00	0.80	0.75	70	120
Побијање челичне цеви затвореног дна, сукцесивно извлачење цеви уз додавање бетона	3	1.25	1.10	1.00	1.00	1.10	1.10	90	160
Бушени шипови без челичне цеви	4	1.25	1.10	0.90	0.80	1.25	0.75	100	160
CFA шипови	5	1.20	1.10	0.90	0.70	1.00	0.55	80	120
Бушени шипови	6	1.25	1.10	0.80	0.50	1.00	0.55	80	100
Бушени шипови са челичном зашт.	7	1.25	1.10	0.80	0.50	1.00	0.45	80	80
Предвиђени тип шипа:	7	1.25	1.10	0.80	0.50	1.00	0.45	80	80

Пречник шипа (m)	0.90
Кота наглавка шипова (m)	106.73
Кота основе шипа (m)	90.50
Конусни фактор (Nk)	15.5
Фактор редукције наглавка (λb)	0.60
Критична кота основе шипа (m)	89.70
Дужина шипа (m)	16.23

$R_s.cal$ [kN]	$q_{c,k,0}$ [MPa]	$q_{c,l}$ [MPa]	$q_{c,II}$ [MPa]	$q_{c,III}$ [MPa]	$R_b.cal$ [kN]
2954	12.4	15.0	15.0	1.4	1564
	$q_{b,cal}$ [MPa]	2.50	Фино тло		
2.46 Грубо тло					
Врста тла на коти основе шипа (Ф / Г)					Г

$R_s.k = 1918 \text{ kN}$	ξ_{appl}	1.40	1	2	3	4	5	7	10
$R_b.k = 894 \text{ kN}$	ξ_{mean}	1.40	1.40	1.35	1.33	1.31	1.29	1.27	1.25
$R_c.d = 2812 \text{ kN}$	ξ_{min}	1.40	1.40	1.27	1.23	1.20	1.15	1.12	1.08

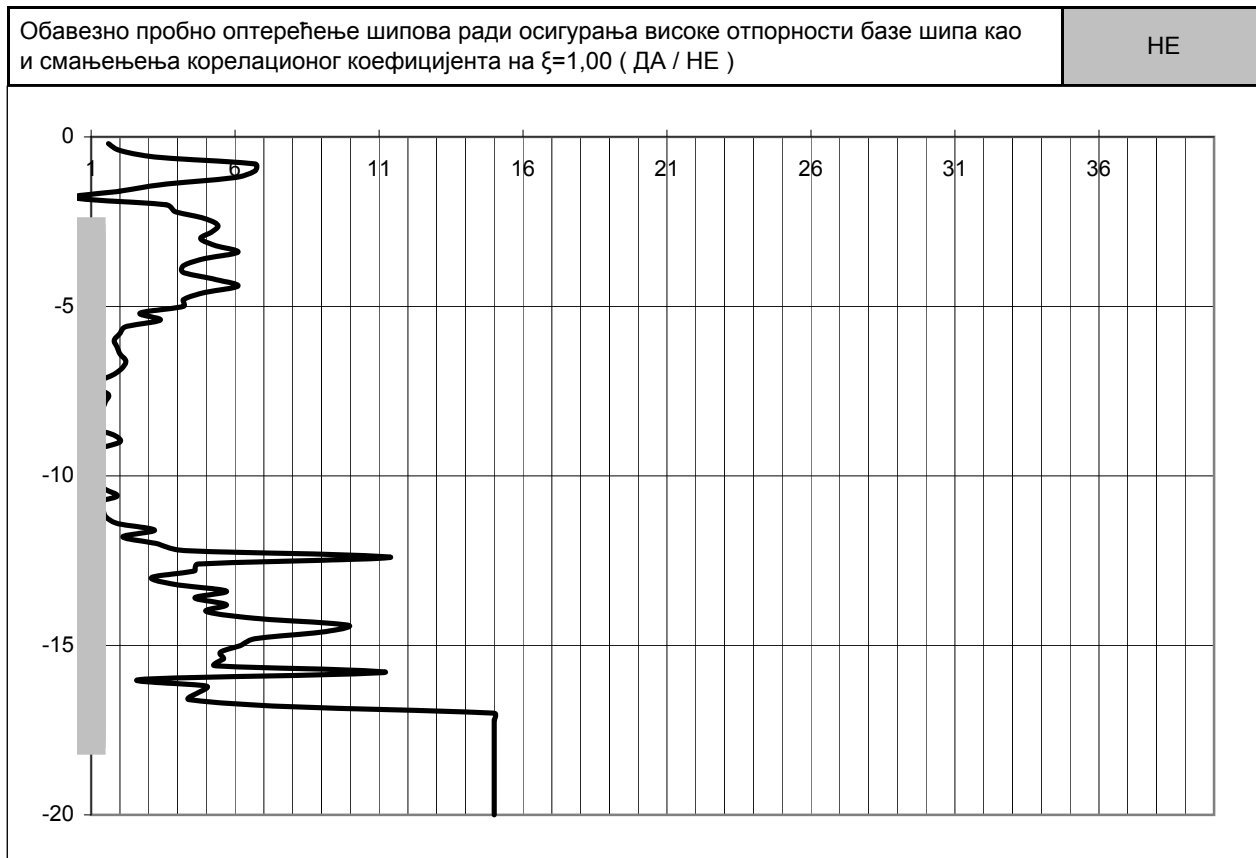


Прорачун у складу са СРТ - п22 за надвожњак В1601 (С2 ослонац)		Парцијални факт.		Факт. отп. осн.		Факт. отп. омо.		Макс. отп. омо.	
		осн.	омо.	Φ	Γ	Φ	Γ	Φ	Γ
Побијени префабр. бетонски шипови	1	1.10	1.10	1.00	1.00	1.05	0.90	85	150
Побијање челичне цеви затвореног дна, бетонирање на лицу места	2	1.25	1.10	1.00	1.00	0.80	0.75	70	120
Побијање челичне цеви затвореног дна, сукцесивно извлачење цеви уз додавање бетона	3	1.25	1.10	1.00	1.00	1.10	1.10	90	160
Бушени шипови без челичне цеви	4	1.25	1.10	0.90	0.80	1.25	0.75	100	160
CFA шипови	5	1.20	1.10	0.90	0.70	1.00	0.55	80	120
Бушени шипови	6	1.25	1.10	0.80	0.50	1.00	0.55	80	100
Бушени шипови са челичном зашт.	7	1.25	1.10	0.80	0.50	1.00	0.45	80	80
Предвиђени тип шипа:	7	1.25	1.10	0.80	0.50	1.00	0.45	80	80

Пречник шипа (m)	0.90
Кота наглавка шипова (m)	105.83
Кота основе шипа (m)	90.50
Конусни фактор (Nk)	15.5
Фактор редукције наглавка (λb)	0.60
Критична кота основе шипа (m)	89.70
Дужина шипа (m)	15.33

$R_s \text{ cal}$ [kN]	$q_{c,k,0}$ [MPa]	$q_{c,l}$ [MPa]	$q_{c,II}$ [MPa]	$q_{c,III}$ [MPa]	$R_b \text{ cal}$ [kN]
2767	12.4	15.0	15.0	1.4	1564
	$q_{b,\text{cal}}$ [MPa]	2.50	Фино тло		
2.46 Грубо тло					
Врста тла на коти основе шипа (Ф / Г)					Г

$R_s.k = 1797 \text{ kN}$	ξ_{appl}	1.40	1	2	3	4	5	7	10
$R_b.k = 894 \text{ kN}$	ξ_{mean}	1.40	1.40	1.35	1.33	1.31	1.29	1.27	1.25
$R_c.d = 2690 \text{ kN}$	ξ_{\min}	1.40	1.40	1.27	1.23	1.20	1.15	1.12	1.08

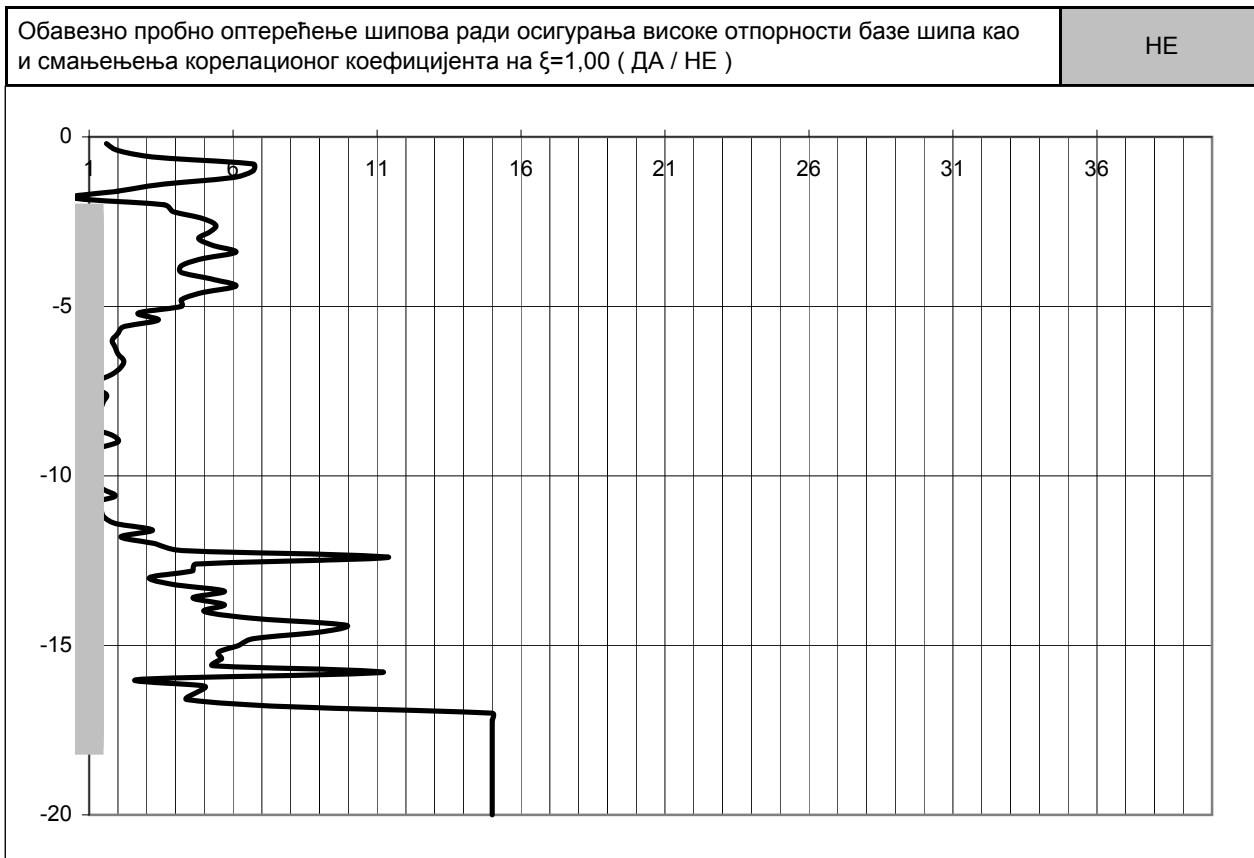


Прорачун у складу са СРТ - п22 за надвожњак В1601 (С3 ослонац)	Парцијални факт. осн. омо.	Факт. отп. осн.		Факт. отп. омо.		Макс. отп. омо.	
		Φ	Γ	Φ	Γ	Φ	Γ
Побијени префабр. бетонски шипови	1	1.10	1.10	1.00	1.00	1.05	0.90
Побијање челичне цеви затвореног дна, бетонирање на лицу места	2	1.25	1.10	1.00	1.00	0.80	0.75
Побијање челичне цеви затвореног дна, сукцесивно извлачење цеви уз додавање бетона	3	1.25	1.10	1.00	1.00	1.10	1.10
Бушени шипови без челичне цеви	4	1.25	1.10	0.90	0.80	1.25	0.75
CFA шипови	5	1.20	1.10	0.90	0.70	1.00	0.55
Бушени шипови	6	1.25	1.10	0.80	0.50	1.00	0.55
Бушени шипови са челичном зашт.	7	1.25	1.10	0.80	0.50	1.00	0.45
Предвиђени тип шипа:	7	1.25	1.10	0.80	0.50	1.00	0.45
						80	80

Пречник шипа (m)	0.90
Кота наглавка шипова (m)	106.23
Кота основе шипа (m)	90.50
Конусни фактор (N_k)	15.5
Фактор редукције наглавка (λ_b)	0.60
Критична кота основе шипа (m)	89.70
Дужина шипа (m)	15.73

$R_s.cal$ [kN]	$q_{c,k,0}$ [MPa]	$q_{c,l}$ [MPa]	$q_{c,II}$ [MPa]	$q_{c,III}$ [MPa]	$R_b.cal$ [kN]
2857	12.4	15.0	15.0	1.4	1564
	$q_{b,cal}$ [MPa]	2.50	Фино тло		
	2.46		Грубо тло		
Врста тла на коти основе шипа (Ф / Г)					Г

$R_s.k = 1855 \text{ kN}$	ξ_{appl}	1.40	1	2	3	4	5	7	10
$R_b.k = 894 \text{ kN}$	ξ_{mean}	1.40	1.40	1.35	1.33	1.31	1.29	1.27	1.25
$R_c.d = 2749 \text{ kN}$	ξ_{min}	1.40	1.40	1.27	1.23	1.20	1.15	1.12	1.08

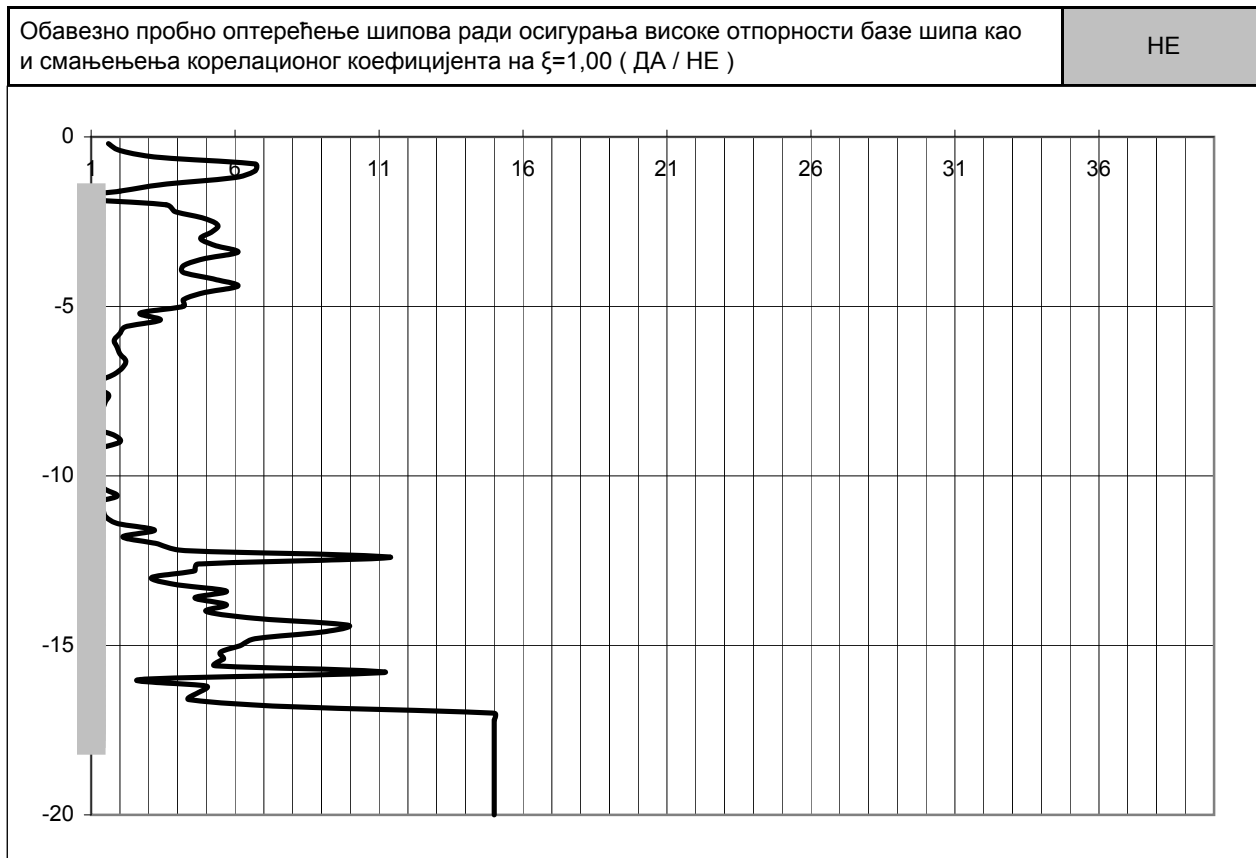


Прорачун у складу са СРТ - п22 за надвожњак В1601 (C4 ослонац)		Парцијални факт. осн. омо.		Факт. отп. осн.		Факт. отп. омо.		Макс. отп. омо.	
		осн.	омо.	Ф	Г	Ф	Г	Ф	Г
Побијени префабр. бетонски шипови	1	1.10	1.10	1.00	1.00	1.05	0.90	85	150
Побијање челичне цеви затвореног дна, бетонирање на лицу места	2	1.25	1.10	1.00	1.00	0.80	0.75	70	120
Побијање челичне цеви затвореног дна, сукцесивно извлачење цеви уз додавање бетона	3	1.25	1.10	1.00	1.00	1.10	1.10	90	160
Бушени шипови без челичне цеви	4	1.25	1.10	0.90	0.80	1.25	0.75	100	160
CFA шипови	5	1.20	1.10	0.90	0.70	1.00	0.55	80	120
Бушени шипови	6	1.25	1.10	0.80	0.50	1.00	0.55	80	100
Бушени шипови са челичном зашт.	7	1.25	1.10	0.80	0.50	1.00	0.45	80	80
Предвиђени тип шипа:	7	1.25	1.10	0.80	0.50	1.00	0.45	80	80

Пречник шипа (m)	0.90
Кота наглавка шипова (m)	106.82
Кота основе шипа (m)	90.50
Конусни фактор (Nk)	15.5
Фактор редукције наглавка (λb)	0.60
Критична кота основе шипа (m)	89.70
Дужина шипа (m)	16.32

$R_s.cal$ [kN]	$q_{c,k,0}$ [MPa]	$q_{c,l}$ [MPa]	$q_{c,II}$ [MPa]	$q_{c,III}$ [MPa]	$R_b.cal$ [kN]
2954	12.4	15.0	15.0	1.4	1564
	$q_{b,cal}$ [MPa]	2.50	Фино тло		
2.46 Грубо тло					
Врста тла на коти основе шипа (Ф / Г)					Г

$R_s.k = 1918 \text{ kN}$	ξ_{appl}	1.40	1	2	3	4	5	7	10
$R_b.k = 894 \text{ kN}$	ξ_{mean}	1.40	1.40	1.35	1.33	1.31	1.29	1.27	1.25
$R_c.d = 2812 \text{ kN}$	ξ_{min}	1.40	1.40	1.27	1.23	1.20	1.15	1.12	1.08

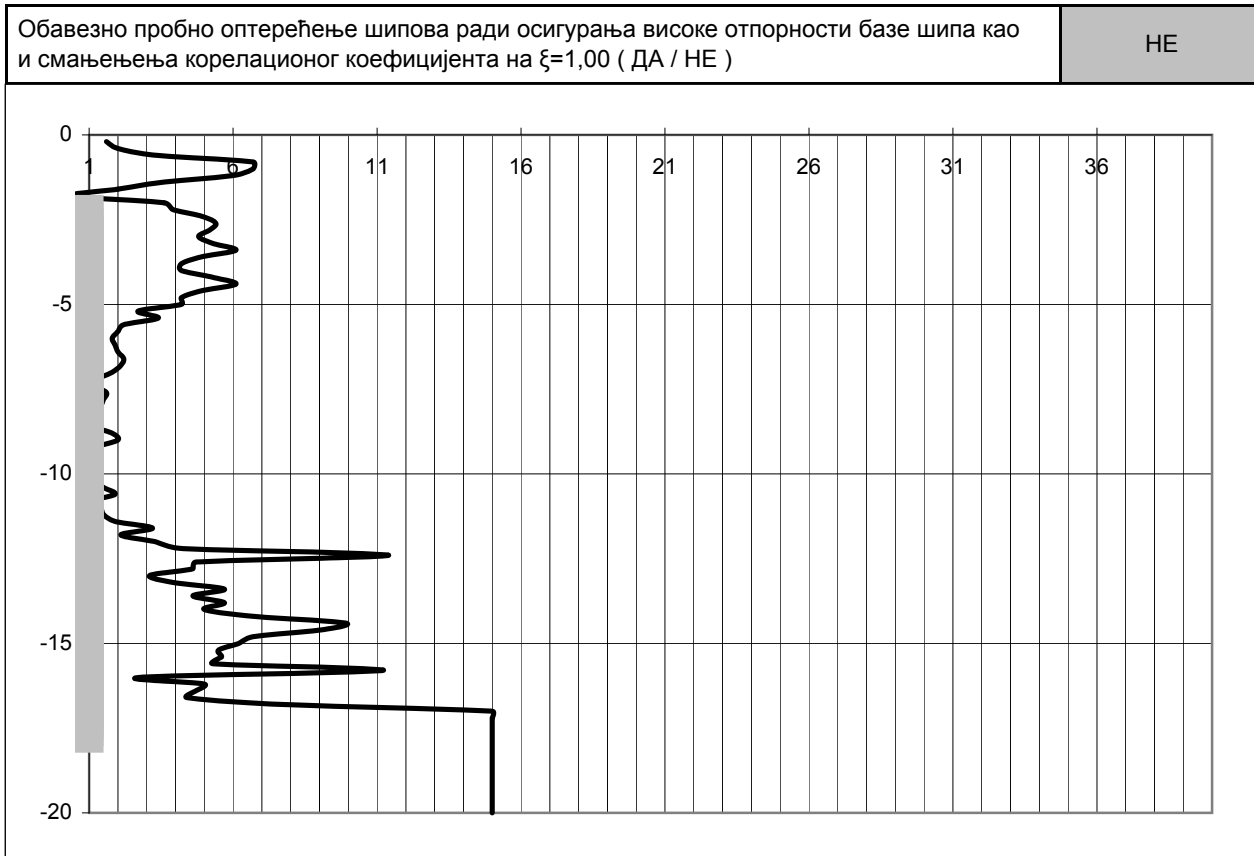


Прорачун у складу са СРТ - п22 за надвожњак В1601 (C5 ослонац)	Парцијални факт.		Факт. отп. осн.		Факт. отп. омо.		Макс. отп. омо.	
	осн.	омо.	Φ	Γ	Φ	Γ	Φ	Γ
Побијени префабр. бетонски шипови	1	1.10	1.10	1.00	1.00	1.05	0.90	85 150
Побијање челичне цеви затвореног дна, бетонирање на лицу места	2	1.25	1.10	1.00	1.00	0.80	0.75	70 120
Побијање челичне цеви затвореног дна, сукцесивно извлачење цеви уз додавање бетона	3	1.25	1.10	1.00	1.00	1.10	1.10	90 160
Бушени шипови без челичне цеви	4	1.25	1.10	0.90	0.80	1.25	0.75	100 160
CFA шипови	5	1.20	1.10	0.90	0.70	1.00	0.55	80 120
Бушени шипови	6	1.25	1.10	0.80	0.50	1.00	0.55	80 100
Бушени шипови са челичном зашт.	7	1.25	1.10	0.80	0.50	1.00	0.45	80 80
Предвиђени тип шипа:	7	1.25	1.10	0.80	0.50	1.00	0.45	80 80

Пречник шипа (m)	0.90
Кота наглавка шипова (m)	106.44
Кота основе шипа (m)	90.50
Конусни фактор (N_k)	15.5
Фактор редукције наглавка (λ_b)	0.60
Критична кота основе шипа (m)	89.70
Дужина шипа (m)	15.94

$R_s.cal$ [kN]	$q_{c,k,0}$ [MPa]	$q_{c,l}$ [MPa]	$q_{c,II}$ [MPa]	$q_{c,III}$ [MPa]	$R_b.cal$ [kN]
2900	12.4	15.0	15.0	1.4	1564
	$q_{b,cal}$ [MPa]	2.50	Фино тло		
		2.46	Грубо тло		
Врста тла на коти основе шипа (Φ / Γ)					Γ

$R_s.k = 1883$ kN	ξ_{appl}	1.40	1	2	3	4	5	7	10
$R_b.k = 894$ kN	ξ_{mean}	1.40	1.40	1.35	1.33	1.31	1.29	1.27	1.25
$R_c.d = 2777$ kN	ξ_{min}	1.40	1.40	1.27	1.23	1.20	1.15	1.12	1.08

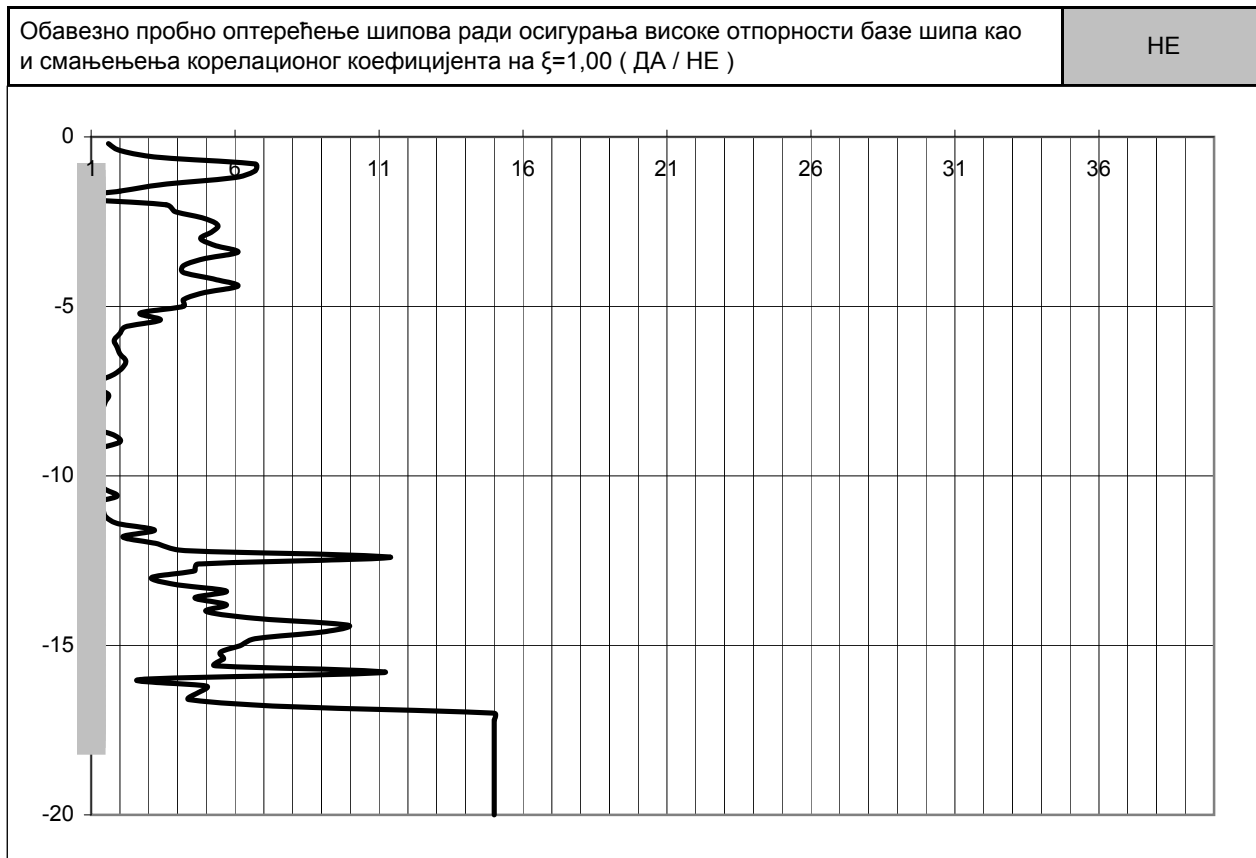


Прорачун у складу са СРТ - п22 за надвожњак В1601 (С6 ослонац)	Парцијални факт.		Факт. отп. осн.		Факт. отп. омо.		Макс. отп. омо.	
	осн.	омо.	Φ	Γ	Φ	Γ	Φ	Γ
Побијени префабр. бетонски шипови	1	1.10	1.10	1.00	1.00	1.05	0.90	85 150
Побијање челичне цеви затвореног дна, бетонирање на лицу места	2	1.25	1.10	1.00	1.00	0.80	0.75	70 120
Побијање челичне цеви затвореног дна, сукцесивно извлачење цеви уз додавање бетона	3	1.25	1.10	1.00	1.00	1.10	1.10	90 160
Бушени шипови без челичне цеви	4	1.25	1.10	0.90	0.80	1.25	0.75	100 160
CFA шипови	5	1.20	1.10	0.90	0.70	1.00	0.55	80 120
Бушени шипови	6	1.25	1.10	0.80	0.50	1.00	0.55	80 100
Бушени шипови са челичном зашт.	7	1.25	1.10	0.80	0.50	1.00	0.45	80 80
Предвиђени тип шипа:	7	1.25	1.10	0.80	0.50	1.00	0.45	80 80

Пречник шипа (m)	0.90
Кота наглавка шипова (m)	107.45
Кота основе шипа (m)	90.50
Конусни фактор (N_k)	15.5
Фактор редукције наглавка (λ_b)	0.60
Критична кота основе шипа (m)	89.70
Дужина шипа (m)	16.95

R_s,cal [kN]	$q_{c,k,0}$ [MPa]	$q_{c,l}$ [MPa]	$q_{c,II}$ [MPa]	$q_{c,III}$ [MPa]	R_b,cal [kN]
	3070	12.4	15.0	15.0	
$q_{b,cal}$ [MPa]	2.50	Фино тло			
$q_{b,cal}$ [MPa]	2.46	Грубо тло			
Врста тла на коти основе шипа (Ф / Г)					Г

$R_s,k = 1993 \text{ kN}$	ξ_{appl}	1.40	1	2	3	4	5	7	10
$R_b,k = 894 \text{ kN}$	ξ_{mean}	1.40	1.40	1.35	1.33	1.31	1.29	1.27	1.25
$R_c,d = 2887 \text{ kN}$	ξ_{min}	1.40	1.40	1.27	1.23	1.20	1.15	1.12	1.08



**СТАТИЧКИ ПРОРАЧУН СУПЕРСТРУКТУРЕ
ПРОЈЕКТОВАЊЕ МОСТОВА
НАДВОЖЊАК НА 160+094.84 КМ**

1. УНОСНИ ПОДАЦИ

- 1.1. ГЕОМЕТРИЈСКЕ КАРАКТЕРИСТИКЕ
- 1.2. УПОТРЕБЉЕНИ СТАНДАРДИ
- 1.3. МАТЕРИЈАЛИ

2. ОПТРЕЋЕЊА И ДЕЈСТВА

- 2.1. СТАЛНО ОПТЕРЕЋЕЊЕ
- 2.2. ПОВРЕМЕНО ОПТЕРЕЋЕЊЕ
- 2.3. КОМБИНАЦИЈЕ ОПТЕРЕЋЕЊА

3. ПРОРАЧУН ПРЕДНАПРЕГНУТИХ АБ ГРЕДА ДУЖИНЕ $L = 21.80$

- 3.1. ГЕОМЕТРИЈСКЕ КАРАКТЕРИСТИКЕ
- 3.2. ОСОБИНЕ БЕТОНА ЗА ПРЕДНАПРЕЗАЊЕ
- 3.3. ПОЧЕТНА И ЕФЕКТИВНА ЗАТЕЗНА СИЛА
- 3.4. ГУБИТАК СИЛЕ ПРЕДНАПРЕЗАЊА ТОКОМ ВРЕМЕНА
- 3.5. ОДРЕЂИВАЊЕ КРАЈЊЕ ЗОНЕ И ДУЖИНЕ АНКЕРОВАЊА
- 3.6. КОНТРОЛА КРАЈА ГРЕДНОГ НОСАЧА УСЛЕД
ПРЕДНАПРЕЗАЊА КАБЛОВА И БЕТОНИРАЊА АБ ПЛОЧЕ
- 3.7. ПРОРАЧУН ГРЕДНОГ НОСАЧА ИZNAD ОСЛОНЦА ЗА МАКС. ТРАНСВЕРЗАЛНУ СИЛУ
- 3.8. ПРОРАЧУН ГРЕДНОГ НОСАЧА У СРЕДЊЕМ ДЕЛУ ЗА МАКС. МОМЕНТ САВИЈАЊА
- 3.9. ПРОРАЧУН ГРЕДНОГ НОСАЧА ИZNAD ОСЛОНЦА ЗА МИН. МОМЕНТ САВИЈАЊА
- 3.10. ВРЕДНОСТИ УГИБА И ДЕФОРМАЦИЈА (ПРОЦЕНА)

4. ПРОРАЧУН ПРЕДНАПРЕГНУТИХ АБ ГРЕДА ДУЖИНЕ $L = 30.80$

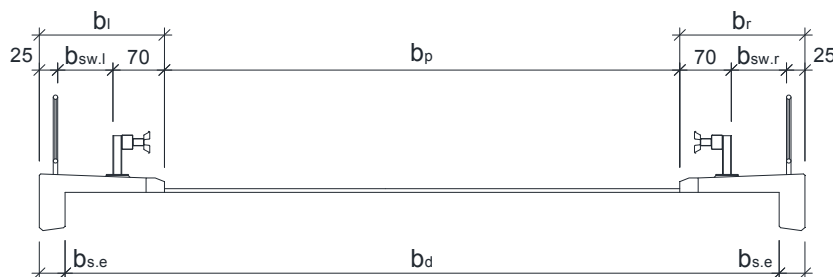
- 4.1. ГЕОМЕТРИЈСКЕ КАРАКТЕРИСТИКЕ
- 4.2. ОСОБИНЕ БЕТОНА ЗА ПРЕДНАПРЕЗАЊЕ
- 4.3. ПОЧЕТНА И ЕФЕКТИВНА ЗАТЕЗНА СИЛА
- 4.4. ГУБИТАК СИЛЕ ПРЕДНАПРЕЗАЊА ТОКОМ ВРЕМЕНА
- 4.5. ОДРЕЂИВАЊЕ КРАЈЊЕ ЗОНЕ И ДУЖИНЕ АНКЕРОВАЊА
- 4.6. КОНТРОЛА КРАЈА ГРЕДНОГ НОСАЧА УСЛЕД
ПРЕДНАПРЕЗАЊА КАБЛОВА И БЕТОНИРАЊА АБ ПЛОЧЕ
- 4.7. ПРОРАЧУН ГРЕДНОГ НОСАЧА ИZNAD ОСЛОНЦА ЗА МАКС. ТРАНСВЕРЗАЛНУ СИЛУ
- 4.8. ПРОРАЧУН ГРЕДНОГ НОСАЧА У СРЕДЊЕМ ДЕЛУ ЗА МАКС. МОМЕНТ САВИЈАЊА
- 4.9. ПРОРАЧУН ГРЕДНОГ НОСАЧА ИZNAD ОСЛОНЦА ЗА МИН. МОМЕНТ САВИЈАЊА
- 4.10. ВРЕДНОСТИ УГИБА И ДЕФОРМАЦИЈА (ПРОЦЕНА)

1. УНОСНИ ПОДАЦИ

1.1. ГЕОМЕТРИЈСКЕ КАРАКТЕРИСТИКЕ

Ослоначки углови (°)	90
Дужина конструкције (м)	138.8
Распони (м)	22.10 31.20 31.20 31.20 22.10
Дужина П.АБ греда (м)	21.80 30.80 30.80 30.80 21.80

Ширина коловозне траке (м)	6	b_p
Ширина тротоара (лево) (м)	1.7	b_l
Ширина тротоара (десно) (м)	1.7	b_r
Ширина ивице тротоара(м)	0.35	$b_{s.e}$
Висина ивице тротоара (м)	0.7	$h_{s.e}$
Просечна дебљина АБ плоче (м)	0.24	$t_{d.avg}$
Дебљина колов. плоче + хидроизолација (м)	0.08	t_p
Број ослонаца	6	n_{sup}
Број ПБ греда	10	n_{prc}
Тежина по дужном метру ПБ греде (kN/m)	8.8	g_{prc}
Висина ПБ греде (м)	1.2	h_{prc}
Дужина налегања ПБ греде (м)	0.9	$t_{prc.m}$



Употребљива ширина тротоара (десно) $b_{sw.r} := b_r - 25\text{cm} - 70\text{cm} = 0.750 \text{ m}$

Употребљива ширина тротоара (лево) $b_{sw.l} := b_l - 25\text{cm} - 70\text{cm} = 0.750 \text{ m}$

Ширина плоче $b_d := b_l + b_p + b_r - 2 \cdot b_{s.e} = 8.700 \text{ m}$

Ексцентрицитет плоче $e_d := 0.5 \cdot (b_d + 2 \cdot 35\text{cm}) - b_l - 0.5 \cdot b_p = 0.000 \text{ m}$

Укупна ширина конструкције: $b_{tot} := b_d + 2 \cdot b_{s.e} = 9.400 \text{ m}$

1.2. УПОТРЕБЉЕНИ СТАНДАРДИ

- EN 1990 Основе пројектовања конструкција
- EN 1991-1-1 Општа дејства - Запреминске тежине, сопствена тежина, корисна оптерећења за зграде
- EN 1991-1-4 Општа дејства - Дејства ветра
- EN 1991-1-5 Општа дејства - Топлотна дејства
- EN 1992-1-1 Пројектовање бетонских конструкција - Део 1-1: Општа правила и правила за зграде
- EN 1992-2 Бетонски мостови - Правила пројектовања и конструисања

1.3. МАТЕРИЈАЛИ

Парцијални коефицијенти за бетон и челик:

$$\gamma_c := 1.50 \quad \gamma_s := 1.15$$

Узимајући у обзир трајање оптерећења, смањујемо вредност чврстоће на затезање и чврстоцу на притисак. Ми примењујемо ове коефицијенте сигурности.

$$\alpha_{cc} := 0.85 \quad \alpha_{ct} := 1.00$$

Бетон - ПБ греде (ЕН 1992 и ЕН 206)

C50/60

Секантни модул еластичности бетона:

$$E_{cm} = 37.3 \cdot \frac{kN}{mm^2}$$

Ефективни модул еластичности бетона:

$$E_{c.eff} = 17.0 \cdot \frac{kN}{mm^2}$$

Средња вредност аксијалног напрезања бетона:

$$f_{ctm} = 4.1 \cdot \frac{N}{mm^2}$$

Рачунска вредност аксијалног напрезања бетона:

$$f_{ctd} = 1.9 \cdot \frac{N}{mm^2}$$

Средња вредност чврстоће бетона на притисак:

$$f_{cm} = 58.0 \cdot \frac{N}{mm^2}$$

Карактеристична чврстоћа бетона на притисак након 28 дана:

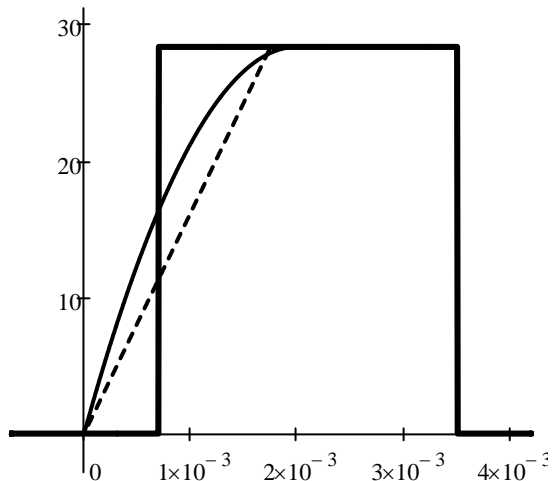
$$f_{ck} = 50.0 \cdot \frac{N}{mm^2}$$

Рачунска чврстоћа бетона на притисак:

$$f_{cd} = 28.3 \cdot \frac{N}{mm^2}$$

Фактор пропорционалности бетона за правоугаони облик дисперзије напона:

$$c = 0.80$$



Бетон - АБ ПЛОЧА (ЕН 1992 и ЕН 206)

C40/50

Секантни модул еластичности бетона:

$$E_{cm} = 35.2 \cdot \frac{kN}{mm^2}$$

Ефективни модул еластичности бетона:

$$E_{c.eff} = 14.6 \cdot \frac{kN}{mm^2}$$

Средња вредност аксијалног напрезања бетона:

$$f_{ctm} = 3.5 \cdot \frac{N}{mm^2}$$

Средња вредност чврстоће бетона на притисак:

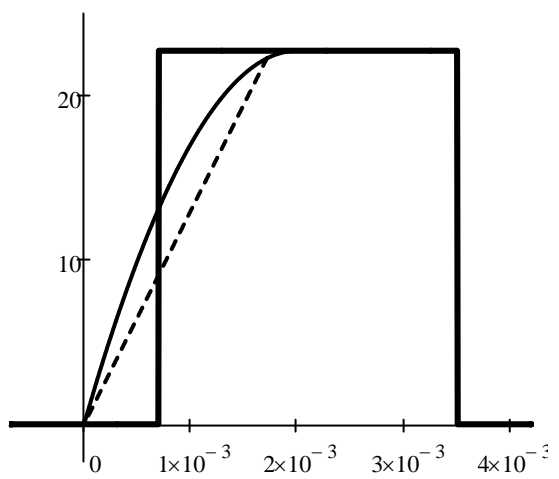
$$f_{cm} = 48.0 \cdot \frac{N}{mm^2}$$

Карактеристична чврстоћа бетона на притисак након 28 дана:

$$f_{ck} = 40.0 \cdot \frac{N}{mm^2}$$

Рачунска чврстоћа бетона на притисак:

$$f_{cd} = 22.7 \cdot \frac{N}{mm^2}$$



Рачунска вредност аксијалног напрезања бетона:

Фактор пропорциоалности бетона за правоугаони облик дисперзије напона:

$$c = 0.80$$

$$f_{ctd} = 1.6 \cdot \frac{N}{mm^2}$$

Спрегнут однос однос крутости:

$$\alpha_{e'} := \frac{E_{c.eff.prc}}{E_{c.eff.deck}} \quad \alpha_{e'} = 1.169 \quad -> \quad E_{c.eff} := E_{c.eff.prc} \quad \text{and} \quad E_{cm} := E_{cm.prc}$$

бити ће примењен за спречнутог попречног пресека

Арматура (EN 10080)

Каррактеристична вредност чврстоћа при затезању арматуре:

$$f_{s.tk} = 600 \cdot \frac{N}{mm^2}$$

Каррактеристична вредност границе развлачења арматуре:

$$f_{s.yk} = 500 \cdot \frac{N}{mm^2}$$

Прорачунска вредност границе развлачења:

$$f_{s.yd} = 435 \cdot \frac{N}{mm^2}$$

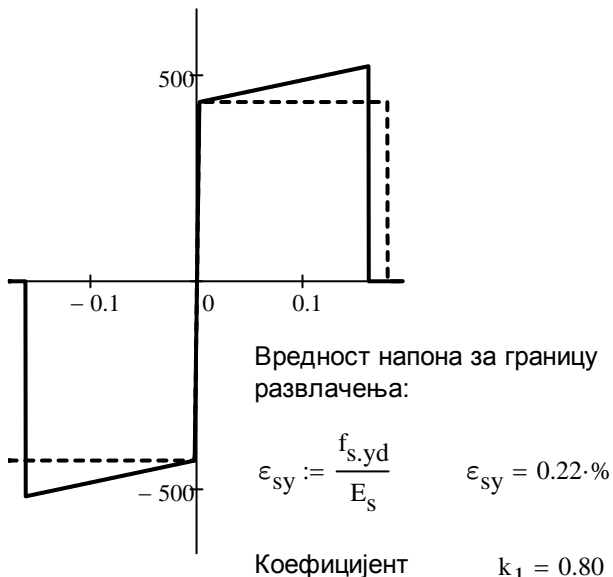
Прорачунска вредност модула еластичности челика за арматуру:

$$E_s = 200 \cdot \frac{kN}{mm^2}$$

Каррактеристична вредност дилатације арматуре за претходно напрезање при макс. оптерећењу:

$$\varepsilon_{s.uk} = 18.0 \cdot \%$$

B500B(B60.50)



Релативна вредност притиснуте површине бетона:

$$\xi_{c0} := \frac{c \cdot \varepsilon_{cu3} \cdot E_s}{f_{s.yd} + \varepsilon_{cu3} \cdot E_s} \quad \xi_{c0} = 0.493 \quad \xi'_{c0} := \frac{c \cdot \varepsilon_{cu3} \cdot E_s}{\varepsilon_{cu3} \cdot E_s - f_{s.yd}} \quad \xi'_{c0} = 2.111$$

Челик за преднапрезање (EN 10138)

Y1860 S7-12.5

Рачунска вредност модула еластичности арматуре за преднапрезање:

$$E_p = 195 \cdot \frac{kN}{mm^2}$$

Номинални пречник:

$$\phi_p = 12.5 \cdot mm$$

Каррактеристична затезна чврстоћа арматуре за преднапрезање:

$$f_{pk} = 1860 \cdot \frac{N}{mm^2}$$

Номинална површина попречног пресека (1 кабал):

$$A_p = 93 \cdot mm^2$$

Каррактеристична вредност напона при којем је неповратна дилатација 0,1% :

$$f_{p0.1k} = 1580 \cdot \frac{N}{mm^2}$$

Граница напрезања:

$$\varepsilon_{pH} = 2.5 \cdot \%$$

Затезна чврстоћа арматуре за преднапрезање:

$$f_p = 1375 \cdot \frac{N}{mm^2}$$

Граница еластичног напрезања:

$$\varepsilon_{lim} := \frac{f_p}{E_p} = 0.71 \cdot \%$$

Тежина по јединици запремине

АБ конструкције: Насип: Асфалт:

$$\gamma_{rc} := 25 \frac{\text{kN}}{\text{m}^3} \quad \gamma_t := 19 \frac{\text{kN}}{\text{m}^3} \quad \gamma_p := 24 \frac{\text{kN}}{\text{m}^3}$$

2. ОПТЕРЕЋЕЊА И ДЕЈСТВА

2.1. СТАЛНО ОПТЕРЕЋЕЊЕ

Оптерећење са просте греде суперструктуре (DL1):

$$\text{Сопствена тежина греде: } g_{DL1} := g_{prc} = 8.80 \frac{\text{kN}}{\text{m}}$$

Оптерећење са просте греде суперструктуре (DL2):

$$\text{Сопствена тежина плоче: } g_{DL2} := t_{d.avg} \cdot \gamma_{rc} = 6.00 \frac{\text{kN}}{\text{m}^2}$$

Оптерећење са континуалне греде суперструктуре (DL3):

Тежина хидроизолације и плоче:

$$g_{pavement} := t_p \cdot \gamma_p = 1.92 \frac{\text{kN}}{\text{m}^2}$$

Тежина тротоара:

$$g_{sidewalk.l} := (b_l - b_{s.e}) \cdot (t_p + 15\text{cm}) \cdot \gamma_{rc} + b_{s.e} \cdot h_{s.e} \cdot \gamma_{rc} = 13.9 \frac{\text{kN}}{\text{m}}$$

$$g_{sidewalk.r} := (b_r - b_{s.e}) \cdot (t_p + 15\text{cm}) \cdot \gamma_{rc} + b_{s.e} \cdot h_{s.e} \cdot \gamma_{rc} = 13.9 \frac{\text{kN}}{\text{m}}$$

Тежина заштитне ограде + ограде за пешаке + инсталације:

$$g_{other.l} := 0.30 \frac{\text{kN}}{\text{m}} + 0.50 \frac{\text{kN}}{\text{m}} + 1.00 \frac{\text{kN}}{\text{m}} = 1.8 \frac{\text{kN}}{\text{m}}$$

$$g_{other.r} := 0.30 \frac{\text{kN}}{\text{m}} + 0.50 \frac{\text{kN}}{\text{m}} + 1.00 \frac{\text{kN}}{\text{m}} = 1.8 \frac{\text{kN}}{\text{m}}$$

- за средње постављене греде:

$$g_{DL3.m} := g_{pavement} = 1.92 \frac{\text{kN}}{\text{m}^2}$$

- за ивичне греде:

$$g_{DL3.s} := \max \left[\left(g_{sidewalk.r} + g_{other.r} \right) \div b_r, \left(g_{sidewalk.l} + g_{other.l} \right) \div b_l \right] = 9.23 \frac{\text{kN}}{\text{m}^2}$$

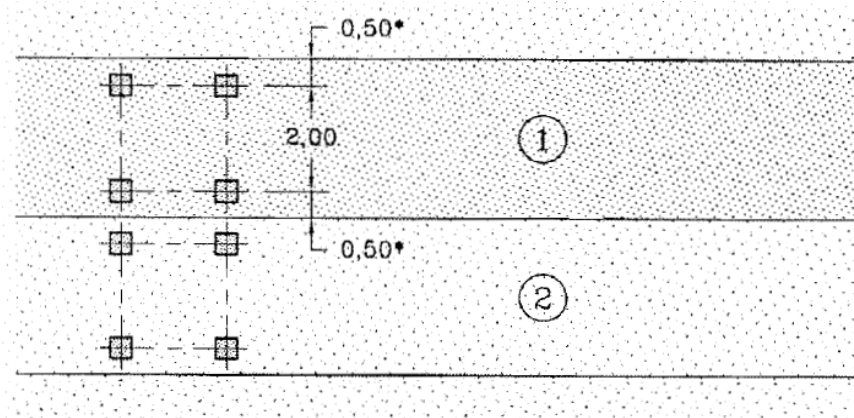
- за прелиминарне прорачуне, DL3 се усваја за већу вредност независно од позиције критичног положаја саобраћајног оптерећења:

$$g_{DL3} := \max(g_{DL3.m}, g_{DL3.s})$$

2.2. ПОВРЕМЕНА ОПТЕРЕЋЕЊА

2.2.1. САОБРАЋАЈНО ОПТЕРЕЋЕЊЕ

LM1 Модел саобраћајног оптерећења

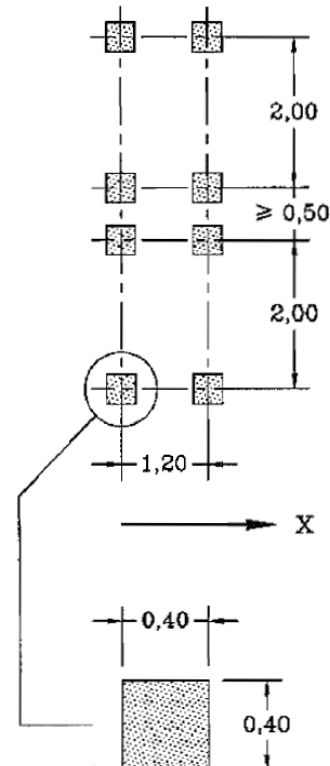


Локација	Тандем систем TS		UDL систем	
	Осовинска оптерећења		$q_{ik} [\text{kN}/\text{m}^2]$	a_{qi}
Трака бр. 1	300	1.00	9.00	1.00
Трака бр. 2	200	1.00	2.50	1.00
Преостала површина			2.50	1.00

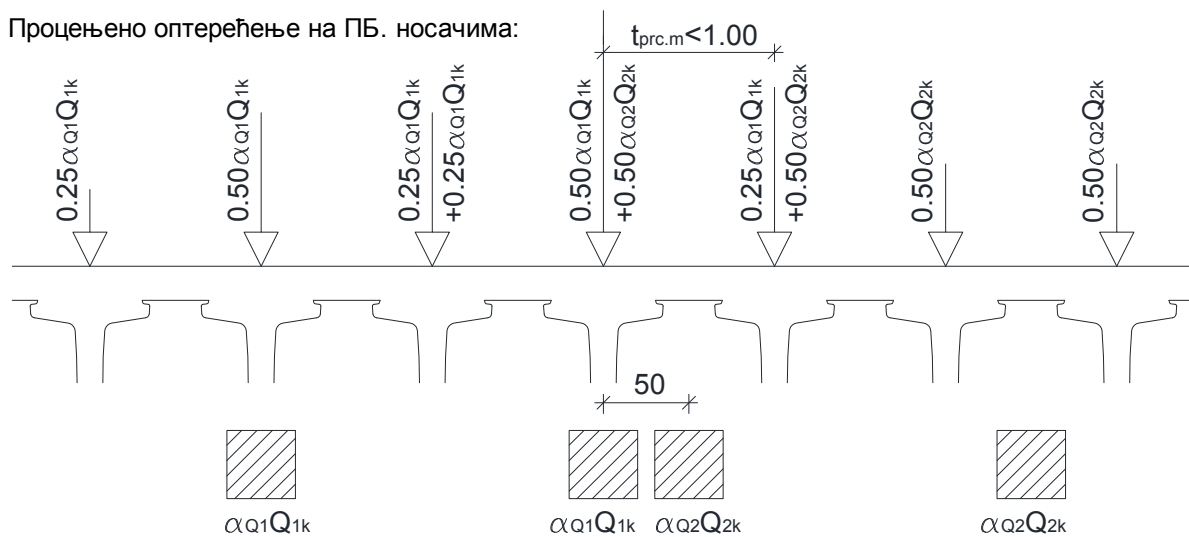
За распоне веће од 10 m, сваки тандем систем је замењен у свим тракама са једно-осовинским концентрисаним оптерећењем једнакој тежини две осовине:

Трака бр. 1: $600 \alpha_{Q1} \text{kN}$

Трака бр. 2: $400 \alpha_{Q2} \text{kN}$



Процењено оптерећење на ПБ. носачима:



$$Q_{TS} := 0.50 \cdot \alpha_{Q1} \cdot Q_{1k} + 0.50 \cdot \alpha_{Q2} \cdot Q_{2k} = 250 \cdot \text{kN} \quad q_{UDL} := \alpha_{q1} \cdot q_{1k} = 9.00 \cdot \frac{\text{kN}}{\text{m}^2}$$

Једнакорасподељено оптерећење на тротоару:

$$q_{flk} := 5.00 \frac{\text{kN}}{\text{m}^2}$$

2.2.2. Дејство ветра

Симултанско дејство ветра је занемарено у прелиминарној фази пројектовања

2.2.3. Топлотна дејства

Топлотна дејства су занемарена у прелиминарној фази пројектовања јер је њихово симултанско дејство са саобраћајним оптерећењем изостављено из прорачуна ULS у складу са "EN 1990"

2.2.4. Спречено скупљање

Утицај спреченог скупљања између АБ плоче и П.АБ. греда -, због различите старости од осталих елемената - је прорачуната са параметрима из спречнутог попречног пресека.

2.2.5. Сеизмичка дејства

Сеизмички утицају у Z координати нису разматрани, сеизмички утицаји су занемарљиви.

2.3. КОМБИНАЦИЈЕ ОПТЕРЕЋЕЊА

Ми прорачувамо значајније моменте савијања за греде из наведених оптерећења за све распоне.

- сопствена тежина греде	g_1	статички модел просте греде
- сопствена тежина плоче	g_2	статички модел просте греде
- сопствена тежина асфалта	g_3	статички модел континуалне греде
+ ивичњак и путна баријера		
- тандем систем	Q_i	статички модел континуалне греде
- једнакорасподељено саобраћајно оптерећење	q_{ik}	статички модел континуалне греде

ULS (a,b)

$$\sum_{j \geq 1} \gamma_{G,j} G_{k,j} + \gamma_P P + \gamma_{Q,1} \psi_{0,1} Q_{k,1} + \sum_{i > 1} \gamma_{Q,i} \psi_{0,i} Q_{k,i}$$

$$\sum_{j \geq 1} \xi_j \gamma_{G,j} G_{k,j} + \gamma_P I + \gamma_{Q,1} Q_{k,1} + \sum_{i > 1} \gamma_{Q,i} \psi_{0,i} Q_{k,i}$$

Сеизмички

$$\sum_{j \geq 1} G_{k,j} + P + A_{Ed} + \sum_{i \geq 1} \psi_{2,i} Q_{k,i}$$

Каррактеристични

$$\sum_{j \geq 1} G_{k,j} + P + Q_{k,1} + \sum_{i > 1} \psi_{0,i} Q_{k,i}$$

Фактори сигурности

Стална оптерећења: $\gamma_G := 1.35$ $\xi := 0.85$

Чести

$$\sum_{j \geq 1} G_{k,j} + P + \psi_{1,1} Q_{k,1} + \sum_{i > 1} \psi_{2,i} Q_{k,i}$$

Преднапрезање: $\gamma_P := 1.00$

Саобраћајна оптерећења: $\gamma_Q := 1.35$

Квази-стални

$$\sum_{j \geq 1} G_{k,j} + P + \sum_{i \geq 1} \psi_{2,i} Q_{k,i}$$

$\psi_{0,TS} := 0.75$ $\psi_{1,TS} := 0.75$ $\psi_{2,TS} := 0$

$\psi_{0,UDL} := 0.40$ $\psi_{1,UDL} := 0.40$ $\psi_{2,UDL} := 0$

Persistent and transient design situation	Permanent actions		Prestress	Leading variable action	Accompanying variable actions		Permanent actions		Prestress	Leading variable action	Accompanying variable actions			
	Unfavourable	Favourable			Main (if any)	Others	Unfavourable				Main (if any)	Others		
		(Eq. 6.10)	$\gamma_{G_{\text{sup}}^{\text{inf}}} G_{k,j,\text{sup}}$	$\gamma_{G_{\text{inf}}^{\text{sup}}} G_{k,j,\text{inf}}$		$\gamma_{Q,P}$	$\gamma_{Q,1} Q_{s,1}$	$\gamma_{Q,1} \psi_{0,1} Q_{k,i}$			(Eq. 6.10a)	$\gamma_{G_{\text{sup}}^{\text{inf}}} G_{k,j,\text{sup}}$	$\gamma_{G_{\text{inf}}^{\text{sup}}} G_{k,j,\text{inf}}$	$\gamma_{Q,P}$
NOTE 1	The choice between 6.10, or 6.10a and 6.10b will be in the National Annex. In the case of 6.10a and 6.10b, the National Annex may in addition modify 6.10a to include permanent actions only.													

NOTE 2 The γ and ξ values may be set by the National Annex. The following values for γ and ξ are recommended when using expressions 6.10, or 6.10a and 6.10b:

$\gamma_{G_{\text{sup}}^{\text{inf}}} = 1,35^1)$
 $\gamma_{G_{\text{inf}}^{\text{sup}}} = 1,00$

$\gamma_6 = 1,35$ when Q represents unfavourable actions due to road or pedestrian traffic (0 when favourable)
 $\gamma_6 = 1,45$ when Q represents unfavourable actions due to rail traffic, for groups of loads 11 to 31 (except 16, 17, 26³⁾ and 27³⁾), load models LM71, SW/0 and HSLM and real trains, when considered as individual leading traffic actions (0 when favourable)

$\gamma_Q = 1,20$ when Q represents unfavourable actions due to rail traffic, for groups of loads 16 and 17 and SW/2 (0 when favourable)

$\gamma_Q = 1,50$ for other traffic actions and other variable actions²⁾
 $\xi = 0,85$ (so that $\xi \gamma_{G_{\text{sup}}^{\text{inf}}} = 0,85 \times 1,35 \equiv 1,15$).

$\gamma_{G_{\text{set}}^{\text{inf}}} = 1,20$ in the case of a linear elastic analysis, and $\gamma_{G_{\text{set}}^{\text{sup}}} = 1,35$ in the case of a non linear analysis, for design situations where actions due to uneven settlements may have unfavourable effects. For design situations where actions due to uneven settlements may have favourable effects, these actions are not to be taken into account. See also EN 1991 to EN 1999 for γ values to be used for imposed deformations.

γ_F = recommended values defined in the relevant design Eurocode.

¹⁾This value covers: self-weight of structural and non structural elements, ballast, soil, ground water and free water, removable loads, etc.
²⁾This value covers: variable horizontal earth pressure from soil, ground water, free water and ballast, traffic load surcharge earth pressure, traffic aerodynamic actions, wind and thermal actions, etc.

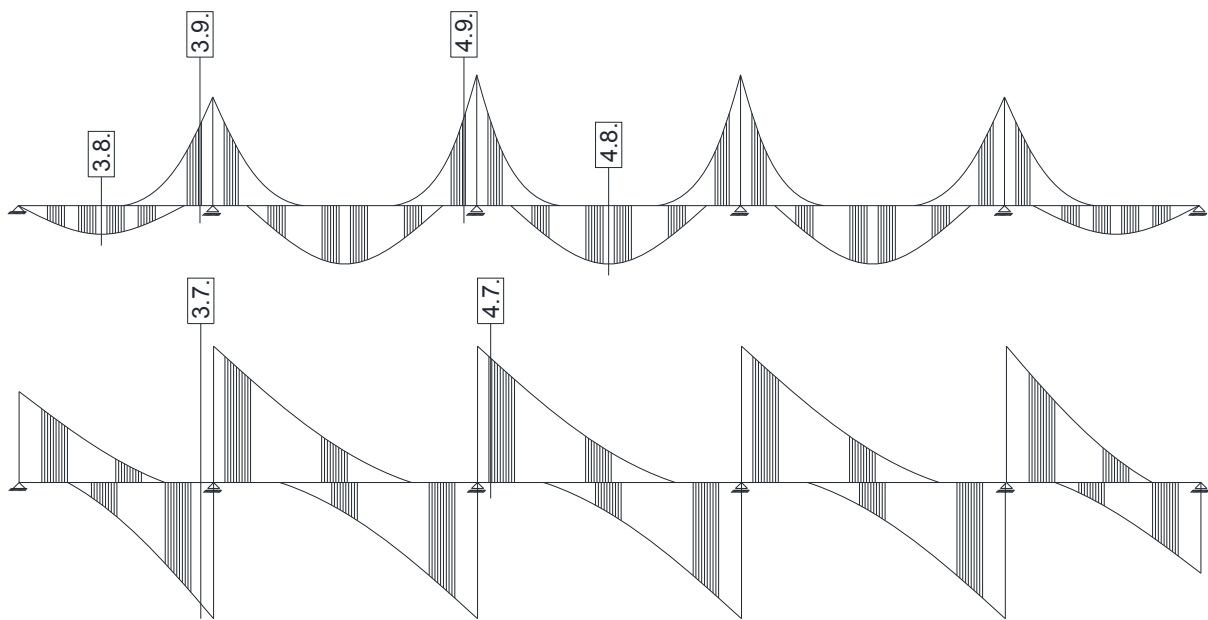
³⁾For rail traffic actions for groups of loads 26 and 27 $\gamma_6 = 1,20$ may be applied to individual components of traffic actions associated with SW/2 and $\gamma_6 = 1,45$ may be applied to individual components of traffic actions associated with load models LM71, SW/0 and HSLM, etc.

NOTE 3 The characteristic values of all permanent actions from one source are multiplied by $\gamma_{G_{\text{sup}}^{\text{inf}}}$ if the total resulting action effect is favourable. For example, all actions originating from the self-weight of the structure may be considered as coming from one source; this also applies if different materials are involved. See however A2.3.1(2).

NOTE 4 For particular verifications, the values for γ_6 and γ_Q may be subdivided into γ_6 and γ_Q and the model uncertainty factor γ_{sd} . A value of γ_{sd} in the range 1,0–1,15 may be used in most common cases and may be modified in the National Annex.

NOTE 5 Where actions due to water are not covered by EN 1997 (e.g. flowing water), the combinations of actions to be used may be specified for the individual project.

СПЕЦИФИКАЦИЈА / ОБРАЗЛОЖЕЊЕ ИЗВРШЕНИХ ПРОВЕРА У ПРЕЛИМИНАРНОЈ ФАЗИ ПРОЈЕКТОВАЊА



Како додатак провера на крајњим деловима носача у фази преднапрезања, извршене се су провере за критичне унутрашње силе на означеним местима:

(унутрашње критичне силе су прорачунате интеграцијом једнакорасподељених оптерећења и расподелом концетрисаних оптерећења преко утицајних линија)

Прорачун П.АБ. носача распона L=21.80

3.7 Прорачун гредног носача изнад ослонца за макс. трансверзалну силу

3.8 Прорачун гредног носача у средњем делу распона за макс. момент савијања

3.9 Прорачун гредног носача изнад ослонца за мин. момент савијања

Прорачун П.АБ. носача распона L=30.80

4.7 Прорачун гредног носача изнад ослонца за макс. трансверзалну силу

4.8 Прорачун гредног носача у средњем делу распона за макс. момент савијања

4.9 Прорачун гредног носача изнад ослонца за мин. момент савијања

3. ПРОРАЧУН П.АБ. ГРЕДЕ ДУЖИНЕ L = 21.80

3.1. ГОМЕТРИЈСКЕ КАРАКТЕРИСТИКЕ

Размак греда:

$$t_{prc.m} = 0.900 \text{ m}$$

$$t_{prc.s} := 0.5 \cdot (t_{prc.m} + 70\text{cm})$$

Предодређена мин. и средња дебљина плоче:

$$t_{d,min} := 20\text{cm}$$

$$t_{d,avg} = 24\text{-cm}$$

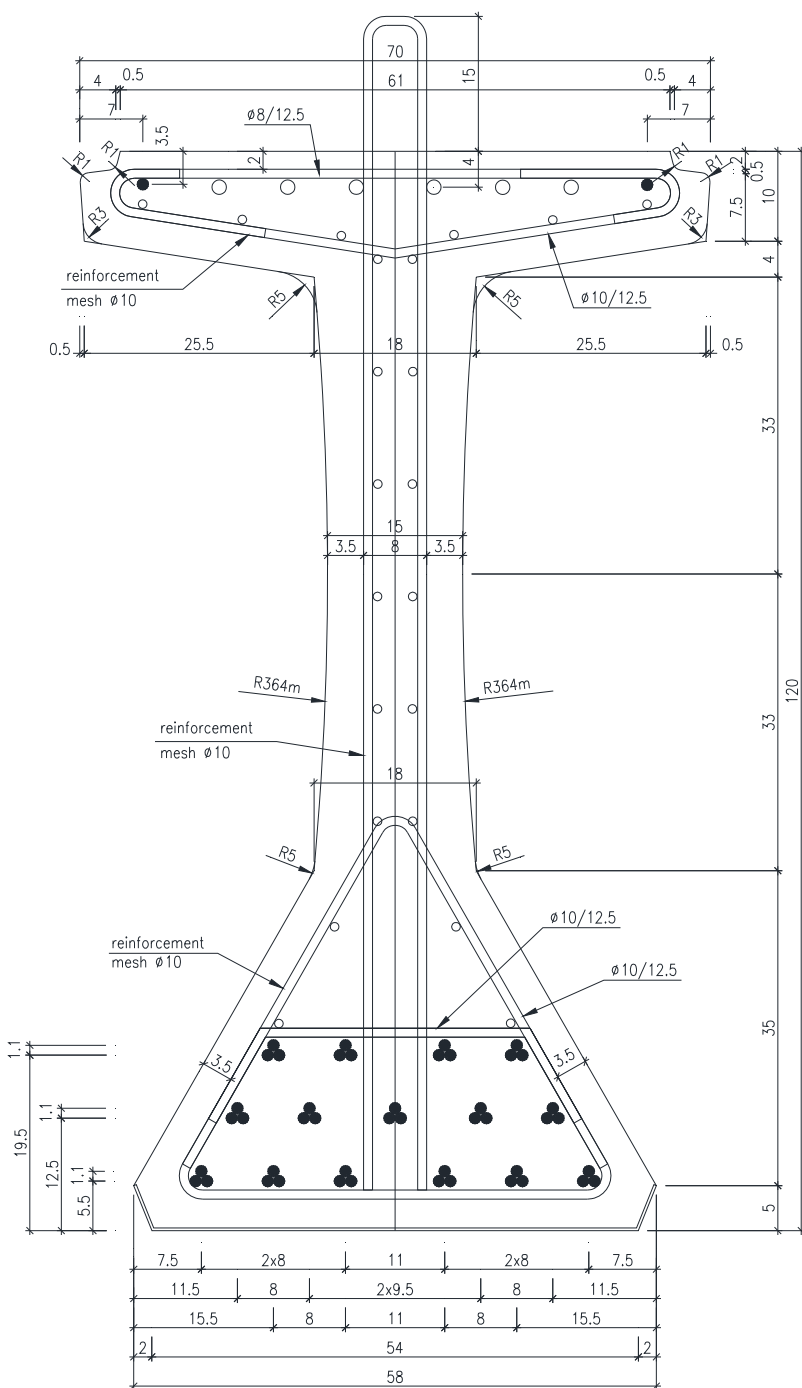
Ефективна ширина попречног пресека спретнуте конструкције:

$$\text{Дужина носача: } L_{at} = 21.80 \text{ m}$$

$$t_{comp.s} := \min(70\text{cm} + \min(6 \cdot t_{d,min}, 0.15 \cdot L_t), t_{prc.s}) = 0.800 \text{ m}$$

$$\text{Распон: } L_a = 22.10 \text{ m}$$

$$t_{comp.m} := \min(\min(6 \cdot t_{d,min}, 0.15 \cdot L_t) + 52\text{cm} + \min(6 \cdot t_{d,min}, 0.15 \cdot L_t), t_{prc.m}) = 0.900 \text{ m}$$

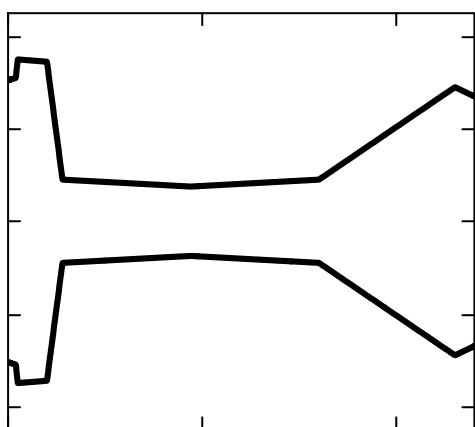


Геометрија попречног пресека греде:

305	310	350	345	90	75	90	290	270
0	20	25	100	140	470	800	1150	1200

Број греда:

$$n_{prc} = 10 \text{ pcs}$$



Површина попречног пресека:

$$A_1 = 3550.2 \cdot \text{cm}^2$$

Инерција греде:

$$I_1 = 6260617.5 \cdot \text{cm}^4$$

Тежиште греде мерено од врха попречног пресека:

$$y'_1 = 62.9 \cdot \text{cm}$$

Тежиште попречног пресека мерено од врха АБ плоче:

Статички момент греде на врху АБ плоче: $y_1 := y'_1 + t_d \cdot \text{min}$

$$S_1 = 223327.3 \cdot \text{cm}^3$$

$$y_1 = 82.9 \cdot \text{cm}$$

Горњи и доњи отпорни момент инерције:

Челик за преднапрезање у попречном пресеку: $W_{1f} = 99523.82 \cdot \text{cm}^3$ $W_{1a} = 109654.03 \cdot \text{cm}^3$

H	2	2	4	2	10	6	12
Y	35	995	1005	1065	1075	1135	1145

3.2. КАРАКТЕРИСТИКЕ БЕТОНА ЗА ПРЕДНАПРЕЗАЊЕ

Релативна влажност (споља): $RH := 80\%$

Прилагођена старост бетона као резултат технологије неге бетона: $t_T := 8 \text{ days}$

Претпостављена величина П.АБ. греде и АБ плоче: Фактор класе цемента:

$$A_{prc} := 0.352 \cdot \text{m}^2$$

$$u_{prc} := 4.13 \cdot \text{m}$$

(класа цемента N се разматра за даљи прорачун)

$$h_{0,prc} := 2 \cdot A_{prc} \div u_{prc} \quad h_{0,deck} := t_d \cdot \text{avg} \quad s_c := 0.20$$

Коефицијент за карактеристике развоја бетона у зависности од старости бетона:

$$\beta_{cc,p} := e^{s_c \cdot \left(1 - \sqrt{\frac{28}{t_T}} \right)} \quad \beta_{cc,p} = 0.84$$

Карактеристике бетона услед напрезања челика:

$$E_{cm,p} = 35.4 \cdot \frac{\text{kN}}{\text{mm}^2}$$

$$f_{cm,p} = 48.7 \cdot \frac{\text{N}}{\text{mm}^2}$$

$$f_{ck,p} = 40.7 \cdot \frac{\text{N}}{\text{mm}^2}$$

$$f_{ctm,p} = 3.4 \cdot \frac{\text{N}}{\text{mm}^2}$$

$$f_{ctk,p} = 2.4 \cdot \frac{\text{N}}{\text{mm}^2}$$

Граница напрезања бетона за привремене услове (нпр. напрезање каблова) означен је као $\phi_{ck}(\tau) \times k_6$ према EN 1992, где фактор k_6 може достићи вредност до 0.70 према препоруци истражника производиоца.

3.3. ПОЧЕТНА И ЕФЕКТИВНА ПРЕДНАПРЕЖУЋА СИЛА

Почетна преднапрежућа сила::

$$\sigma_{\text{ini}} := 1240 \frac{\text{N}}{\text{mm}^2} < \sigma_{\text{max}} := \min(0.8 \cdot f_{\text{pk}}, 0.9 \cdot f_{\text{p0.1k}})$$

$$\sigma_{\text{max}} = 1422 \cdot \frac{\text{N}}{\text{mm}^2}$$

Губитак услед температурне разлике (очвршћавање бетона):

$$\Delta T := 40 \text{ } ^\circ\text{C} \text{ (претпостављена вредност)} \quad \alpha_T := 10^{-5} \cdot \frac{1}{^\circ\text{C}}$$

$$\Delta \sigma_T := \Delta T \cdot \alpha_T \cdot E_p$$

$$\Delta \sigma_T = 78.0 \cdot \frac{\text{N}}{\text{mm}^2}$$

Губитак услед померања кабла:

$$\varepsilon_{\text{slip}} := 0.010\% \text{ (препорука произвођача)}$$

$$\Delta \sigma_{\text{slip}} := E_p \cdot \varepsilon_{\text{slip}}$$

$$\Delta \sigma_{\text{slip}} = 19.5 \cdot \frac{\text{N}}{\text{mm}^2}$$

Почетни губитак услед релаксације кабла:

$$\mu_{\text{ini}} := \sigma_{\text{ini}} \div f_{\text{pk}} \quad \rho_{1000} := 2.5 \text{ (\%)} \quad t_0 := 1 \text{ days}$$

(преднапрегнуто
стање)

Релаксација (Класа 2):

$$\Delta \sigma_{\text{pr.t0}} := \sigma_{\text{ini}} \cdot 0.66 \cdot \rho_{1000} \cdot e^{9.1 \cdot \mu_{\text{ini}} \cdot (0.024 \cdot t_0)^{0.75} \cdot (1 - \mu_{\text{ini}})} \cdot 10^{-5}$$

$$\Delta \sigma_{\text{pr.t0}} = 3.5 \cdot \frac{\text{N}}{\text{mm}^2}$$

Рачунски губитак услед еластичне деформације:

$$F_{0p} := \sigma_{\text{ini}} \cdot \sum n_p \cdot A_p \quad F_{0p} = 4382 \cdot \text{kN} \quad M_{0p} := F_{0p} \cdot (y_p - y_1) \quad M_{0p} = 1799.664 \cdot \text{kNm}$$

$$\Delta \sigma_{\text{el}} := \frac{0.5 \cdot E_p \cdot M_{0p}}{I_1 \cdot E_{\text{cm.p}}} \cdot (y_p - y_1)$$

$$\Delta \sigma_{\text{el}} = 32.5 \cdot \frac{\text{N}}{\text{mm}^2}$$

Ефективна преднапрежућа сила:

$$\sigma_{\text{eff}} := \sigma_{\text{ini}} - \Delta \sigma_T - \Delta \sigma_{\text{slip}} - \Delta \sigma_{\text{pr.t0}} - \Delta \sigma_{\text{el}}$$

$$\sigma_{\text{eff}} = 1106 \cdot \frac{\text{N}}{\text{mm}^2} < \sigma_{\text{max}} := \min(0.75 \cdot f_{\text{pk}}, 0.85 \cdot f_{\text{p0.1k}})$$

$$\sigma_{\text{max}} = 1343 \cdot \frac{\text{N}}{\text{mm}^2}$$

3.4. ГУБИТАК СИЛЕ ПРЕДНАПРЕЗАЊА ТОКОМ ВРЕМЕНА

Временско-зависини губитци преднапрезања су прорачуната за појединачне попречне пресеке у складу са датим једначинама у EN 1992

$$\Delta \sigma_{p,csr}(t) = \frac{\sigma_c \cdot QP \cdot \frac{E_p}{E_b} \cdot \phi(t, t_0) + E_p \cdot \varepsilon_{cs}(t)}{1 + \frac{E_p}{E_b} \cdot \frac{A_p}{A_c} \cdot \left(1 + \frac{A_c}{I_c} \cdot z_{cp}^2 \right) \cdot (1 + 0.8 \cdot \phi(t, t_0))}$$

Губитак од
релаксације
каблова:

$$t_1 := 100 \text{ days} \quad \Delta\sigma_{pr(t)} := \sigma_{ini} \cdot 0.66 \cdot \rho_{1000} \cdot e^{9.1 \cdot \mu_{ini}} \cdot (0.024 \cdot t)^{0.75 \cdot (1 - \mu_{ini})} \cdot 10^{-5}$$

(бетонирање АБ плоче)

$$\boxed{\Delta\sigma_{pr,t1} = 7.5 \cdot \frac{N}{mm^2}}$$

(завршна фаза)

$$\boxed{\Delta\sigma_{pr,t2} = 31.3 \cdot \frac{N}{mm^2}}$$

Вредности течења и скупљања бетона за бетонирање АБ плоче и завршне фазе:

$$\varepsilon_{t1} = 0.019\% \quad \varepsilon_{t2} = 0.029\% \quad \varepsilon_{deck} = 0.027\% \quad \phi_{t1} = 0.85 \quad \phi_{t2} = 1.52$$

3.5. ОДРЕЂИВАЊЕ КРАЈЊИХ ЗОНА И ДУЖИНЕ АНКЕРОВАЊА

Утицајни фактори за дужину сидрења:

$$\eta_{p1} := 3.20 \quad \text{кофицијент за врсту челика (за кабал од 3 и 7-нити)}$$

$$\eta_1 := 1.00 \quad \text{кофицијент у зависности са квалитетом пијањања ("добро" стање)}$$

$$\alpha_1 := 1.25 \quad \text{за нагло пуштање}$$

$$\alpha_2 := 0.19 \quad \text{за кабал од 3 и 7-нити}$$

Јачина везе за анкеровање у стању ULS:

$$f_{bpt} := \eta_{p1} \cdot \eta_1 \cdot f_{ctm,p} \quad \boxed{f_{bpt} = 10.9 \cdot \frac{N}{mm^2}}$$

$$l_{pt} := \alpha_1 \cdot \alpha_2 \cdot \phi_p \cdot \frac{\sigma_{eff}}{f_{bpt}} \quad \boxed{l_{pt} = 30.0 \cdot cm}$$

Рачунска вредност дужине анкеровања требала би да се усвоји као мања од две, зависно од прорачуна.

$$l_{pt,inf} := 0.80 \cdot l_{pt} \quad l_{pt,sup} := 1.20 \cdot l_{pt}$$

Претпоставља се да бетонска напрезања имају линеарну дистрибуцију изван дужине дисперзије.

$$l_{disp,inf}(h_{prc}) := \sqrt{l_{pt,inf}^2 + (0.90 \cdot h_{prc})^2} \quad l_{disp,sup}(h_t) := \sqrt{l_{pt,sup}^2 + (0.90 \cdot h_{prc})^2}$$

$$l_{disp,inf}(h_{prc}) = 1.106 \text{ m}$$

$$l_{disp,sup}(h_{prc}) = 1.138 \text{ m}$$

За контролне прегледе на крају носача (нпр. отпорност на смицање) напрезања ће се рачунати по већој вредности за дужину линеарне дистрибуције:

$$l_{disp,sup}(h_{prc}) = 1.138 \text{ m} \quad \sim \quad 0.85 \cdot (h_{prc} + t_{d,min}) = 1.190 \text{ m}$$

Додатно армирање у крајњој зони дато је у пројекту!

3.6. КОНТРОЛА КРАЈА ГРЕДНОГ НОСАЧА УСЛЕД ПРЕДНАПРЕЗАЊА КАБЛОВА И БЕТОНИРАЊА АБ ПЛОЧЕ

Позиција/одсек: $x_1 := l_{\text{disp.sup}}(h_{\text{prc}})$

Ефективна висина армирања:

$$d_{\text{eff}} := h_{\text{prc}} - 40\text{mm} = 1.160\text{m}$$

Арматура на крају носача: 2o16 + 2 кабла

$$A_{\text{reinf}} := 2 \cdot 2\text{cm}^2 + 2 \cdot A_p = 5.86 \cdot \text{cm}^2$$

3.6.1. УНУТРАШЊИ НАПОНИ

Од прве и друге половине сопствене тежине:

$$g_1 = 8.80 \cdot \frac{\text{kN}}{\text{m}}$$

$$M_{G1} = 103.5 \cdot \text{kNm}$$

$$g_2 = 5.40 \cdot \frac{\text{kN}}{\text{m}}$$

$$M_{G2} = 63.5 \cdot \text{kNm}$$

3.6.2. ПРОРАЧУН НАПОНА У БЕТОНУ

Карактеристична гранична стања употребљивости услед напрезања попречних пресека без пукотина (N/mm^2)

T0_STAGE =

"P"	$\sigma_{-3t0} = \begin{bmatrix} 5.121 \\ -1.040 \\ 4.081 \end{bmatrix}$	$\sigma_{-4t0} = \begin{bmatrix} -25.660 \\ 0.944 \\ -24.716 \end{bmatrix}$
"G1"		
"SUM"		

Попречни пресек са прслинама

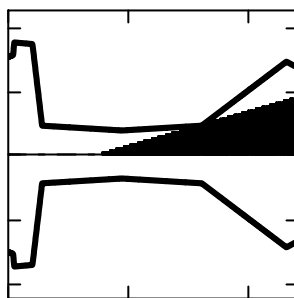
Положај неутралне осовине:

$$x_{\text{neut}} = 82.3 \cdot \text{cm}$$

Спољни момент савијања:

$$M_{\text{ext}} := -M_{G1} = -103 \cdot \text{kNm}$$

Напони у бетону:



Без прслина:

$$\sigma_{3t0.II} = 4.1 \cdot \frac{\text{N}}{\text{mm}^2}$$

Са прслинама:

$$\sigma_{3t0.II} = 0.0 \cdot \frac{\text{N}}{\text{mm}^2}$$

Релативно обртање услед момента савијања:

$$\kappa_{\text{neut}} = 0.00087 \frac{1}{\text{m}}$$

Напони у доњој половини попречног пресека:

$$\sigma_{4t0.II} = -24.7 \cdot \frac{\text{N}}{\text{mm}^2}$$

$$\sigma_{4t0.II} = -26.8 \cdot \frac{\text{N}}{\text{mm}^2}$$

$$0.7 \cdot f_{ck,p} = 28.5 \cdot \frac{\text{N}}{\text{mm}^2}$$

ЗАДОВОЉАВА!

Карактеристична гранична стања употребљивости услед напрезања попречних пресека без пукотина (N/mm^2)

T1_STAGE =

"P"	$\sigma_{-3t1} = \begin{bmatrix} 4.589 \\ -1.040 \\ -0.638 \\ 2.910 \end{bmatrix}$	$\sigma_{-4t1} = \begin{bmatrix} -22.990 \\ 0.944 \\ 0.782 \\ -21.264 \end{bmatrix}$
"G1"		
"G2"		
"SUM"		

Попречни пресек са прслинама

Положај неутралне осовине:

$$x_{\text{neut}} = 93.1 \cdot \text{cm}$$

Релативно обртање услед момента савијања:

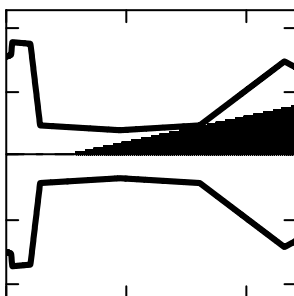
$$\kappa_{\text{neut}} = 0.00119 \frac{1}{\text{m}}$$

Напон у доњој половини попречног пресека:

Спољни момент савијања:

$$M_{\text{ext}} := -(M_{G1} + M_{G2}) = -167 \cdot \text{kNm}$$

Напон у бетону:



Без прслина:

$$\sigma_{3t1.II} = 0.0 \frac{\text{N}}{\text{mm}^2}$$

$$\sigma_{4t1.II} = -22.4 \frac{\text{N}}{\text{mm}^2}$$

$$0.6 \cdot f_{ck,prc} = 30.0 \frac{\text{N}}{\text{mm}^2}$$

Са прслинама:

$$\sigma_{3t1.II} = 0.0 \frac{\text{N}}{\text{mm}^2}$$

$$\sigma_{4t1.II} = -22.4 \frac{\text{N}}{\text{mm}^2}$$

ЗАДОВОЉАВА!

3.7. ПРОРАЧУН ГРЕДНОГ НОСАЧА ИZNАД ОСЛОНИЦА ЗА МАКС. ТРАНСВЕРЗАЛНУ СИЛУ

Општи средњи носач је прорачунат!

$$t_{\text{comp}} := t_{\text{comp.m}}$$

$$t_{\text{prc}} := t_{\text{prc.m}}$$

Позиција/одсек:

$$x_1 := l_{\text{disp.sup}}(h_{\text{prc}})$$

Особине српегнутог попречног пресека:

Површина попречног пресека:

$$A_5 = 5090 \cdot \text{cm}^2$$

Инерција греде:

$$I_5 = 12020877 \cdot \text{cm}^4$$

Тежиште греде мерено од горње површине плоче:

$$y_5 = 60.8 \cdot \text{cm}$$

Модул горњег и доњег попречног пресека на ивицама носача и плоче:

$$W_{5u} = 294276 \cdot \text{cm}^3 \quad W_{5l} = 151873 \cdot \text{cm}^3$$

$$W_{5u,d} = 230911 \cdot \text{cm}^3 \quad W_{5l,d} = 343967 \cdot \text{cm}^3$$

3.7.1. УНУТРАШЊЕ СИЛЕ

Од прве и друге половине сопствене тежине:

$$g_1 = 8.80 \frac{\text{kN}}{\text{m}}$$

$$M_{G1} = 103 \cdot \text{kNm}$$

$$V_{G1} = 86 \cdot \text{kN}$$

$$g_2 = 5.40 \frac{\text{kN}}{\text{m}}$$

$$M_{G2} = 64 \cdot \text{kNm}$$

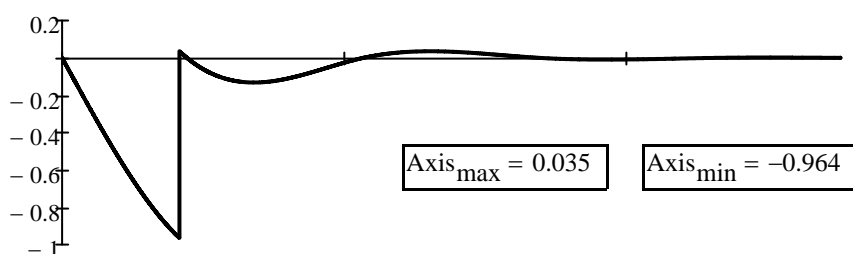
$$V_{G2} = 53 \cdot \text{kN}$$

Ефекти на континуалну суперструктуру

$$X := "V"$$

$$\text{Section} := L_a - (0.5 \cdot 40 \text{cm} + l_{\text{disp.sup}}(h_{\text{prc}}))$$

Дијаграм подручја:



$$T_{\text{sum}} = -12.986$$

$$T_{\text{pos}} = 0.734$$

$$T_{\text{neg}} = -13.720$$

Момент савијања од трећег дела сталних оптерећења:

$$V_{G3} := -T_{sum} \cdot g_3 \cdot m = 108 \cdot kN$$

Момент савијања од расподељених саобраћајних оптерећења:

$$V_{UDL} := -T_{neg} \cdot q_{UDL} \cdot t_{prc} \cdot m = 111 \cdot kN$$

Момент савијања од концетрисаних саобраћајних оптерећења:

$$V_{TS} := -Axis_{min} \cdot Q_{TS} = 241 \cdot kN$$

Макс. критична смичућа сила на греди

$$V_{Ed} := \gamma_G \cdot \xi \cdot (V_{G1} + V_{G2} + V_{G3}) \dots = 758 \cdot kN$$

$$+ \gamma_Q \cdot (V_{TS} + V_{UDL})$$

3.7.2. ПРОРАЧУН СМИЧУЋЕ ОТПОРНОСТИ

Особине смичуће површине

$b_w := 150 \text{ mm}$	$z_w := 0.90 \cdot d_{eff}$	$z_w = 1.044 \text{ m}$
-------------------------	-----------------------------	-------------------------

Осовинска сила од преднапрезања:

$$F_{3p} = 3183 \cdot kN$$

$$\sigma_{cp} := \frac{F_{3p}}{A_5} \quad \sigma_{cp} = 6.25 \cdot \frac{N}{mm^2}$$

Просечан напон притиска у попречном пресеку:

Смичућа отпорност бетонског попречног пресека без смичуће арматуре:

$$k := \max\left(2, 1 + \sqrt{\frac{200 \cdot \text{mm}}{z_w}}\right) \quad k = 2.000$$

$$k_1 := 0.15 \quad v_{min} := 0.035 \cdot k^{1.5} \cdot \left(\frac{f_{ck,prc} \cdot \text{mm}^2}{N}\right)^{0.5} \quad v_{min} = 0.700$$

$$V_{Rd,c} := \left(v_{min} \cdot \frac{N}{mm^2} + k_1 \cdot \sigma_{cp}\right) \cdot b_w \cdot z_w \quad V_{Rd,c} = 256.488 \cdot kN$$

Кофицијент за узимање у обзир стање напона у преднапрегнутом каблу:

$$\alpha_{cp} := \begin{cases} 1 & \text{if } \sigma_{cp} \leq 0 \\ \left(1 + \frac{\sigma_{cp}}{f_{cd,prc}}\right) & \text{if } 0 < \sigma_{cp} \leq 0.25 \cdot f_{cd,prc} \\ 1.25 & \text{if } 0.25 \cdot f_{cd,prc} < \sigma_{cp} \leq 0.50 \cdot f_{cd,prc} \\ 2.5 \cdot \left(1 - \frac{\sigma_{cp}}{f_{cd,prc}}\right) & \text{if } 0.50 \cdot f_{cd,prc} < \sigma_{cp} \leq f_{cd,prc} \end{cases} \quad \alpha_{cp} = 1.221$$

Угао између бетонске потпорне опруге и осе греде управне на силу смицања:

$$\theta := \text{acot} \left(\max \left(1.0, \text{if} \left(\frac{V_{Rd.c}}{V_{Ed}} < 0.52 + 0.56 \cdot \frac{\sigma_{cp}}{f_{cd.prc}}, \frac{1.2 - 1.4 \cdot \frac{\sigma_{cp}}{f_{cd.prc}}}{1 - \frac{V_{Rd.c}}{V_{Ed}}}, 2.5 \right) \right) \right) \cot(\theta) = 1.347 < 2.50$$

Фактор редуковања притиска:

(под претпоставком да је смичуће ојачање изнад 80% напона течења)

$$v := 0.60 \cdot \left(1 - \frac{f_{ck.prc}}{250} \cdot \frac{mm^2}{N} \right) \quad v = 0.480$$

Смичућа арматура:

Армирана мрежа по греди:

$$n_w := 2 \cdot db$$

$$\phi_w := 10 \cdot mm$$

$$t_w := 125 \cdot mm$$

$$\alpha_w := 90^\circ$$

Додатно армирање на крају носача:

$$n_a := 2 \cdot db$$

$$\phi_a := 10 \cdot mm$$

$$t_a := 250 \cdot mm$$

$$\alpha_a := 90^\circ$$

Максималан ефекат смичућег ојачања:

$$A_{sw.eff} := 0.5 \cdot \alpha_{cp} \cdot v \cdot f_{cd.prc} \cdot \frac{b_w}{f_{s.yd}} = 28.6 \cdot \frac{cm^2}{m} \quad \text{СУИТАБЛЕ!} \quad A_{cw.eff} > A_{cw}$$

$$A_{sw} := \frac{n_w \cdot \phi_w^2 \cdot \sin(\alpha_w) \cdot \pi}{4 \cdot t_w} + \frac{n_a \cdot \phi_a^2 \cdot \sin(\alpha_a) \cdot \pi}{4 \cdot t_a} = 18.8 \cdot \frac{cm^2}{m}$$

Макс. доступан смичући оптор:

$$V_{Rd.max} := \alpha_{cp} \cdot b_w \cdot z_w \cdot v \cdot f_{cd} \cdot \frac{\cot(\theta)}{1 + \cot(\theta)}$$

$$V_{Ed} = 758 \cdot kN$$

<

$$V_{Rd.max} = 1193 \cdot kN$$

ЗАДОВОЉАВА!

Стварни смичући отпор:

$$V_{Rd.s} := \frac{n_w \cdot \phi_w^2 \cdot \pi}{4 \cdot t_w} \cdot z_w \cdot f_{s.yd} \cdot (\cot(\theta) + \cot(\alpha_w)) \cdot \sin(\alpha_w) + \frac{n_a \cdot \phi_a^2 \cdot \pi}{4 \cdot t_a} \cdot z_w \cdot f_{s.yd} \cdot (\cot(\theta) + \cot(\alpha_a)) \cdot \sin(\alpha_a)$$

$$V_{Rd.s} = 1152 \cdot kN$$

>

$$V_{Ed} = 758.3 \cdot kN$$

ЗАДОВОЉАВА!

3.8. ПРОРАЧУН ГРЕДНОГ НОСАЧА У СРЕДЊЕМ ДЕЛУ ЗА МАКС. МОМЕНТ САВИЈАЊА

Општи средњи носач је прорачунат!

$$t_{comp} := t_{comp.m}$$

$$t_{prc} := t_{prc.m}$$

Позиција/одсек:

$$x_1 := 0.5 \cdot L_a$$

Особине спрегнутог попречног пресека:

Површина поп.
пресека:

$$A_5 = 5090 \cdot \text{cm}^2$$

Инерција греде:

$$I_5 = 12020877 \cdot \text{cm}^4$$

Тежиште греде мерено од
горње површине плоче:

$$y_5 = 60.8 \cdot \text{cm}$$

Модул горњег и доњег попречног
пресека на ивицама носача и плоче:

$$W_{5u} = 294276 \cdot \text{cm}^3 \quad W_{5l} = 151873 \cdot \text{cm}^3$$

$$W_{5u,d} = 230911 \cdot \text{cm}^3 \quad W_{5l,d} = 343967 \cdot \text{cm}^3$$

Унутрашње силе од спреченог скупљања:

$$N_\varepsilon = -430 \cdot \text{kN}$$

$$M_\varepsilon = -218 \cdot \text{kNm}$$

3.8.1. УНУТРАШЊИ НАПОНИ

Од прве и друге половине сопствене тежине:

$$g_1 = 8.80 \cdot \frac{\text{kN}}{\text{m}}$$

$$M_{G1} = 523 \cdot \text{kNm}$$

$$g_2 = 5.40 \cdot \frac{\text{kN}}{\text{m}}$$

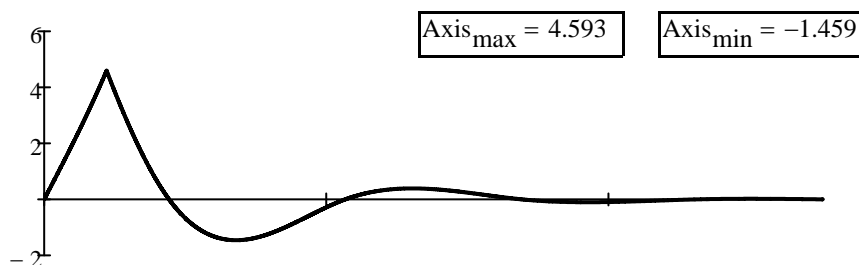
$$M_{G2} = 321 \cdot \text{kNm}$$

Ефекти на континуалну суперструктуру

$$X := "M"$$

$$\text{Section} := 0.5 \cdot L_a$$

Дијаграм подручја:



$$T_{\text{sum}} = 24.911$$

$$T_{\text{pos}} = 55.173$$

$$T_{\text{neg}} = -30.262$$

Моменти савијања од трећег дела сталних оптерећења:

$$M_{G3} := T_{\text{sum}} \cdot g_3 \cdot m^2 = 207 \cdot \text{kNm}$$

Момент савијања од расподељених саобраћајних оптерећења:

$$M_{UDL} := T_{\text{pos}} \cdot q_{UDL} \cdot t_{\text{prc}} \cdot m^2 = 447 \cdot \text{kNm}$$

Момент савијања од концетрисаних саобраћајних оптерећења:

$$M_{TS} := \text{Axis}_{\text{max}} \cdot Q_{TS} \cdot m = 1148 \cdot \text{kNm}$$

Максимални критични момент савијања на греди:

$$M_{Ed} := \gamma_G \cdot \xi \cdot (M_{G1} + M_{G2} + M_{G3}) \dots = 3359 \cdot \text{kNm} \quad M_{freq} := M_{G1} + M_{G2} + M_{G3} \dots = 2090 \cdot \text{kNm}$$

$$+ \gamma_Q \cdot (M_{TS} + M_{UDL}) \quad + \psi_1 \cdot T_{\text{sum}} \cdot M_{TS} + \psi_1 \cdot UDL \cdot M_{UDL}$$

$$M_{kar} := M_{G1} + M_{G2} + M_{G3} \dots = 2646 \cdot \text{kNm}$$

$$+ M_{TS} + M_{UDL}$$

$$M_{qp} := M_{G1} + M_{G2} + M_{G3} \dots = 1050 \cdot \text{kNm}$$

$$+ \psi_2 \cdot T_{\text{sum}} \cdot M_{TS} + \psi_2 \cdot UDL \cdot M_{UDL}$$

3.8.2. ПРОРАЧУН НАПОНА У БЕТОНУ

Каррактеристична гранична стања употребљивости услед напрезања попречних пресека без пукотина (N/mm^2)

T1_STAGE =

"P"	4.637
"G1"	-5.253
"G2"	-3.223
"SUM"	-3.839

σ_{-3t1} =	-23.231
	4.767
	2.925
	-15.539

Каррактеристична гранична стања употребљивости услед напрезања попречних пресека без пукотина (N/mm^2)

T2_STAGE =

"P"	0.000	0.000	4.367	-21.880
"G1"	0.000	0.000	-5.253	4.767
"G2"	0.000	0.000	-3.223	2.925
"G3"	-0.896	-0.601	-0.703	1.362
" ε "	0.719	1.030	-1.586	0.594
"TS"	-4.972	-3.338	-3.902	7.560
"UDL"	-1.935	-1.299	-1.519	2.943
"SUM"	-7.085	-4.209	-11.819	-1.727

$$\sigma_4k = -1.7 \cdot \frac{N}{mm^2} < f_{ctm,prc} = 4.1 \cdot \frac{N}{mm^2}$$

Прорачун пресека
није потребан!

$$\sigma_3k = -11.8 \cdot \frac{N}{mm^2} < 0.6 \cdot f_{ck,prc} = 30 \cdot \frac{N}{mm^2}$$

Подужне пукотине
се не би појавиле!

Границно стање употребљивости за квази-сталне напоне на попречним пресецима без пукотина (N/mm^2)

T2_STAGE =

"P"	0.000	0.000	4.367	-21.880
"G1"	0.000	0.000	-5.253	4.767
"G2"	0.000	0.000	-3.223	2.925
"G3"	-0.896	-0.601	-0.703	1.362
" ε "	0.719	1.030	-1.586	0.594
"TS"	0.000	0.000	0.000	0.000
"UDL"	0.000	0.000	0.000	0.000
"SUM"	-0.177	0.428	-6.398	-12.230

$$\sigma_4q = -12.2 \cdot \frac{N}{mm^2} \quad \text{ИСПУЊЕН УСЛОВ ДЕКОМПРЕСИЈЕ!}$$

$$\sigma_3q = -6.4 \cdot \frac{N}{mm^2} < f_{ck,prc} \cdot 0.45 = 22.5 \cdot \frac{N}{mm^2}$$

Претпостављено
линеарно течење!

3.8.3. ПРОРАЧУН ГРАНИЧНОГ МОМЕНТА САВИЈАЊА

Прорачун је заснован на теорији Е. Морсцх. Позиција неутралне осе израчуната је из претпоставке о равнотежи нормалних векторских сила.

Нормално ојачање П.АБ. носача занемарена је ради сигурности.

- Позиција неутралне осе: - Напон у кабловима: - Напрезање у бетону:

$$x_{\text{neut}} = 29.7 \cdot \text{cm}$$

$$F_p = 4769 \cdot \text{kN}$$

$$F_c = 4768 \cdot \text{kN}$$

- Релативно обртање услед граничног стања носивости: - Позиција затезне силе мерено од врха плоче: - Позиција силе притиска мерено од врха плоче:

$$\kappa = 0.01179 \frac{1}{\text{m}}$$

$$s_t = 125.9 \cdot \text{cm}$$

$$s_c = 11.7 \cdot \text{cm}$$

- Напони у кабловима дуж пресека:

$$\sigma_p^T = \left[\begin{array}{ccccccc} 89 & 138 & 138 & 138 & 138 & 138 & 138 \end{array} \right] \cdot \frac{\text{kN}}{\text{cm}^2}$$

- Гранични момент савијања: $M_{Rd} = 5443 \cdot \text{kNm}$

- Фактор сигурности за гранично стање носивости: $n_{\text{crit}} = 1.62 > 1.0$ **ЗАДОВОЉАВА!**

3.9. ПРОРАЧУН ГРЕДНОГ НОСАЧА ИЗНАД ОСЛОНИЦА ЗА МИН. МОМЕНТ САВИЈАЊА

Општи средњи носач је прорачунат!

$$t_{comp} := t_{comp.m}$$

$$t_{prc} := t_{prc.m}$$

Максималне вредности за упоредни момент савијања мерене су на ивицама носача док су моменти савијања за прорачун нормалних наопона мерене на крају носача дуж линеарне дистрибуције.

Позиција/одсек:

$$x'_1 := 40\text{cm}$$

$$x_1 := l_{disp.inf}(h_{prc})$$

Карактеристике спрегнутог попречног

Површина поп. пресека:

$$A_5 = 5090 \cdot \text{cm}^2$$

Тежиште греде мерено од горње површине плоче:

$$y_5 = 60.8 \cdot \text{cm}$$

Модул горњег и доњег попречног пресека на ивицама носача и плоче:

$$W_{5u} = 294276 \cdot \text{cm}^3 \quad W_{5l} = 151873 \cdot \text{cm}^3$$

Инерција греде:

$$I_5 = 12020877 \cdot \text{cm}^4$$

$$W_{5u.d} = 230911 \cdot \text{cm}^3 \quad W_{5l.d} = 343967 \cdot \text{cm}^3$$

Унутрашње силе од спреченог скупљања:

$$N_\varepsilon = -430 \cdot \text{kN}$$

$$M_\varepsilon = -218 \cdot \text{kNm}$$

Подужно ојачање бетонске плоче изнад ослонаца:

горњи: o12/200+o20/400+o25/400
доњи: o12/200+o20/400+o25/400

Ефективна висина ојачања:

$$d_{eff} := h_{prc} + 0.5 \cdot t_{d,min} = 1.300 \text{ m}$$

$$A_{reinf} := (25.78 + 25.78) \frac{\text{cm}^2}{\text{m}} \cdot t_{comp}$$

3.9.1. УНУТРАШЊЕ СИЛЕ

Од прве и друге половине сопствене тежине:

$$g_1 = 8.80 \cdot \frac{\text{kN}}{\text{m}}$$

$$M_{G1} = 101 \cdot \text{kNm}$$

$$g_2 = 5.40 \cdot \frac{\text{kN}}{\text{m}}$$

$$M_{G2} = 62 \cdot \text{kNm}$$

$$M'_{G1} = 38 \cdot \text{kNm}$$

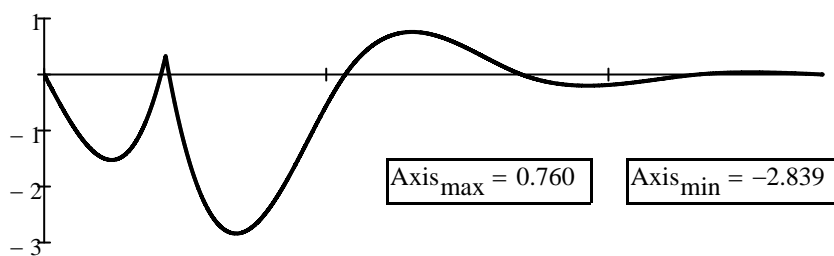
$$M'_{G2} = 23 \cdot \text{kNm}$$

Утицаји на континуалну суперструктуру

$$X := "M"$$

$$\text{Section} := 22.10\text{m} - (0.5 \cdot 40\text{cm} + 40\text{cm})$$

Дијаграм подручја:



$$T_{sum} = -63.869$$

$$T_{pos} = 15.517$$

$$T_{neg} = -79.386$$

Моменти савијања од трећег дела сталних оптерећења:

$$M'_{G3} := T_{sum} \cdot g_3 \cdot m^2 = -530 \cdot \text{kNm}$$

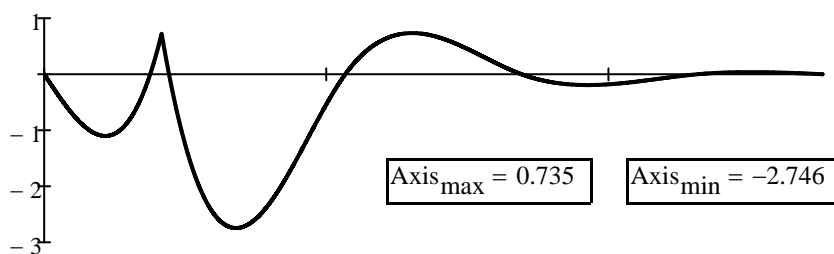
Момент савијања од расподељених саобраћајних оптерећења:

$$M'_{UDL} := T_{neg} \cdot q_{UDL} \cdot t_{prc} \cdot m^2 = -643 \cdot \text{kNm}$$

Момент савијања од концетрисаних саобраћајних оптерећења:

$$M'_{TS} := Axis_{min} \cdot Q_{TS} \cdot m = -710 \cdot \text{kNm}$$

$X := "M"$	$Section := 22.10m - (0.5 \cdot 40\text{cm} + l_{disp.inf}(h_{prc}))$
------------	---



Дијаграм подручја:

$$T_{sum} = -54.427$$

$$T_{pos} = 15.946$$

$$T_{neg} = -70.373$$

Моменти савијања од трећег дела сталних оптерећења:

$$M'_{G3} := T_{sum} \cdot g_3 \cdot m^2 = -452 \cdot \text{kNm}$$

Момент савијања од расподељених саобраћајних оптерећења:

$$M'_{UDL} := T_{neg} \cdot q_{UDL} \cdot t_{prc} \cdot m^2 = -570 \cdot \text{kNm}$$

Момент савијања од концетрисаних саобраћајних оптерећења:

$$M'_{TS} := Axis_{min} \cdot Q_{TS} \cdot m = -686 \cdot \text{kNm}$$

Максимални критични момент савијања на греди:

$$M'_{Ed} := \gamma_G \cdot \xi \cdot (M'_{G1} + M'_{G2} + M'_{G3}) \dots = -2365 \cdot \text{kNm}$$

$$+ \gamma_Q \cdot (M'_{TS} + M'_{UDL})$$

$$M'_{kar} := M'_{G1} + M'_{G2} + M'_{G3} \dots = -1546 \cdot \text{kNm}$$

$$+ M'_{TS} + M'_{UDL}$$

$$M'_{freq} := M'_{G1} + M'_{G2} + M'_{G3} \dots = -1032 \cdot \text{kNm}$$

$$+ \psi_{1.TS} \cdot M'_{TS} + \psi_{1.UDL} \cdot M'_{UDL}$$

$$M'_{qp} := M'_{G1} + M'_{G2} + M'_{G3} \dots = -289 \cdot \text{kNm}$$

$$+ \psi_{2.TS} \cdot M'_{TS} + \psi_{2.UDL} \cdot M'_{UDL}$$

3.9.2. ПРОРАЧУН НАПОНА У БЕТООНУ

Карактеристична гранична стања употребљивости услед напрезања попречних пресека без пукотина (N/mm^2)

T1_STAGE =

"P"	4.637	-23.231
"G1"	-5.253	4.767
"G2"	-3.223	2.925
"SUM"	-3.839	-15.539

Карактеристична гранична стања употребљивости услед напрезања попречних пресека без пукотина (N/mm^2)

T2_STAGE =

"P"	0.000	0.000	4.097	-20.527
"G1"	0.000	0.000	-1.012	0.919
"G2"	0.000	0.000	-0.621	0.564
"G3"	1.958	1.314	1.536	-2.976
" ε "	0.719	1.030	-1.586	0.594
"TS"	2.973	1.996	2.333	-4.520
"UDL"	2.469	1.657	1.937	-3.753
"SUM"	8.118	5.997	6.683	-29.700

$$\sigma_1_k = 8.1 \cdot \frac{N}{mm^2}$$

>

$$f_{ctm.deck} = 3.5 \cdot \frac{N}{mm^2}$$

**Попречни пресек са
пукотина се мора
прорачунати!**

$$\sigma_4_k = -29.7 \cdot \frac{N}{mm^2}$$

<

$$0.6 \cdot f_{ck.prc} = 30 \cdot \frac{N}{mm^2}$$

**Подужне пукотине
се не би појавиле!**

**Границно стање употребљивости за квази-сталне напоне на
попречним пресецима без пукотина (N/mm^2)**

T2_STAGE =

"P"	0.000	0.000	4.097	-20.527
"G1"	0.000	0.000	-1.012	0.919
"G2"	0.000	0.000	-0.621	0.564
"G3"	1.958	1.314	1.536	-2.976
" ε "	0.719	1.030	-1.586	0.594
"TS"	0.000	0.000	0.000	0.000
"UDL"	0.000	0.000	0.000	0.000
"SUM"	2.676	2.344	2.413	-21.426

$$\sigma_4_q = -21.4 \cdot \frac{N}{mm^2}$$

<

$$f_{ck.prc} \cdot 0.45 = 22.5 \cdot \frac{N}{mm^2}$$

**Претпоставља се
линеарно течење!**

$$\sigma_1_q = 2.7 \cdot \frac{N}{mm^2}$$

<

$$f_{ctm.deck} = 3.5 \cdot \frac{N}{mm^2}$$

**Провера пукотина
је непотребна!**

Попречни пресек са пукотинама

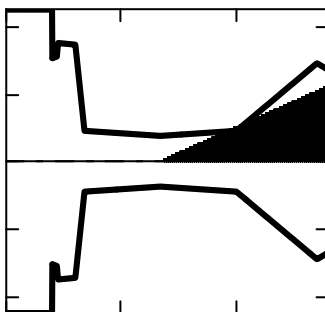
Спољашњи момент
савијања:

$$M_{ext} := M_{kar}$$

Позиција неутралне осе:

$$x_{neut} = 72.781 \cdot \text{cm}$$

Напони у бетону:



Са прслинама:

$$\sigma_{1k.II} = 0.0 \cdot \frac{\text{N}}{\text{mm}^2}$$

Без прслина:

$$\sigma_{1k.II} = 0.0 \cdot \frac{\text{N}}{\text{mm}^2}$$

Релативно обртање услед
момента савијања:

$$\kappa_{neut} = 0.00268 \frac{1}{\text{m}}$$

Макс. напон у арматури (карактеристично за SLS):

$$\sigma_{s,k} := -\kappa_{neut} \cdot (x_{neut} - h_{prc} - 0.5 \cdot t_{d,min}) \cdot E_s$$

$$\sigma_{2k} = 6.0 \cdot \frac{\text{N}}{\text{mm}^2}$$

$$\sigma_{3k} = 6.7 \cdot \frac{\text{N}}{\text{mm}^2}$$

$$\sigma_{4k} = -29.7 \cdot \frac{\text{N}}{\text{mm}^2}$$

$$\sigma_{2k.II} = 0.0 \cdot \frac{\text{N}}{\text{mm}^2}$$

$$\sigma_{3k.II} = 0.0 \cdot \frac{\text{N}}{\text{mm}^2}$$

$$\sigma_{4k.II} = -33.2 \cdot \frac{\text{N}}{\text{mm}^2}$$

$$\sigma_{s,k} = 306.8 \cdot \frac{\text{N}}{\text{mm}^2}$$

<

$$0.8 \cdot f_{s,yd} = 347.8 \cdot \frac{\text{N}}{\text{mm}^2}$$

ЗАДОВОЉАВА!

$$\sigma_{4k.II} = -33.2 \cdot \frac{\text{N}}{\text{mm}^2}$$

>

$$0.6 \cdot f_{ck,prc} = 30 \cdot \frac{\text{N}}{\text{mm}^2}$$

**Потребна попречна арматура како
би се избегао губитак трајности
услед настанка могућих пукотина!**

3.9.3. ПРОРАЧУН МЕРОДАВНОГ МОМЕНТА САВИЈАЊА

Прорачун се заснива на занемаривању каблова за преднапрезање попречног пресека, неутрална оса је прорачуната из претпоставке о равнотежи вертикалних сила.

- Затезање у
арматури:

$$F_r = 2018 \cdot \text{kN}$$

- Притисак у
бетону:

$$F_c = 2018 \cdot \text{kN}$$

- Позиција
неутралне:

$$x_{neut} = 16.4 \cdot \text{cm}$$

- Релативно обртање услед
границног стања носивости:

$$\kappa = 0.02138 \frac{1}{\text{m}}$$

- Релативно обртање услед
границног стања носивости:

$$d_{eff} = 130.0 \cdot \text{cm}$$

- Положај напона притиска од
доње стране носача:

$$s_c = 6.4 \cdot \text{cm}$$

- Отпорни момент савијања:

$$M_{Rd} = 2493 \cdot \text{kNm}$$

- Фактор сигурности за гранично
стање носивости:

$$n_{crit} = 1.05 > 1.0$$

ЗАДОВОЉАВА!

3.10. ВРЕДНОСТИ УГИБА И ДЕФОРМАЦИЈА (ПРОЦЕНА)

Општи средњи носач је прорачунат!

$$t_{comp} := t_{comp.m}$$

$$t_{prc} := t_{prc.m}$$

Унутрашњи напони на средини распона

$$M_{G1.mid} = 522.764 \cdot kNm \quad M_{G3.mid} = 206.886 \cdot kNm \quad M_{UDL.mid} = 446.901 \cdot kNm$$

$$M_{G2.mid} = 320.787 \cdot kNm \quad M_{TS.mid} = 1148.197 \cdot kNm$$

Карактеристике спрегнутог попречног пресека

Површина поп. пресека:

$$A_5 = 5090 \cdot cm^2$$

Тежиште греде мерено од горње површине плоче:

$$y_5 = 60.8 \cdot cm$$

Модул горњег и доњег попречног пресека на ивицама носача и плоче:

$$W_{5u} = 294276 \cdot cm^3 \quad W_{5l} = 151873 \cdot cm^3$$

Инерција греде:

$$I_5 = 12020877 \cdot cm^4$$

$$W_{5u.d} = 230911 \cdot cm^3 \quad W_{5l.d} = 343967 \cdot cm^3$$

Еластични модул за

Преднапрезање:

$$E_{cm,p} = 35 \cdot \frac{kN}{mm^2}$$

Додатну деформацију (t1):

$$E_{c,t1} := \frac{E_{cm}}{\phi_{t1}} = 44 \cdot \frac{kN}{mm^2}$$

Додатну деформацију (t2):

$$E_{c,t2} := \frac{E_{cm}}{\phi_{t2} - \phi_{t1}} = 55 \cdot \frac{kN}{mm^2}$$

Моменти савијања за преднапрезање

Напони преднапрезања:

$$\sigma_{eff} = 1106 \cdot \frac{N}{mm^2}$$

$$\Delta\sigma_{p.csr.t1.mid} = 105 \cdot \frac{N}{mm^2}$$

$$\Delta\sigma_{p.csr.t2.mid} = 163 \cdot \frac{N}{mm^2}$$

Напони преднапрезања:

$$F_{1p.mid} = 3910 \cdot kN$$

$$F_{2p.mid} = 3540 \cdot kN$$

$$F_{3p.mid} = 3334 \cdot kN$$

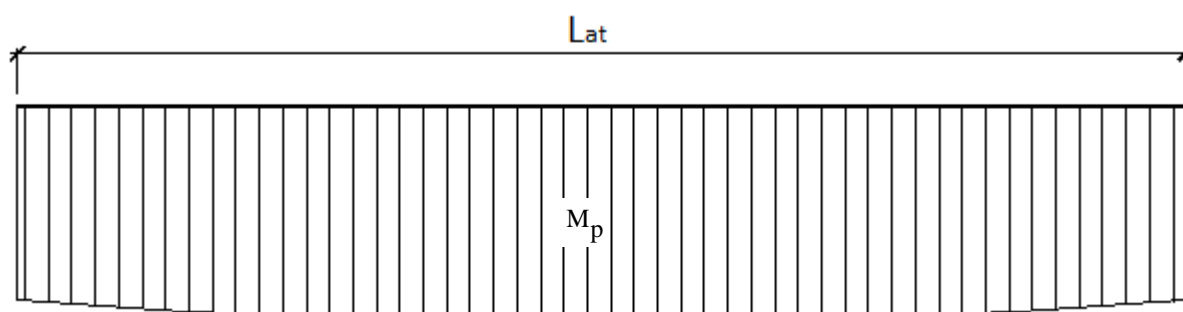
Моменти савијања од преднапрезања:

$$M_{1p.mid} = 1606 \cdot kNm$$

$$M_{2p.mid} = 1454 \cdot kNm$$

$$M_{3p.mid} = 1369 \cdot kNm$$

Момент савијања од преднапрезања се претпоставља да је линеарна по носачу за прорачун угиба.



Деформације услед преднапрезања

Угиб од ефективне силе напрезања (t0)

$$\Delta e_p := \frac{-M_{1p.mid} \cdot L_{at}^2}{8 \cdot E_{cm,p} \cdot I_1} \quad \Delta e_p = -43.1 \cdot \text{mm}$$

$$\Delta e_0 := \Delta e_p + \Delta e_{g1}$$

$$\boxed{\Delta e_0 = -31.9 \cdot \text{mm}}$$

Угиб од DL1 (t0)

$$\Delta e_{g1} := \frac{M_{G1.mid} \cdot L_{at}^2}{10 \cdot E_{cm,p} \cdot I_1} \quad \Delta e_{g1} = 11.2 \cdot \text{mm}$$

Деформација у фази t1 (пре бетонирања АБ плоче)

Додатан угиб од преднапрезања (t1)

$$\Delta e_{p'} := \frac{-M_{2p.mid} \cdot L_{at}^2}{8 \cdot E_{c,t1} \cdot I_1} \quad \Delta e_{p'} = -31.4 \cdot \text{mm}$$

$$\Delta e_1 := \Delta e_p + \Delta e_{p'} + \Delta e_{g1} + \Delta e_{g1'}$$

Додатан угиб од DL1 (t1)

$$\Delta e_{g1'} := \frac{M_{G1.mid} \cdot L_{at}^2}{10 \cdot E_{c,t1} \cdot I_1} \quad \Delta e_{g1'} = 9 \cdot \text{mm}$$

$$\boxed{\Delta e_1 = -54.2 \cdot \text{mm}}$$

Деформација у фази t1 (након бетонирања АБ плоче)

Деформација од DL2

$$\Delta e_{g2} := \frac{M_{G2.mid} \cdot L_{at}^2}{10 \cdot E_{cm} \cdot I_1} \quad \Delta e_{g2} = 6.5 \cdot \text{mm}$$

$$\Delta e_2 := \Delta e_p + \Delta e_{p'} + \Delta e_{g1} + \Delta e_{g1'} + \Delta e_{g2}$$

$$\boxed{\Delta e_2 = -47.7 \cdot \text{mm}}$$

Деформација у фази t2

Вредности од свих напрезања су прорачуната на простој греди ради сигурности.

Додатни угиб од преднапрезања (t2)

$$\Delta e_{p''} := \frac{-M_{3p.mid} \cdot L_{at}^2}{8 \cdot E_{c,t2} \cdot I_5} \quad \Delta e_{p''} = -12.2 \cdot \text{mm}$$

Додатна деформација од DL2 (t2)

$$\Delta e_{g2'} := \frac{M_{G2.mid} \cdot L_{at}^2}{10 \cdot E_{c,t2} \cdot I_5} \quad \Delta e_{g2'} = 2.3 \cdot \text{mm}$$

Додатни угиб од DL1 (t2)

$$\Delta e_{g1''} := \frac{M_{G1.mid} \cdot L_{at}^2}{10 \cdot E_{c,t2} \cdot I_5} \quad \Delta e_{g1''} = 3.7 \cdot \text{mm}$$

Деформација од DL3 (t2)

$$\Delta e_{g3} := \frac{M_{G3.mid} \cdot L_{at}^2}{10 \cdot E_{c,eff,prc} \cdot I_5} \quad \Delta e_{g3} = 4.8 \cdot \text{mm}$$

$$\Delta e_3 := \Delta e_p + \Delta e_{p'} + \Delta e_{p''} + \Delta e_{g1} + \Delta e_{g1'} + \Delta e_{g1''} + \Delta e_{g2} + \Delta e_{g2'} + \Delta e_{g3}$$

$$\boxed{\Delta e_3 = -49.0 \cdot \text{mm}}$$

Деформација од саобраћајних оптерећења

$$\Delta e_{UDL} := \frac{M_{UDL,mid} \cdot L_{at}^2}{10 \cdot E_{cm,prc} \cdot I_5} \quad \Delta e_{UDL} = 4.7 \cdot \text{mm}$$

$$\boxed{\Delta e_{LM1} := \Delta e_{UDL} + \Delta e_{TS} = 17 \cdot \text{mm}}$$

$$\Delta e_{TS} := \frac{M_{TS,mid} \cdot L_{at}^2}{10 \cdot E_{cm,prc} \cdot I_5} \quad \Delta e_{TS} = 12.2 \cdot \text{mm}$$

<

$$\frac{L_{at}}{400} = 55 \cdot \text{mm}$$

ЗАДОВОЉАВА!

4. ПРОРАЧУН П.АБ. НОСАЧА L = 30.80

4.1. ГЕОМЕТРИЈСКЕ КАРАКТЕРИСТИКЕ

Размак греда:

$$t_{prc.m} = 0.900 \text{ m}$$

$$t_{prc.s} := 0.5 \cdot (t_{prc.m} + 70\text{cm})$$

Предодређена мин. и средња дебљина плоче:

$$t_{d,min} := 20\text{cm}$$

$$t_{d,avg} = 24\text{-cm}$$

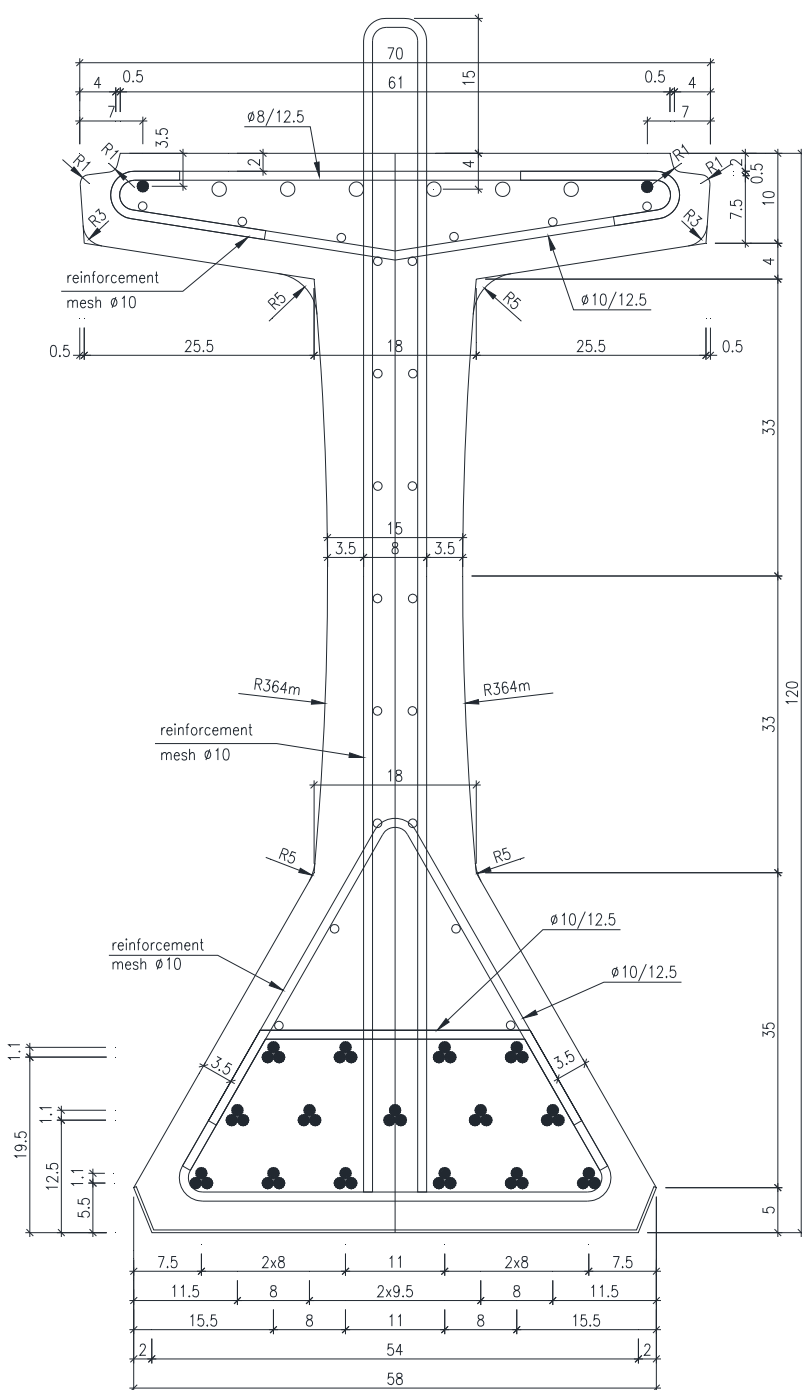
Ефективна ширина попречног пресека спретнуте конструкције:

Дужина носача: $L_{at} = 30.80 \text{ m}$

$$t_{comp.s} := \min(70\text{cm} + \min(6 \cdot t_{d,min}, 0.15 \cdot L_t), t_{prc.s}) = 0.800 \text{ m}$$

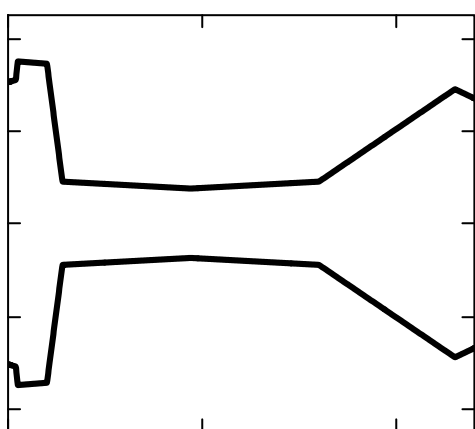
Распон: $L_a = 31.20 \text{ m}$

$$t_{comp.m} := \min(\min(6 \cdot t_{d,min}, 0.15 \cdot L_t) + 52\text{cm} + \min(6 \cdot t_{d,min}, 0.15 \cdot L_t), t_{prc.m}) = 0.900 \text{ m}$$



Геометрија попречног пресека греде:

305	310	350	345	90	75	90	290	270
0	20	25	100	140	470	800	1150	1200



Површина попречног пресека:

$$A_1 = 3550.2 \cdot \text{cm}^2$$

Инерција греде:

$$I_1 = 6260275.1 \cdot \text{cm}^4$$

Статички момент греде на врху АБ плоче:

$$S_1 = 223304.2 \cdot \text{cm}^3$$

Тежиште греде мерено од врха попречног пресека:

$$y'_1 = 62.9 \cdot \text{cm}$$

Тежиште попречног пресека мерено од врха АБ плоче:

$$y_1 := y'_1 + t_{d,\min}$$

$$y_1 = 82.9 \cdot \text{cm}$$

Горњи и доњи отпорни момент инерције:

Челик за преднапрезање у попречном пресеку: $W_{1f} = 99530.02 \cdot \text{cm}^3$ $W_{1a} = 109633.89 \cdot \text{cm}^3$

H	2	2	4	5	10	6	12
Y	35	995	1005	1065	1075	1135	1145

4.2. КАРАКТЕРИСТИКЕ БЕТОНА ЗА ПРЕДНАПРЕЗАЊЕ

Релативна влажност (споља): $RH := 80\%$

Прилагођена старост бетона као резултат технологије неге бетона: $t_T := 8$ days

Претпостављена величина П.А.Б. греде и АБ плоче: Фактор класе цемента:

$$A_{prc} := 0.352 \cdot \text{m}^2$$

$$u_{prc} := 4.13 \cdot \text{m}$$

(класа цемента N се разматра за даљи прорачун)

$$h_{0,prc} := 2 \cdot A_{prc} \div u_{prc} \quad h_{0,deck} := t_{d,\text{avg}} \quad s_c := 0.20$$

Коефицијент за развој карактеристике бетона у зависности од старости бетона:

$$\beta_{cc,p} := e^{s_c \left(1 - \sqrt{\frac{28}{t_T}} \right)} \quad \beta_{cc,p} = 0.84$$

Карактеристике бетона услед преднапрезања челика:

$$E_{cm,p} = 35.4 \cdot \frac{\text{kN}}{\text{mm}^2}$$

$$f_{cm,p} = 48.7 \cdot \frac{\text{N}}{\text{mm}^2}$$

$$f_{ck,p} = 40.7 \cdot \frac{\text{N}}{\text{mm}^2}$$

$$f_{ctm,p} = 3.4 \cdot \frac{\text{N}}{\text{mm}^2}$$

$$f_{ctk,p} = 2.4 \cdot \frac{\text{N}}{\text{mm}^2}$$

Граница напрезања бетона за привремене услове (нпр. напрезање каблова) означено је као $\phi_{ck}(t) \times k_6$ према EN 1992, где фактор k_6 може достићи вредност до 0.70 према препоруци истражника производа.

4.3. ПОЧЕТНА И ЕФЕКТИВНА ПРЕДНАПРЕЖУЋА СИЛА

Почетна преднапрежућа сила:

$$\sigma_{\text{ini}} := 1240 \frac{\text{N}}{\text{mm}^2} < \sigma_{\text{max}} := \min(0.8 \cdot f_{\text{pk}}, 0.9 \cdot f_{\text{p0.1k}})$$

$$\sigma_{\text{max}} = 1422 \cdot \frac{\text{N}}{\text{mm}^2}$$

Губитак услед температурне разлике (очвршћавање бетона)

$$\Delta T := 40 \text{ } ^\circ\text{C} \text{ (претпостављена вредност)} \quad \alpha_T := 10^{-5} \cdot \frac{1}{\text{ } ^\circ\text{C}}$$

$$\Delta \sigma_T := \Delta T \cdot \alpha_T \cdot E_p$$

$$\Delta \sigma_T = 78.0 \cdot \frac{\text{N}}{\text{mm}^2}$$

Губитак услед померања кабла:

$$\varepsilon_{\text{slip}} := 0.010\% \text{ (препорука произвођача)}$$

$$\Delta \sigma_{\text{slip}} := E_p \cdot \varepsilon_{\text{slip}}$$

$$\Delta \sigma_{\text{slip}} = 19.5 \cdot \frac{\text{N}}{\text{mm}^2}$$

Почетни губитак услед релаксације кабла:

$$\mu_{\text{ini}} := \sigma_{\text{ini}} \div f_{\text{pk}} \quad \rho_{1000} := 2.5 \text{ (\%)} \quad t_0 := 1 \text{ days}$$

(преднапрегнуто
стање)

Релаксација (Класа 2):

$$\Delta \sigma_{\text{pr.t0}} := \sigma_{\text{ini}} \cdot 0.66 \cdot \rho_{1000} \cdot e^{9.1 \cdot \mu_{\text{ini}} \cdot (0.024 \cdot t_0)^{0.75} \cdot (1 - \mu_{\text{ini}})} \cdot 10^{-5}$$

$$\Delta \sigma_{\text{pr.t0}} = 3.5 \cdot \frac{\text{N}}{\text{mm}^2}$$

Рачунски губитак услед еластичне деформације:

$$F_{0p} := \sigma_{\text{ini}} \cdot \sum n_p \cdot A_p \quad F_{0p} = 4728 \cdot \text{kN} \quad M_{0p} := F_{0p} \cdot (y_p - y_1) \quad M_{0p} = 1950.831 \cdot \text{kNm}$$

$$\Delta \sigma_{\text{el}} := \frac{0.5 \cdot E_p \cdot M_{0p}}{I_1 \cdot E_{\text{cm.p}}} \cdot (y_p - y_1)$$

$$\Delta \sigma_{\text{el}} = 35.4 \cdot \frac{\text{N}}{\text{mm}^2}$$

Ефективна преднапрежућа сила:

$$\sigma_{\text{eff}} := \sigma_{\text{ini}} - \Delta \sigma_T - \Delta \sigma_{\text{slip}} - \Delta \sigma_{\text{pr.t0}} - \Delta \sigma_{\text{el}}$$

$$\sigma_{\text{eff}} = 1104 \cdot \frac{\text{N}}{\text{mm}^2} < \sigma_{\text{max}} := \min(0.75 \cdot f_{\text{pk}}, 0.85 \cdot f_{\text{p0.1k}})$$

$$\sigma_{\text{max}} = 1343 \cdot \frac{\text{N}}{\text{mm}^2}$$

4.4. ГУБИТАК СИЛЕ ПРЕДНАПРЕЗАЊА ТОКОМ ВРЕМЕНА

Временско-зависни губитци преднапрезања су прорачуната за појединачне попречне пресеке у складу са датим једначинама у EN 1992

$$\Delta \sigma_{p,csr}(t) = \frac{\sigma_c \cdot QP \cdot \frac{E_p}{E_b} \cdot \phi(t, t_0) + E_p \cdot \varepsilon_{cs}(t)}{1 + \frac{E_p}{E_b} \cdot \frac{A_p}{A_c} \cdot \left(1 + \frac{A_c}{I_c} \cdot z_{cp}^2 \right) \cdot \left(1 + 0.8 \cdot \phi(t, t_0) \right)}$$

Губитак од
релаксације
каблова:

$$t_1 := 100 \text{ days} \quad \Delta\sigma_{pr(t)} := \sigma_{ini} \cdot 0.66 \cdot \rho_{1000} \cdot e^{9.1 \cdot \mu_{ini}} \cdot (0.024 \cdot t)^{0.75 \cdot (1 - \mu_{ini})} \cdot 10^{-5}$$

(бетонирање АБ плоче)

$$\Delta\sigma_{pr,t1} = 7.5 \cdot \frac{\text{N}}{\text{mm}^2}$$

(завршна фаза)

$$\Delta\sigma_{pr,t2} = 31.3 \cdot \frac{\text{N}}{\text{mm}^2}$$

Вредности течења и скупљања бетона за бетонирање АБ плоче и завршне фазе:

$$\varepsilon_{t1} = 0.019\% \quad \varepsilon_{t2} = 0.029\% \quad \varepsilon_{deck} = 0.027\% \quad \phi_{t1} = 0.85 \quad \phi_{t2} = 1.52$$

4.5. ОДРЕЂИВАЊЕ КРАЈЊИХ ЗОНА И ДУЖИНЕ АНКЕРОВАЊА

Утицајни фактори за дужину сидрења:

$$\eta_{p1} := 3.20 \quad \text{кофицијент за врсту кабла (за кабал од 3 и 7-нити)}$$

$$\eta_1 := 1.00 \quad \text{кофицијент у вези са квалитетом пијањања ("добро" стање)}$$

$$\alpha_1 := 1.25 \quad \text{за нагло пуштање}$$

$$\alpha_2 := 0.19 \quad \text{за кабал од 3 и 7-нити}$$

Јачина везе за анкеровање у стању ULS:

$$f_{bpt} := \eta_{p1} \cdot \eta_1 \cdot f_{ctm,p} \quad f_{bpt} = 10.9 \cdot \frac{\text{N}}{\text{mm}^2}$$

$$l_{pt} := \alpha_1 \cdot \alpha_2 \cdot \phi_p \cdot \frac{\sigma_{eff}}{f_{bpt}} \quad l_{pt} = 29.9 \cdot \text{cm}$$

Рачунска вредност дужине анкеровања требала би да се усвоји као мања од две, зависно од прорачуна:

$$l_{pt,inf} := 0.80 \cdot l_{pt} \quad l_{pt,sup} := 1.20 \cdot l_{pt}$$

Предпоставља се да бетонска напрезања имају линеарну дистрибуцију изван дужине дисперзије:

$$l_{disp,inf}(h_{prc}) := \sqrt{l_{pt,inf}^2 + (0.90 \cdot h_{prc})^2} \quad l_{disp,sup}(h_t) := \sqrt{l_{pt,sup}^2 + (0.90 \cdot h_{prc})^2}$$

$$l_{disp,inf}(h_{prc}) = 1.106 \text{ m}$$

$$l_{disp,sup}(h_{prc}) = 1.138 \text{ m}$$

За контролне прегледе на крају носача (нпр. отпорност на смицање) напрезања ће се рачунати по већој вредности за дужину линеарне дистрибуције:

$$l_{disp,sup}(h_{prc}) = 1.138 \text{ m} \quad \sim \quad 0.85 \cdot (h_{prc} + t_{d,min}) = 1.190 \text{ m}$$

Додатно армирање у крајњој зони дато је у пројекту!

4.6. КОНТРОЛА КРАЈА ГРЕДНОГ НОСАЧА УСЛЕД ПРЕДНАПРЕЗАЊА КАБЛОВА И БЕТОНИРАЊА АБ ПЛОЧЕ

Позиција/одсек: $x_1 := l_{\text{disp.sup}}(h_{\text{prc}})$

Ефективна висина армирања:

$$d_{\text{eff}} := h_{\text{prc}} - 40\text{mm} = 1.160\text{m}$$

Арматура на крају носача: 2o16 + 2 кабла

$$A_{\text{reinf}} := 2 \cdot 2\text{cm}^2 + 2 \cdot A_p = 5.86 \cdot \text{cm}^2$$

4.6.1. УНУТРАШЊИ НАПОНИ

Од прве и друге половине сопствене тежине:

$$g_1 = 8.80 \cdot \frac{\text{kN}}{\text{m}}$$

$$M_{G1} = 148.5 \cdot \text{kNm}$$

$$g_2 = 5.40 \cdot \frac{\text{kN}}{\text{m}}$$

$$M_{G2} = 91.2 \cdot \text{kNm}$$

4.6.2. ПРОРАЧУН НАПОНОУ У БЕТОНУ

Карактеристична гранична стања употребљивости услед напрезања попречних пресека без пукотина (N/mm^2)

T0_STAGE =

"P"	$\sigma_3_{t0} = 5.592$	$\sigma_4_{t0} = -27.689$
"G1"	-1.492	1.355
"SUM"	4.099	-26.334

Попречни пресек са прслинама

Позиција неутралне осовине:

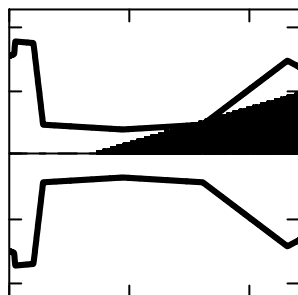
$$x_{\text{neut}} = 85.3 \cdot \text{cm}$$

Релативно обртање услед момента савијања:

$$\kappa_{\text{neut}} = 0.00089 \frac{1}{\text{m}}$$

Спољни момент савијања: $M_{\text{ext}} := -M_{G1} = -149 \cdot \text{kNm}$

Напони у бетону:



Без прслинама:

$$\sigma_3_{t0.II} = 4.1 \frac{\text{N}}{\text{mm}^2}$$

Са прслинама:

$$\sigma_3_{t0.II} = 0.0 \frac{\text{N}}{\text{mm}^2}$$

$$\sigma_4_{t0.II} = -26.3 \frac{\text{N}}{\text{mm}^2}$$

$$\sigma_4_{t0.II} = -28.3 \frac{\text{N}}{\text{mm}^2}$$

Напони у доњој половини попречног пресека:

$$\sigma_4_{t0.II} = -28.3 \frac{\text{N}}{\text{mm}^2}$$

$$0.7 \cdot f_{ck,p} = 28.5 \frac{\text{N}}{\text{mm}^2}$$

ЗАДОВОЉАВА!

Карактеристична гранична стања употребљивости услед напрезања попречних пресека без пукотина (N/mm^2)

T1_STAGE =

"P"	$\sigma_3_{t1} = 4.988$	$\sigma_4_{t1} = -24.700$
"G1"	-1.492	1.355
"G2"	-0.916	1.122
"SUM"	2.580	-22.223

Попречни пресек са прслинама

Позиција неутралне осовине:

$$x_{\text{neut}} = 98.6 \cdot \text{cm}$$

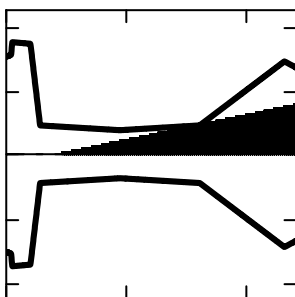
Релативно обртање услед момената савијања:

$$\kappa_{\text{neut}} = 0.00117 \frac{1}{\text{m}}$$

Напон у доњој половини попречног пресека:

Спољни момент савијања: $M_{\text{ext}} := -(M_{G1} + M_{G2}) = -240 \cdot \text{kNm}$

Напон у бетону:



Без прслина:

$$\sigma_{3,t1} = 2.6 \cdot \frac{\text{N}}{\text{mm}^2}$$

$$\sigma_{4,t1} = -22.2 \cdot \frac{\text{N}}{\text{mm}^2}$$

$$0.6 \cdot f_{ck,\text{prc}} = 30.0 \cdot \frac{\text{N}}{\text{mm}^2}$$

Са прслинама:

$$\sigma_{3,t1,\text{II}} = 0.0 \cdot \frac{\text{N}}{\text{mm}^2}$$

$$\sigma_{4,t1,\text{II}} = -23.2 \cdot \frac{\text{N}}{\text{mm}^2}$$

ЗАДОВОЉАВА!

4.7. ПРОРАЧУН ГРЕДНОГ НОСАЧА ИZNАД ОСЛОНОЦА ЗА МАКС. ТРАНСВЕРЗАЛНУ СИЛУ

Општи средњи носач је прорачунат!

$$t_{\text{comp}} := t_{\text{comp.m}}$$

$$t_{\text{prc}} := t_{\text{prc.m}}$$

Позиција/одсек:

$$x_1 := l_{\text{disp.sup}}(h_{\text{prc}})$$

Особине спрегнутог попречног пресека:

Површина поп. пресека:

$$A_5 = 5090 \cdot \text{cm}^2$$

Инерција греде:

$$I_5 = 12019405 \cdot \text{cm}^4$$

Тежиште греде мерено од горње површине плоче:

$$y_5 = 60.8 \cdot \text{cm}$$

Модул горњег и доњег попречног пресека на ивицама носача и плоче:

$$W_{5u} = 294275 \cdot \text{cm}^3 \quad W_{5l} = 151845 \cdot \text{cm}^3$$

$$W_{5u,d} = 230901 \cdot \text{cm}^3 \quad W_{5l,d} = 343966 \cdot \text{cm}^3$$

4.7.1. УНУТРАШЊЕ СИЛЕ

Од прве и друге половине сопствене тежине:

$$g_1 = 8.80 \cdot \frac{\text{kN}}{\text{m}}$$

$$M_{G1} = 149 \cdot \text{kNm}$$

$$V_{G1} = 126 \cdot \text{kN}$$

$$g_2 = 5.40 \cdot \frac{\text{kN}}{\text{m}}$$

$$M_{G2} = 91 \cdot \text{kNm}$$

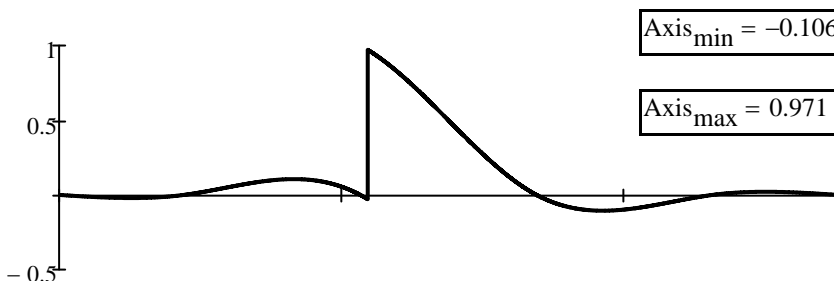
$$V_{G2} = 77 \cdot \text{kN}$$

Ефекти на континуалну суперструктуру

$$X := "V"$$

$$\text{Section} := 53.30\text{m} + (0.5 \cdot 40\text{cm} + l_{\text{disp.sup}}(h_{\text{prc}}))$$

Дијаграм подручја:



$$\text{Axis}_{\min} = -0.106$$

$$\text{Axis}_{\max} = 0.971$$

$$T_{\text{sum}} = 14.265$$

$$T_{\text{pos}} = 16.621$$

$$T_{\text{neg}} = -2.356$$

Момент савијања од трећег дела сталних оптерећења:

$$V_{G3} := T_{sum} \cdot g_3 \cdot m = 118 \cdot kN$$

Момент савијања од расподељених саобраћајних оптерећења:

$$V_{UDL} := T_{pos} \cdot q_{UDL} \cdot t_{prc} \cdot m = 135 \cdot kN$$

Момент савијања од концетрисаних оптерећења:

$$V_{TS} := Axis_{max} \cdot Q_{TS} = 243 \cdot kN$$

Макс. критична смичућа сила на греди

$$V_{Ed} := \gamma_G \cdot \xi \left(V_{G1} + V_{G2} + V_{G3} \right) \dots = 878 \cdot kN$$

$$+ \gamma_Q \left(V_{TS} + V_{UDL} \right)$$

4.7.2. ПРОРАЧУН СМИЧУЋЕ ОТПОРНОСТИ

Особине смичуће површине

$$b_w := 150 \text{ mm}$$

$$z_w := 0.90 \cdot d_{eff}$$

$$z_w = 1.044 \text{ m}$$

Осовинска сила од преднапрезања:

$$F_{3p} = 3392 \cdot kN$$

Просечан напон притиска у попречном пресеку:

$$\sigma_{cp} := \frac{F_{3p}}{A_5}$$

$$\sigma_{cp} = 6.66 \cdot \frac{N}{mm^2}$$

Смичућа отпорност бетонског попречног пресека без смичуће арматуре:

$$k := \max \left(2, 1 + \sqrt{\frac{200 \cdot mm}{z_w}} \right) \quad k = 2.000$$

$$k_1 := 0.15 \quad v_{min} := 0.035 \cdot k^{1.5} \cdot \left(\frac{f_{ck, prc} \cdot mm^2}{N} \right)^{0.5} \quad v_{min} = 0.700$$

$$V_{Rd,c} := \left(v_{min} \cdot \frac{N}{mm^2} + k_1 \cdot \sigma_{cp} \right) \cdot b_w \cdot z_w \quad V_{Rd,c} = 266.159 \cdot kN$$

Смичућа отпорност бетонског попречног пресека без смичуће арматуре:

$$\alpha_{cp} := \begin{cases} 1 & \text{if } \sigma_{cp} \leq 0 \\ \left(1 + \frac{\sigma_{cp}}{f_{cd, prc}} \right) & \text{if } 0 < \sigma_{cp} \leq 0.25 \cdot f_{cd, prc} \\ 1.25 & \text{if } 0.25 \cdot f_{cd, prc} < \sigma_{cp} \leq 0.50 \cdot f_{cd, prc} \\ 2.5 \cdot \left(1 - \frac{\sigma_{cp}}{f_{cd, prc}} \right) & \text{if } 0.50 \cdot f_{cd, prc} < \sigma_{cp} \leq f_{cd, prc} \end{cases} \quad \alpha_{cp} = 1.235$$

Угао између бетонске потпорне опруге и осе греде управне на силу смицања:

$$\theta := \text{acot} \left(\max \left(1.0, \text{if} \left(\frac{V_{Rd.c}}{V_{Ed}} < 0.52 + 0.56 \cdot \frac{\sigma_{cp}}{f_{cd.prc}}, \frac{1.2 - 1.4 \cdot \frac{\sigma_{cp}}{f_{cd.prc}}}{1 - \frac{V_{Rd.c}}{V_{Ed}}}, 2.5 \right) \right) \right) \cot(\theta) = 1.250 < 2.50$$

Фактор редуковања притиска:

(под претпоставком да је смичуће ојачање изнад 80% напона течења)

$$v := 0.60 \cdot \left(1 - \frac{f_{ck.prc}}{250} \cdot \frac{mm^2}{N} \right) \quad v = 0.480$$

Смичуће арматура:

Армирана мрежа по греди:

$$n_w := 2 \cdot db$$

$$\phi_w := 10 \cdot mm$$

$$t_w := 125 \cdot mm$$

$$\alpha_w := 90^\circ$$

Додатно армирање на крају носача:

$$n_a := 2 \cdot db$$

$$\phi_a := 10 \cdot mm$$

$$t_a := 250 \cdot mm$$

$$\alpha_a := 90^\circ$$

Максимални ефекат смичућег ојачања:

$$A_{sw.eff} := 0.5 \cdot \alpha_{cp} \cdot v \cdot f_{cd.prc} \cdot \frac{b_w}{f_{s.yd}} = 29.0 \cdot \frac{cm^2}{m} \quad \text{СУИТАБЛЕ!} \quad A_{cw.eff} > A_{cw}$$

$$A_{sw} := \frac{n_w \cdot \phi_w^2 \cdot \sin(\alpha_w) \cdot \pi}{4 \cdot t_w} + \frac{n_a \cdot \phi_a^2 \cdot \sin(\alpha_a) \cdot \pi}{4 \cdot t_a} = 18.8 \cdot \frac{cm^2}{m}$$

Макс. доступан смичући оптор:

$$V_{Rd.max} := \alpha_{cp} \cdot b_w \cdot z_w \cdot v \cdot f_{cd} \cdot \frac{\cot(\theta)}{1 + \cot(\theta)}$$

$$V_{Ed} = 878 \cdot kN$$

<

$$V_{Rd.max} = 1169 \cdot kN$$

ЗАДОВОЉАВА!

Стварни смичући отпор:

$$V_{Rd.s} := \frac{n_w \cdot \phi_w^2 \cdot \pi}{4 \cdot t_w} \cdot z_w \cdot f_{s.yd} \cdot (\cot(\theta) + \cot(\alpha_w)) \cdot \sin(\alpha_w) + \frac{n_a \cdot \phi_a^2 \cdot \pi}{4 \cdot t_a} \cdot z_w \cdot f_{s.yd} \cdot (\cot(\theta) + \cot(\alpha_a)) \cdot \sin(\alpha_a)$$

$$V_{Rd.s} = 1069 \cdot kN$$

>

$$V_{Ed} = 877.8 \cdot kN$$

ЗАДОВОЉАВА!

4.8. ПРОРАЧУН ГРЕДНОГ НОСАЧА У СРЕДЊЕМ ДЕЛУ ЗА МАКС. МОМЕНТ САВИЈАЊА

Општи средњи носач је прорачунат!

$$t_{comp} := t_{comp.m}$$

$$t_{prc} := t_{prc.m}$$

Позиција/одсек:

$$x_1 := 0.50 \cdot L_a$$

Особине спрегнутог попречног пресека

Површина попречног пресека:

$$A_5 = 5090 \cdot \text{cm}^2$$

Инерција греде:

$$I_5 = 12019405 \cdot \text{cm}^4$$

Унутрашње силе од спреченог скупљања:

Тежиште греде мерено од горње површине плоче:

$$y_5 = 60.8 \cdot \text{cm}$$

Модул горњег и доњег попречног пресека на ивицама носача и плоче:

$$W_{5u} = 294275 \cdot \text{cm}^3 \quad W_{5l} = 151845 \cdot \text{cm}^3$$

$$W_{5u,d} = 230901 \cdot \text{cm}^3 \quad W_{5l,d} = 343966 \cdot \text{cm}^3$$

$$N_\varepsilon = -430 \cdot \text{kN}$$

$$M_\varepsilon = -218 \cdot \text{kNm}$$

4.8.1. УНУТРАШЊИ НАПОНИ

Од прве и друге половине сопствене тежине:

$$g_1 = 8.80 \cdot \frac{\text{kN}}{\text{m}}$$

$$M_{G1} = 1044 \cdot \text{kNm}$$

$$g_2 = 5.40 \cdot \frac{\text{kN}}{\text{m}}$$

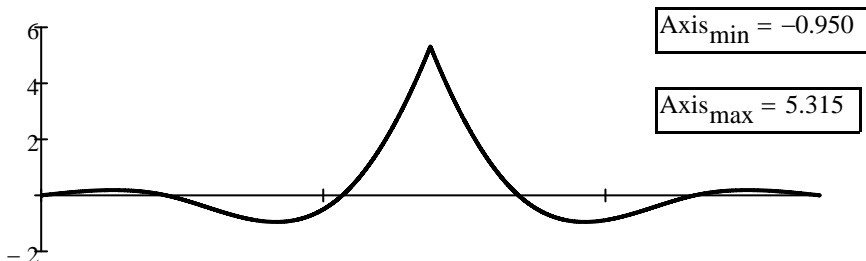
$$M_{G2} = 640 \cdot \text{kNm}$$

Ефекти на континуалну суперструктуру

$$X := "M"$$

$$\text{Section} := 53.30\text{m} + 0.5 \cdot L_a$$

Дијаграм подручја:



$$T_{sum} = 38.792$$

$$T_{pos} = 75.359$$

$$T_{neg} = -36.567$$

Моменти савијања од трећег дела сталних оптерећења:

$$M_{G3} := T_{sum} \cdot g_3 \cdot m^2 = 322 \cdot \text{kNm}$$

Момент савијања од расподељених саобраћајних оптерећења:

$$M_{UDL} := T_{pos} \cdot q_{UDL} \cdot t_{prc} \cdot m^2 = 610 \cdot \text{kNm}$$

Момент савијања од концетрисаних саобраћајних оптерећења:

$$M_{TS} := Axis_{max} \cdot Q_{TS} \cdot m = 1329 \cdot \text{kNm}$$

Максимални критични момент савијања на греди:

$$M_{Ed} := \gamma_G \cdot \xi \cdot (M_{G1} + M_{G2} + M_{G3}) \dots = 4920 \cdot \text{kNm} \quad M_{freq} := M_{G1} + M_{G2} + M_{G3} \dots = 3247 \cdot \text{kNm}$$

$$+ \gamma_Q \cdot (M_{TS} + M_{UDL}) \quad + \psi_{1,TS} \cdot M_{TS} + \psi_{1,UDL} \cdot M_{UDL}$$

$$M_{kar} := M_{G1} + M_{G2} + M_{G3} \dots = 3945 \cdot \text{kNm}$$

$$+ M_{TS} + M_{UDL}$$

$$M_{qp} := M_{G1} + M_{G2} + M_{G3} \dots = 2006 \cdot \text{kNm}$$

$$+ \psi_{2,TS} \cdot M_{TS} + \psi_{2,UDL} \cdot M_{UDL}$$

4.8.2. ПРОРАЧУН НАПОНА У БЕТОНУ

Каррактеристична гранична стања употребљивости услед напрезања попречних пресека без пукотина (N/mm^2)

T1_STAGE =

"P"	5.100	σ_{-3t1}	-25.254
"G1"	-10.484		9.518
"G2"	-6.434		5.841
"SUM"	-11.818		-9.895

Каррактеристична гранична стања употребљивости услед напрезања попречних пресека без пукотина (N/mm^2)

T2_STAGE =

"P"	0.000	σ_{-1k}	0.000	σ_{-4k}	-24.372
"G1"	0.000		0.000		9.518
"G2"	0.000		0.000		5.841
"G3"	-1.395	σ_{-2k}	-0.937	-1.095	2.122
" ε "	0.719		1.030	-1.586	0.595
"TS"	-5.754		-3.863	-4.515	8.750
"UDL"	-2.644		-1.775	-2.074	4.020
"SUM"	-9.074		-5.544	-21.267	6.473

$$\sigma_{4k} = 6.5 \cdot \frac{N}{mm^2} > f_{ctm.prc} = 4.1 \cdot \frac{N}{mm^2}$$

Спровести прорачун попречног пресека са прслинама!

$$\sigma_{3k} = -21.3 \cdot \frac{N}{mm^2} < 0.6 \cdot f_{ck.prc} = 30 \cdot \frac{N}{mm^2}$$

Подужне пукотине се не би појавиле!

Границно стање употребљивости за квази-сталне напоне на попречним пресецима без пукотина (N/mm^2)

T2_STAGE =

"P"	0.000	σ_{-1q}	0.000	σ_{-4q}	-24.372
"G1"	0.000		0.000		9.518
"G2"	0.000		0.000		5.841
"G3"	-1.395	σ_{-2q}	-0.937	-1.095	2.122
" ε "	0.719		1.030	-1.586	0.595
"TS"	0.000		0.000	0.000	0.000
"UDL"	0.000		0.000	0.000	0.000
"SUM"	-0.677		0.093	-14.677	-6.297

$$\sigma_{4q} = -6.3 \cdot \frac{N}{mm^2} \quad \text{ИСПУЊЕН УСЛОВ ДЕКОМПРЕСИЈЕ!}$$

$$\sigma_{3q} = -14.7 \cdot \frac{N}{mm^2} < f_{ck.prc} \cdot 0.45 = 22.5 \cdot \frac{N}{mm^2}$$

Претпостављено линеарно течење!

Попречни пресек са пукотинама

Спљошњи момент савијања:

$$M_{ext} := M_{kar}$$

Локација неутралне осовине:

$$x_{n.low} = 65.976 \cdot \text{cm}$$

$$x_{n.up} = 45.446 \cdot \text{cm}$$

Релативно обртање услед момента савијања:

$$\kappa_{n.low} = -0.00202 \frac{1}{\text{m}}$$

$$\kappa_{n.up} = -0.00187 \frac{1}{\text{m}}$$

Макс. напон у кабловима за преднапрезање (карактеристично за SLS):

$$\sigma_{s,max} := \sigma_{eff} - \Delta\sigma_{p.csr.t2} + \sigma_{s.ext} = 1162 \frac{\text{N}}{\text{mm}^2}$$

$$\sigma_{3,k.II} = -22.7 \frac{\text{N}}{\text{mm}^2}$$

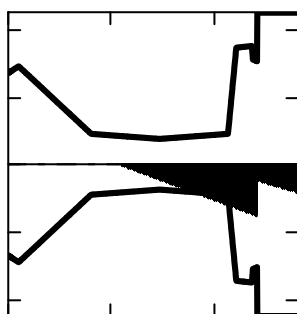
<

$$0.6 \cdot f_{ck,prc} = 30 \frac{\text{N}}{\text{mm}^2}$$

Ефективна висина каблова:

$$d_{eff} := y_p$$

Напони у бетону:



Ојачање = челик за преднаперзаше

$$A_{strand} := \left(\sum n_p - n_{p0} \right) \cdot A_p$$

Без прслина:

$$\sigma_{1,k} = -9.1 \frac{\text{N}}{\text{mm}^2}$$

$$\sigma_{2,k} = -5.5 \frac{\text{N}}{\text{mm}^2}$$

$$\sigma_{3,k} = -21.3 \frac{\text{N}}{\text{mm}^2}$$

$$\sigma_{4,k} = 6.5 \frac{\text{N}}{\text{mm}^2}$$

Са прслинама:

$$\sigma_{1,k.II} = -14.5 \frac{\text{N}}{\text{mm}^2}$$

$$\sigma_{2,k.II} = -8.1 \frac{\text{N}}{\text{mm}^2}$$

$$\sigma_{3,k.II} = -22.7 \frac{\text{N}}{\text{mm}^2}$$

$$\sigma_{4,k.II} = 0.0 \frac{\text{N}}{\text{mm}^2}$$

$$\sigma_{s,ext} := -\kappa_{n.low} \cdot (d_{eff,low} - x_{n.low} - t_{d,min}) \cdot E_p$$

<

$$0.75 \cdot f_{pk} = 1395 \frac{\text{N}}{\text{mm}^2}$$

ЗАДОВОЉАВА!

Подужне пукотине се не би појавиле!

4.8.3. ПРОРАЧУН ГРАНИЧНОГ МОМЕНТА САВИЈАЊА

Прорачун је заснован на теорији Е. Морсцх. Позиција неутралне осе израчуната је из претпоставке о равнотежи нормалних векторских сила.

Нормално ојачање П.АБ. носача занемарена је ради сигурности.

- Позиција неутралне осе:

$$x_{neut} = 32.1 \cdot \text{cm}$$

$$F_p = 5144 \cdot \text{kN}$$

$$F_c = 5144 \cdot \text{kN}$$

- Релативно обртање услед граничног стања носивости:

$$\kappa = 0.01092 \frac{1}{\text{m}}$$

- Позиција затезне силе мерено од врха плоче:

$$s_t = 126.1 \cdot \text{cm}$$

- Позиција силе притиска мерено од врха плоче:

$$s_c = 12.7 \cdot \text{cm}$$

- Напони у кабловима дуж пресека:

$$\sigma_p^T = \begin{bmatrix} 85 & 138 & 138 & 138 & 138 & 138 & 138 \end{bmatrix} \cdot \frac{\text{kN}}{\text{cm}^2}$$

- Гранични момент савијања:

$$M_{Rd} = 5835 \cdot \text{kNm}$$

- Фактор сигурности за гранично стање носивости:

$$n_{crit} = 1.19 > 1.0$$

ЗАДОВОЉАВА!

4.9. ЦАЛЦУЛАТИОН ОФ ГИРДЕР ОВЕР СУППОРТ ФОР МИН. БЕНДИНГ МОМЕНТС

Општи средњи носач је прорачунат!

$$t_{comp} := t_{comp.m}$$

$$t_{prc} := t_{prc.m}$$

Максималне вредности за упоредни момент савијања мерене су на ивицама носача док су моменти савијања за прорачун нормалних наопона мерене на крају носача дуж линеарне дистрибуције.

Позиција/одсек:

$$x'_1 := 40\text{cm}$$

$$x_1 := l_{disp.inf}(h_{prc})$$

Карактеристике спрегнутог попречног

Површина поп. пресека:

$$A_5 = 5090 \cdot \text{cm}^2$$

Инерција греде:

$$I_5 = 12019405 \cdot \text{cm}^4$$

Тежиште носача мерено од горње површине плоче:

$$y_5 = 60.8 \cdot \text{cm}$$

Модул горњег и доњег попречног пресека на ивицама носача и плоче:

$$W_{5u} = 294275 \cdot \text{cm}^3 \quad W_{5l} = 151845 \cdot \text{cm}^3$$

$$W_{5u.d} = 230901 \cdot \text{cm}^3 \quad W_{5l.d} = 343966 \cdot \text{cm}^3$$

Унутрашње силе од спреченог скупљања:

$$N_\varepsilon = -430 \cdot \text{kN}$$

$$M_\varepsilon = -218 \cdot \text{kNm}$$

Подужно ојачање бетонске плоче изнад ослонаца

уpper: o12/200+o20/400+o25/400
lower: o12/200+o20/400+o25/400

Ефективна висина ојачања:

$$d_{eff} := h_{prc} + 0.5 \cdot t_{d,min} = 1.300 \text{ m}$$

$$A_{reinf} := (25.78 + 25.78) \frac{\text{cm}^2}{\text{m}} \cdot t_{comp}$$

4.9.1. УНУТРАШЊЕ СИЛЕ

Од прве и друге половине сопствене тежине:

$$g_1 = 8.80 \cdot \frac{\text{kN}}{\text{m}}$$

$$M_{G1} = 145 \cdot \text{kNm}$$

$$M'_{G1} = 54 \cdot \text{kNm}$$

$$g_2 = 5.40 \cdot \frac{\text{kN}}{\text{m}}$$

$$M_{G2} = 89 \cdot \text{kNm}$$

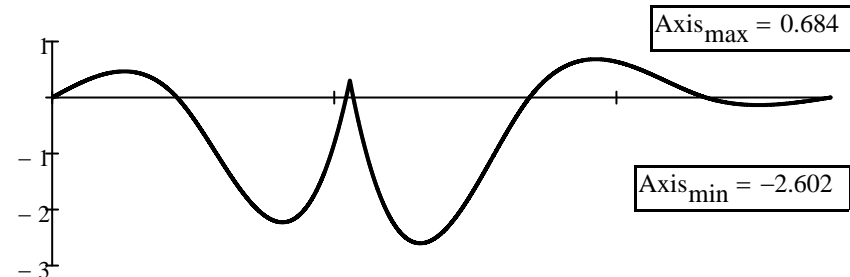
$$M'_{G2} = 33 \cdot \text{kNm}$$

Утицаји на континуалну суперструктуру

$$X := "M"$$

$$\text{Section} := 53.30\text{m} - (0.5 \cdot 40\text{cm} + 40\text{cm})$$

Дијаграм подручја:



$$T_{sum} = -73.504$$

$$T_{pos} = 20.055$$

$$T_{neg} = -93.559$$

Моменти савијања од трећег дела сталних оптерећења:

$$M'_{G3} := T_{\text{sum}} \cdot g_3 \cdot m^2 = -610 \cdot \text{kNm}$$

Момент савијања од расподељених саобраћајних оптерећења:

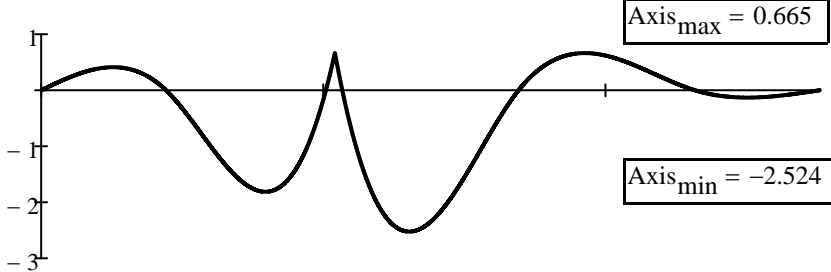
$$M'_{UDL} := T_{\text{neg}} \cdot q_{UDL} \cdot t_{\text{prc}} \cdot m^2 = -758 \cdot \text{kNm}$$

Момент савијања од концетрисаних саобраћајних оптерећења:

$$M'_{TS} := \text{Axis}_{\min} \cdot Q_{TS} \cdot m = -650 \cdot \text{kNm}$$

X := "M"

$$\text{Section} := 53.30\text{m} - (0.5 \cdot 40\text{cm} + l_{\text{disp.inf}}(h_{\text{prc}}))$$



Дијаграм подручја:

$$T_{\text{sum}} = -62.920$$

$$T_{\text{pos}} = 19.622$$

$$T_{\text{neg}} = -82.542$$

Моменти савијања од трећег дела сталних оптерећења:

$$M_{G3} := T_{\text{sum}} \cdot g_3 \cdot m^2 = -523 \cdot \text{kNm}$$

Момент савијања од расподељених саобраћајних оптерећења:

$$M_{UDL} := T_{\text{neg}} \cdot q_{UDL} \cdot t_{\text{prc}} \cdot m^2 = -669 \cdot \text{kNm}$$

Момент савијања од концетрисаних саобраћајних оптерећења:

$$M_{TS} := \text{Axis}_{\min} \cdot Q_{TS} \cdot m = -631 \cdot \text{kNm}$$

Максимални критични момент савијања на греди:

$$M_{Ed} := \gamma_G \cdot \xi \cdot (M'_{G1} + M'_{G2} + M'_{G3}) \dots = -2503 \cdot \text{kNm}$$

$$+ \gamma_Q \cdot (M'_{TS} + M'_{UDL})$$

$$M_{kar} := M_{G1} + M_{G2} + M_{G3} \dots = -1589 \cdot \text{kNm}$$

$$+ M_{TS} + M_{UDL}$$

$$M_{freq} := M_{G1} + M_{G2} + M_{G3} \dots = -1030 \cdot \text{kNm}$$

$$+ \psi_{1.TS} \cdot M_{TS} + \psi_{1.UDL} \cdot M_{UDL}$$

$$M_{qp} := M_{G1} + M_{G2} + M_{G3} \dots = -289 \cdot \text{kNm}$$

$$+ \psi_{2.TS} \cdot M_{TS} + \psi_{2.UDL} \cdot M_{UDL}$$

4.9.2. ПРОРАЧУН НАПОНА У БЕТООНУ

Карактеристична гранична стања употребљивости услед напрезања попречних пресека без пукотина (N/mm^2)

T1_STAGE =

"P"	5.100	-25.254
"G1"	-10.484	9.518
"G2"	-6.434	5.841
"SUM"	-11.818	-9.895

Карактеристична гранична стања употребљивости услед напрезања попречних пресека без пукотина (N/mm^2)

T2_STAGE =

"P"	0.000	0.000	4.418	-21.880
"G1"	0.000	0.000	-1.452	1.318
"G2"	0.000	0.000	-0.891	0.809
"G3"	2.263	1.519	1.776	-3.441
" ε "	0.719	1.030	-1.586	0.595
"TS"	2.732	1.834	2.144	-4.155
"UDL"	2.896	1.944	2.272	-4.403
"SUM"	8.610	6.327	6.681	-31.157

$$\sigma_{1k} = 8.6 \cdot \frac{N}{mm^2} > f_{ctm.deck} = 3.5 \cdot \frac{N}{mm^2}$$

Спровести прорачун попречног пресека са прслинама!

$$\sigma_{4k} = -31.2 \cdot \frac{N}{mm^2} > 0.6 \cdot f_{ck.prc} = 30 \cdot \frac{N}{mm^2}$$

Потребна попречна арматура како би се избегао губитак трајности услед настанка могућих пукотина!

Границно стање употребљивости за квази-сталне напоне на попречним пресецима без пукотина (N/mm^2)

T2_STAGE =

"P"	0.000	0.000	4.418	-21.880
"G1"	0.000	0.000	-1.452	1.318
"G2"	0.000	0.000	-0.891	0.809
"G3"	2.263	1.519	1.776	-3.441
" ε "	0.719	1.030	-1.586	0.595
"TS"	0.000	0.000	0.000	0.000
"UDL"	0.000	0.000	0.000	0.000
"SUM"	2.982	2.549	2.264	-22.599

$$\sigma_{4q} = -22.6 \cdot \frac{N}{mm^2} \sim f_{ck.prc} \cdot 0.45 = 22.5 \cdot \frac{N}{mm^2}$$

Претпоставља се линеарно течење!

$$\sigma_{1q} = 3.0 \cdot \frac{N}{mm^2} < f_{ctm.deck} = 3.5 \cdot \frac{N}{mm^2}$$

Провера пукотина је непотребна!

Попречни пресек са пукотинама

Спољашњи момент
савијања:

$$M_{ext} := M_{kar}$$

Позиција неутралне осе:

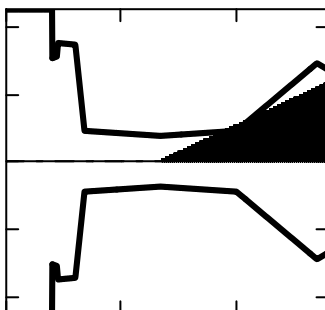
$$x_{neut} = 73.245 \cdot \text{cm}$$

Релативно обртање услед
момента савијања:

$$\kappa_{neut} = 0.00280 \frac{1}{\text{m}}$$

Макс. напон у арматури (карактеристично за SLS):

$$\sigma_{s,k} := -\kappa_{neut} \cdot (x_{neut} - h_{prc} - 0.5 \cdot t_{d,min}) \cdot E_s$$



Са прслинама:

$$\sigma_{1,k.II} = 0.0 \cdot \frac{\text{N}}{\text{mm}^2}$$

$$\sigma_{2,k.II} = 0.0 \cdot \frac{\text{N}}{\text{mm}^2}$$

$$\sigma_{3,k.II} = 0.0 \cdot \frac{\text{N}}{\text{mm}^2}$$

$$\sigma_{4,k.II} = -31.2 \cdot \frac{\text{N}}{\text{mm}^2}$$

Без прслина:

$$\sigma_{1,k.II} = 0.0 \cdot \frac{\text{N}}{\text{mm}^2}$$

$$\sigma_{2,k.II} = 0.0 \cdot \frac{\text{N}}{\text{mm}^2}$$

$$\sigma_{3,k.II} = 0.0 \cdot \frac{\text{N}}{\text{mm}^2}$$

$$\sigma_{4,k.II} = -34.9 \cdot \frac{\text{N}}{\text{mm}^2}$$

$$\sigma_{s,k} = 317.7 \cdot \frac{\text{N}}{\text{mm}^2}$$

<

$$0.8 \cdot f_{s,yd} = 347.8 \cdot \frac{\text{N}}{\text{mm}^2}$$

$$\sigma_{4,k.II} = -34.9 \cdot \frac{\text{N}}{\text{mm}^2}$$

>

$$0.6 \cdot f_{ck,prc} = 30 \cdot \frac{\text{N}}{\text{mm}^2}$$

ЗАДОВОЉАВА!

**Потребна попречна арматура како
би се избегао губитак трајности
услед настанка могућих пукотина!**

4.9.3. ПРОРАЧУН МЕРОДАВНОГ МОМЕНТА САВИЈАЊА

Прорачун се заснива на занемаривању каблова за преднапрезање попречног пресека, неутрална оса је прорачуната из претпоставке о равнотежи вертикалних сила.

- Затезање у арматури:

$$F_r = 2018 \cdot \text{kN}$$

- Притисак у бетону:

$$F_c = 2018 \cdot \text{kN}$$

- Позиција неутралне:

$$x_{neut} = 16.4 \cdot \text{cm}$$

- Релативно обртање услед граничног стања носивости:

$$\kappa = 0.02138 \frac{1}{\text{m}}$$

- Релативно обртање услед граничног стања носивости:

$$d_{eff} = 130.0 \cdot \text{cm}$$

- Положај напона притиска од доње стране носача:

$$s_c = 6.4 \cdot \text{cm}$$

- Отпорни момент савијања:

$$M_{Rd} = 2493 \cdot \text{kNm}$$

- Фактор сигурности за гранично стање носивости:

$$n_{crit} = 1.00 \sim 1.0$$

ЗАДОВОЉАВА!

4.10. ВРЕДНОСТИ УГИБА И ДЕФОРМАЦИЈА (ПРОЦЕНА)

Општи средњи носач је прорачунат!

$$t_{comp} := t_{comp.m}$$

$$t_{prc} := t_{prc.m}$$

Унутрашњи напони на средини распона

$$M_{G1.mid} = 1043.504 \cdot kNm \quad M_{G3.mid} = 322.176 \cdot kNm \quad M_{UDL.mid} = 610.411 \cdot kNm$$

$$M_{G2.mid} = 640.332 \cdot kNm \quad M_{TS.mid} = 1328.627 \cdot kNm$$

Карактеристике спрегнутог

Површина поп. пресека:

$$A_5 = 5090 \cdot cm^2$$

Инерција греде:

$$I_5 = 12019405 \cdot cm^4$$

Тежиште носача мерено од горње површине плоче:

$$y_5 = 60.8 \cdot cm$$

Горњи и доњи модул еластичности на ивицама носача и плоче:

$$W_{5u} = 294275 \cdot cm^3 \quad W_{5l} = 151845 \cdot cm^3$$

$$W_{5u.d} = 230901 \cdot cm^3 \quad W_{5l.d} = 343966 \cdot cm^3$$

Еластични модул за

Преднапрезање:

$$E_{cm,p} = 35 \cdot \frac{kN}{mm^2}$$

Додатну деформацију (t1):

$$E_{c,t1} := \frac{E_{cm}}{\phi_{t1}} = 44 \cdot \frac{kN}{mm^2}$$

Додатну деформацију (t2):

$$E_{c,t2} := \frac{E_{cm}}{\phi_{t2} - \phi_{t1}} = 55 \cdot \frac{kN}{mm^2}$$

Моменти савијања за преднапрезање

Напони преднапрезања:

$$\sigma_{eff} = 1104 \cdot \frac{N}{mm^2}$$

$$\Delta\sigma_{p.csr.t1.mid} = 97 \cdot \frac{N}{mm^2}$$

$$\Delta\sigma_{p.csr.t2.mid} = 132 \cdot \frac{N}{mm^2}$$

Напони преднапрезања:

$$F_{1p.mid} = 4208 \cdot kN$$

$$F_{2p.mid} = 3838 \cdot kN$$

$$F_{3p.mid} = 3704 \cdot kN$$

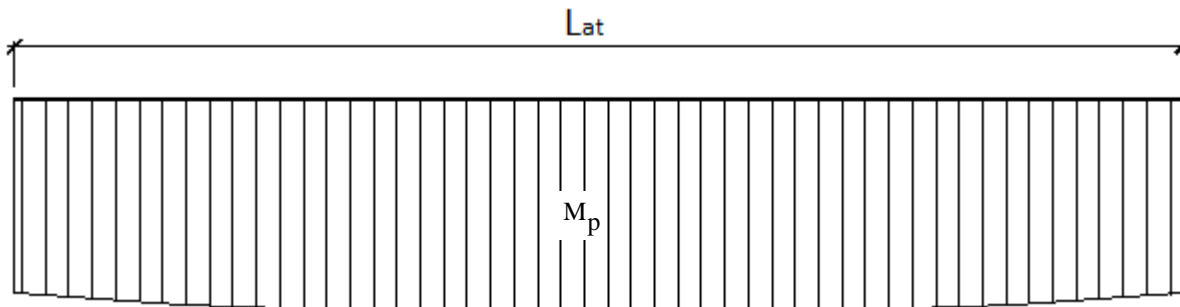
Моменти савијања од преднапрезања:

$$M_{1p.mid} = 1736 \cdot kNm$$

$$M_{2p.mid} = 1583 \cdot kNm$$

$$M_{3p.mid} = 1528 \cdot kNm$$

Момент савијања од преднапрезања претпоставља се да је линеарна по носача за прорачун угиба.



Деформације услед преднапрезања

Угиб од ефективне силе напрезања (t0)

$$\Delta e_p := \frac{-M_{1p.mid} \cdot L_{at}^2}{8 \cdot E_{cm,p} \cdot I_1} \quad \Delta e_p = -93.0 \cdot \text{mm}$$

$$\Delta e_0 := \Delta e_p + \Delta e_{g1}$$

$$\boxed{\Delta e_0 = -48.3 \cdot \text{mm}}$$

Угиб од DL1 (t0)

$$\Delta e_{g1} := \frac{M_{G1.mid} \cdot L_{at}^2}{10 \cdot E_{cm,p} \cdot I_1} \quad \Delta e_{g1} = 44.7 \cdot \text{mm}$$

Деформација у фази t1 (пре бетонирања АБ плоче)

Додатни угиб од преднапрезања (t1)

$$\Delta e_{p'} := \frac{-M_{2p.mid} \cdot L_{at}^2}{8 \cdot E_{c,t1} \cdot I_1} \quad \Delta e_{p'} = -68.2 \cdot \text{mm}$$

$$\Delta e_1 := \Delta e_p + \Delta e_{p'} + \Delta e_{g1} + \Delta e_{g1'}$$

Додатни угиб од DL1 (t1)

$$\Delta e_{g1'} := \frac{M_{G1.mid} \cdot L_{at}^2}{10 \cdot E_{c,t1} \cdot I_1} \quad \Delta e_{g1'} = 35.9 \cdot \text{mm}$$

$$\boxed{\Delta e_1 = -80.5 \cdot \text{mm}}$$

Деформација у фази t1 (након бетонирања АБ плоче)

Деформација од DL2

$$\Delta e_{g2} := \frac{M_{G2.mid} \cdot L_{at}^2}{10 \cdot E_{cm} \cdot I_1} \quad \Delta e_{g2} = 26 \cdot \text{mm}$$

$$\Delta e_2 := \Delta e_p + \Delta e_{p'} + \Delta e_{g1} + \Delta e_{g1'} + \Delta e_{g2}$$

$$\boxed{\Delta e_2 = -54.5 \cdot \text{mm}}$$

Деформација у фази t2

Вредности од свих напрезања су прорачуната на простој греди ради сигурности.

Додатни угиб од преднапрезања (t2)

$$\Delta e_{p''} := \frac{-M_{3p.mid} \cdot L_{at}^2}{8 \cdot E_{c,t2} \cdot I_5} \quad \Delta e_{p''} = -27.2 \cdot \text{mm}$$

Додатна деформација од DL2 (t2)

$$\Delta e_{g2'} := \frac{M_{G2.mid} \cdot L_{at}^2}{10 \cdot E_{c,t2} \cdot I_5} \quad \Delta e_{g2'} = 9.1 \cdot \text{mm}$$

Додатни угиб од DL1 (t2)

$$\Delta e_{g1''} := \frac{M_{G1.mid} \cdot L_{at}^2}{10 \cdot E_{c,t2} \cdot I_5} \quad \Delta e_{g1''} = 14.9 \cdot \text{mm}$$

Деформација од DL3 (t2)

$$\Delta e_{g3} := \frac{M_{G3.mid} \cdot L_{at}^2}{10 \cdot E_{c,eff,prc} \cdot I_5} \quad \Delta e_{g3} = 14.9 \cdot \text{mm}$$

$$\Delta e_3 := \Delta e_p + \Delta e_{p'} + \Delta e_{p''} + \Delta e_{g1} + \Delta e_{g1'} + \Delta e_{g1''} + \Delta e_{g2} + \Delta e_{g2'} + \Delta e_{g3}$$

$$\boxed{\Delta e_3 = -42.8 \cdot \text{mm}}$$

Деформација од саобраћајног оптерећења

$$\Delta e_{UDL} := \frac{M_{UDL,mid} \cdot L_{at}^2}{10 \cdot E_{cm,prc} \cdot I_5} \quad \Delta e_{UDL} = 12.9 \cdot \text{mm}$$

$$\boxed{\Delta e_{LM1} := \Delta e_{UDL} + \Delta e_{TS} = 41 \cdot \text{mm}}$$

$$\Delta e_{TS} := \frac{M_{TS,mid} \cdot L_{at}^2}{10 \cdot E_{cm,prc} \cdot I_5} \quad \Delta e_{TS} = 28.1 \cdot \text{mm}$$

<

$$\frac{L_{at}}{400} = 77 \cdot \text{mm}$$

ЗАДОВОЉАВА!

Срачунао:

Ágnes Váczi

Ágnes Váczi

**ИДЕЈНИ ПРОЈЕКАТ
ПРУГА: СУБОТИЦА - ДРЖАВНА ГРАНИЦА (Келебија)
КЊИГА 2/1-1.39: ПРОЈЕКАТ МОСТОВА
НАДВОЖЊАК на km 160+094,84 пруге
km 0+351,57 укрштаја по саобраћајници**

Бр. поз. No.	Бр.поз. Техн Усл Item in Tech. Conditions	Опис радова	Количина Quantity	Јед. цена (дин) Unit rate (Din)	Цена (дин) Price (Din)
				A	B

2/1.1.39.1	02	ИЗВОЂЕЊЕ HW ШИПОВА			
2/1.1.39.1.1		Извођење HW бушених шипова од бетона C 25/30, XC2,PVII У цену радова је укључен сав рад на извођењу, а плаћа се готов шип по m'. Арматура се плаћа посебно. Ø90 cm	525,00	30.000,00	15.750.000,00
2/1.1.39.1.2		Израда, уградња и монтажа арматуре HW шипова. Плаћа се по kg уgraђене арматуре.	47.175,00	120,00	5.661.000,00
2/1.1.39.1.3		Пробно оптерећење шипова, испитивање носивости шипова.		паушално / lump sum	642.330,00

УКУПНО ИЗВОЂЕЊЕ HW ШИПОВА:

22.053.330,00

2/1.1.39.2	03	ЗЕМЉАНИ РАДОВИ			
2/1.1.39.2.1		Ископ темеља у материјалу I и II категорије, са свом потребном подградом и транспортом ископаног материјала до 5 km. Плаћа се по m ³ ископаног материјала - на дубини 0-2 m - на дубини 2-4 m	1.199,00 60,00	890,00 1.200,00	1.067.110,00 72.000,00
2/1.1.39.2.2		Насипање материјала / затрпавање темеља стубова, из ископа или позајмишта, у слојевима по 30 см, земљаним материјалом, са набијањем слојева до модула стишљивости Ms=30MPa. Плаћа се по m ³ набијеног материјала	3.342,33	1.800,00	6.016.200,00
2/1.1.39.2.3		Израда шљунчаног клина иза крајњих стубова, до нивоа доње ивице прелазне плоче, од добро гранулисаног шљунка збијеног у слојевима од 30cm до модула стишљивости Ms=40 MPa.	539,00	2.000,00	1.078.000,00

ИДЕЈНИ ПРОЈЕКАТ

ПРУГА: СУБОТИЦА - ДРЖАВНА ГРАНИЦА (Келебија)

КЊИГА 2/1-1.39: ПРОЈЕКАТ МОСТОВА

НАДВОЖЊАК на km 160+094,84 пруге

km 0+351,57 укрштаја по саобраћајници

Бр. поз. No.	Бр.поз. Техн Усл Item in Tech. Conditions	Опис радова	Количина Quantity	Јед. цена (дин) Unit rate (Din)		Цена (дин) Price (Din)
				A	B	
2/1.1.39.2.4		Израда кегли, према пројекту, материјалом добијеним из усека или позајмишта са механичким набијањем у слојевима од по 30cm.		1.000,00	2.900,00	2.900.000,00

УКУПНО ЗЕМЉАНИ РАДОВИ:

11.133.310,00

ИДЕЈНИ ПРОЈЕКАТ

ПРУГА: СУБОТИЦА - ДРЖАВНА ГРАНИЦА (Келебија)

КЊИГА 2/1-1.39: ПРОЈЕКАТ МОСТОВА

НАДВОЖЊАК на km 160+094,84 пруге

km 0+351,57 укрштаја по саобраћајници

Бр. поз. No.	Бр.поз. Техн Усл Item in Tech. Conditions	Опис радова	Количина Quantity	Јед. цена (дин) Unit rate (Din)		Цена (дин) Price (Din)
				A	B	
2/1.1.39.3	04	БЕТОНСКИ И АРМИРАНОБЕТОНСКИ РАДОВИ		PLAIN AND REINFORCED CONCRETE		
		Све позиције обухватају поред описа појединачних ставки и следеће заједничке услове : - Бетонски радови ће бити изведени у свему по пројекту, статичком прорачуну и важећим правилницима. Цене садрже све радне операције, утрошке материјала, помоћни алат, оплате и скеле које прописују "Нормативи и стандарди рада у грађевинарству-Високоградња ГН 400", као и остале трошкове и зараду предузећа. - Бетон ће бити спроведен, транспортован, уграђен, негован и испитиван на пробним узорцима по одредбама које прописује важећи "Правилник о техничким нормативима за бетон и армирани бетон" (ПБАБ 87-"Службени лист СФРЈ" бр.11/87). - Бетон ће бити спроведен од агрегата и цемента атестиралих по важећим српским стандардима. - Бетон класе В.II мора имати све класе отпорности дефинисане појединачним позицијама. - Обрачун количина стварно изведенних радова извршиће се према одредбама које прописују "Нормативи и стандарди рада у грађевинарству". -Мешање бетона мора се вршити машинским путем, а набијање вибрирањем -Арматура се плаћа посебно, са изузетком префабриковани носачи -Каблови се плаћају посебно -У цену бетона је урачуната оплата и скела -Плаћа се за потпуно готов посао од м ³ уграђеног бетона				
	04.01	Неармирани бетон				
2/1.1.39.3.1		Мршави бетон - изравњавајући слој, дебљине 10 см, C12/15, испод темеља стубова, крилних зидова, темељних плоча, наглавних греда, прелазних плоча од бетона.	35,00	12.000,00	420.000,00	
	04.02	Армирано бетонске темељне конструкције				
2/1.1.39.3.2		Армирани бетон темеља стубова и темеља крилних зидова, тракастих темеља, контра-греда, плочастих темеља, јастука, наглавних греда и бунара. Бетон класе : C 25/30, XC2,PVII	293,00	21.600,00	6.328.800,00	
	04.03	Стубови као ослонци распонских конструкција разних система и лежишне греде				
2/1.1.39.3.3		Тело крајњих стубова од бетона класе C 40/50, XC2, PVI	104,00	27.600,00	2.870.394,48	
2/1.1.39.3.4		Крила и крилни зидови крајњих стубова од бетона класе C 40/50, XC2, PVI	41,00	27.600,00	1.131.600,00	
2/1.1.39.3.5		Лежишне греде крајњих стубова од бетона класе C 30/37, XC4, XF2, XD3, PVI	40,00	27.600,00	1.104.000,00	
2/1.1.39.3.6		Парапети, маске крајњих стубова од бетона класе C 40/50, XC4, XF2, XD3, PVI	73,00	27.600,00	2.014.800,00	

ИДЕЈНИ ПРОЈЕКАТ
ПРУГА: СУБОТИЦА - ДРЖАВНА ГРАНИЦА (Келебија)
КЊИГА 2/1-1.39: ПРОЈЕКАТ МОСТОВА
НАДВОЖЊАК на km 160+094,84 пруге
km 0+351,57 укрштаја по саобраћајници

Бр. поз. No.	Бр.поз. Техн Усл Item in Tech. Conditions	Опис радова	Количина Quantity	Јед. цена (дин) Unit rate (Din)		Цена (дин) Price (Din)
				A	B	
2/1.1.39.3.7		Пешачке конзоле на крилима крајњих стубова од бетона класе C 40/50, XC4, XF4, XD3, PVI	7,00	30.600,00		214.200,00
2/1.1.39.3.8		Тело средњих стубова од бетона класе C 30/37, XC4, XF1,PVI	77,00	27.600,00		2.125.200,00
2/1.1.39.3.9		Лежишне греде и маске средњих стубова од бетона класе C 30/37, XC4, XF1,PVI	35,00	30.600,00		1.071.000,00
2/1.1.39.3.10		Квадери крајњих и средњих стубова од бетона класе C 30/37, XC4, XF1,PVI	1,00	30.600,00		30.600,00
	04.04	Распонска конструкција моста од армираног бетона				
2/1.1.39.3.11		Коловозна плоча од армираног бетона преко монтажних носача Бетон класе C 40/50, XC4, XF4, XD3, PVII	378,00	30.600,00		11.566.800,00
2/1.1.39.3.12		Армиранобетонски попречни носачи за везу главних носача од преднапрегнутог бетона. Бетон класе C 40/50, XC4, XF4, XD3, PVII	113,00	27.000,00		3.051.000,00
2/1.1.39.3.13		Ивични венци пешачких стаза ливени на лицу места, (укључујући и ревизионе шахтове) од бетона класе C40/50, PV-II, XC4,XD3, XF4	157,00	37.200,00		5.840.400,00
2/1.1.39.3.14		Прелазне плоче, од бетона C 25/30, XC2	15,00	25.200,00		378.000,00
	04.05	Распонска конструкција моста од преднапрегнутог бетона				

ИДЕЈНИ ПРОЈЕКАТ

ПРУГА: СУБОТИЦА - ДРЖАВНА ГРАНИЦА (Келебија)

КЊИГА 2/1-1.39: ПРОЈЕКАТ МОСТОВА

НАДВОЖЊАК на km 160+094,84 пруге

km 0+351,57 укрштаја по саобраћајници

Бр. поз. No.	Бр.поз. Техн Усл Item in Tech. Conditions	Опис радова	Количина Quantity	Јед. цена (дин) Unit rate (Din)		Цена (дин) Price (Din)
				A	B	
2/1.1.39.3.15		Префабриковани главни носачи од преднапрегнутог бетона постављен на гумену плочу Бетон: C60/60, укључивале су преднапрегнуте нити и арматуре				38.800.000,00
			485,00	80.000,00		

УКУПНО БЕТОНСКИ РАДОВИ:

76.946.794,48

ИДЕЈНИ ПРОЈЕКАТ

ПРУГА: СУБОТИЦА - ДРЖАВНА ГРАНИЦА (Келебија)
КЊИГА 2/1-1.39: ПРОЈЕКАТ МОСТОВА
НАДВОЖЊАК на km 160+094,84 пруге
km 0+351,57 укрштаја по саобраћајници

Бр. поз. No.	Бр.поз. Техн Усл Item in Tech. Conditions	Опис радова	Количина Quantity	Јед. цена (дин) Unit rate (Din)	Цена (дин) Price (Din)
				A	B

2/1.39.4	05	РАДОВИ ОД МЕТАЛА			
		<p>Све позиције обухватају поред описа појединачних ставки и следеће заједничке услове:</p> <ul style="list-style-type: none"> - Армирачки радови ће бити изведени у свему по пројекту, статичком прорачуну и важећим правилницима. Цене садрже све радне операције, утрошке материјала, помоћни алат и скеле које прописују "Нормативи и стандарди рада у грађевинарству-Високоградња ГН 400", као и остале трошкове и зараду предузећа. - Арматуру очистити од рђе и прљавштине, исправити, исећи, савити и уградити по детаљима (араматурним нацртима) и статичком прорачуну. - За квалитет уграђене арматуре одговара извођач радова. - Јединична цена садржи и постављање подметача од челика, пластике или бетона за постизање предвиђених заштитних слојева и правилног положаја арматуре у конструкцији. Сва подеона гвожђа и узенгије ће бити чврсто везани за главну арматуру тако да не може доћи до промене положаја арматуре за време бетонирања конструкције. - Стварно уграђена количина арматуре свих квалитета обрачунава се по kg без обзира на сложеност и пречнике шипки арматуре. - Обрачун количина извршити према табличним тежинама арматуре и ужади и дужинама из арматурних нацрта. 			
2/1.39.4.1		<p>Набавка, чишћење, сечење, машинско савијање и монтажа арматуре према пропису, пројекту и статичким детаљима.</p> <p>Плаћа се по kg уграђене арматуре.</p> <p>Ребраста арматура В 500B</p>	200.100,00	120,00	24.012.000,00

УКУПНО АРМИРАЧКИ РАДОВИ:

24.012.000,00

**ИДЕЈНИ ПРОЈЕКАТ
ПРУГА: СУБОТИЦА - ДРЖАВНА ГРАНИЦА (Келебија)
КЊИГА 2/1-1.39: ПРОЈЕКАТ МОСТОВА
НАДВОЖЊАК на km 160+094,84 пруге
km 0+351,57 укрштаја по саобраћајници**

Бр. поз. No.	Бр.поз. Техн Усл Item in Tech. Conditions	Опис радова	Количина Quantity	Јед. цена (дин) Unit rate (Din)	Цена (дин) Price (Din)
				A	B

2/1.1.39.5	06	ИЗОЛАТЕРСКИ РАДОВИ			
		<ul style="list-style-type: none"> - Сви изолатерски радови морају бити изведени педантно и тачно према захтевима из пројекта, предрачуна радова и детаљима. - Употребљени материјали морају одговарати важећим стандардима и прописима, снабдевени атестима овлашћене установе, проверени у употреби, трајни колико и објекат или пројектовани тако да је њихова замена могућа. - Све грешке на конструкцији морају се на одговарајући начин отклонити или санирати пре почетка наношења изолационог материјала. - У јединичну цену је урачуната набавка свог потребног материјала, алата, транспорт и израда. - Плаћа се за потпуно готов посао по m^2 урађене изолације и/или заштите. 			
2/1.1.39.5.1		Израда хидроизолације горње плоче и конзола на бази метил метакрилата, прскањем под притиском. Радови по овој позицији се изводе у складу са техничким условима и нормативима за ову врсту послова као и по технологији произвођача. У цену су у рачунати набавка материјала, транспорт и уградња.	1.216,00	4.150,00	5.046.400,00
2/1.1.39.5.2		Израда хидроизолације од једног хладног премаза битулитом и једног премаза врућим битуменом бетонских површина које су у контакту са земљом.	1.336,00	1.200,00	1.603.200,00
2/1.1.39.5.3		Израда заштите бетонских површина заштитним хидрофобним премазом за бетон, на бази пенетрата. Површине морају бити претходно очишћене и суве. Премазивање подразумева заштиту и импрегнацију свих видљивих бетонских површина моста које су у додиру са атмосферским утицајима.	5.762,00	2.000,00	11.524.000,00
2/1.1.39.5.4		Заштитни премаз бетона на пешачким стазама, степеницама и подестима, d=3-3.5 mm, формираног од 4 слоја:епокси праймер, водоотпорни слој пур смоле, основни премаз пур смоле(полиуретан) са кварц песком (0.5-1 mm) и завршни слој пур смоле.	483,00	2.500,00	1.207.500,00

ИДЕЈНИ ПРОЈЕКАТ

ПРУГА: СУБОТИЦА - ДРЖАВНА ГРАНИЦА (Келебија)

КЊИГА 2/1-1.39: ПРОЈЕКАТ МОСТОВА

НАДВОЖЊАК на km 160+094,84 пруге

km 0+351,57 укрштаја по саобраћајници

Бр. поз. No.	Бр.поз. Техн Усл Item in Tech. Conditions	Опис радова	Количина Quantity	Јед. цена (дин) Unit rate (Din)		Цена (дин) Price (Din)
				A	B	
УКУПНО ИЗОЛАТЕРСКИ РАДОВИ:						19.381.100,00

**ИДЕЈНИ ПРОЈЕКАТ
ПРУГА: СУБОТИЦА - ДРЖАВНА ГРАНИЦА (Келебија)
КЊИГА 2/1-1.39: ПРОЈЕКАТ МОСТОВА
НАДВОЖЊАК на km 160+094,84 пруге
km 0+351,57 укрштаја по саобраћајници**

Бр. поз. No.	Бр.поз. Техн Усл Item in Tech. Conditions	Опис радова	Количина Quantity	Јед. цена (дин) Unit rate (Din)	Цена (дин) Price (Din)
				A	B

2/1.39.6	07	ЛЕЖИШТА И ДИЛАТАЦИЈЕ	BEARINGS AND EXPANSION JOINTS		
2/1.39.6.1		Израда и постављање армирано еластомерних лежишта. Плаћа се по комаду постављеног лежишта. покретна у свим правцима попречно непокретна	4,00	45.000,00	180.000,00
			4,00	85.000,00	340.000,00
2/1.39.6.3		Армиране еластомерне дилатационе спојнице , набавка и уградња према пројекту Плаћа се по m' урађене дилатационе спојнице. средња померања	20,00	100.000,00	2.000.000,00

УКУПНО ЛЕЖИШТА И ДИЛАТАЦИЈЕ:	2.520.000,00
------------------------------	--------------

2/1.39.7	08	ОСТАЛИ РАДОВИ			
		За све позиције наведених радова важи: * у цену је урачуната набавка свог потребног материјала, алата, механизације, транспорт, израда и монтажа према пројекту, а за комплетно завршен посао			
2/1.39.7.1		Сливници од ливеног гвожђа С-6, набавка и уградња према пројекту. Плаћа се по комаду урађеног сливника.(део Пројекта одводњавања)	2,00	50.000,00	100.000,00
2/1.39.7.2		Ливене цеви за одвод воде из сливника укључујући и сав причврсни прибор. Плаћа се по m' урађене цеви. (део Пројекта одводњавања)	40,00	2.700,00	108.000,00
2/1.39.7.3		Израда и постављање ограде од челика S 235 JRG1. У цену је урачуната набавка материјала, израда, транспорт, монтажа, анткорозиона заштита са два основна и два завршна премаза покривном бојом, а у свему према пројекту. Плаћа се по kg постављене ограде. -цевне или од профила - висока жичана заштитна ограда	15.080,00	250,00	3.770.000,00
			2.496,00	250,00	624.000,00
2/1.39.7.4		Коловозни застор од асфалт бетона, дебљине 7cm	838,20	1.600,00	1.341.120,00

ИДЕЈНИ ПРОЈЕКАТ

ПРУГА: СУБОТИЦА - ДРЖАВНА ГРАНИЦА (Келебија)

КЊИГА 2/1-1.39: ПРОЈЕКАТ МОСТОВА

НАДВОЖЊАК на km 160+094,84 пруге

km 0+351,57 укрштаја по саобраћајници

Бр. поз. No.	Бр.поз. Техн Усл Item in Tech. Conditions	Опис радова	Количина Quantity	Јед. цена (дин) Unit rate (Din)		Цена (дин) Price (Din)
				A	B	
2/1.1.39.7.5		Уграђивање ПВЦ цеви у пешачке (ревизионе) стазе Ф100mm. Плаћа се по м' уграђених цеви.	905,00	450,00		407.250,00
2/1.1.39.7.6		Израда и затварање спојница на бетону на степенишном делу на местима споја дилатационих целина, спојница на асфалту уз ивичњаке и венце на пешачким стазама и уз дилатационе спрave трајно еластичном масом. Плаћа се по м' уграђене спојнице.	688,00	3.000,00		2.064.000,00
2/1.1.39.7.7		Ивичњаци бетонски или камени 18/24 см.	302,00	2.600,00		785.200,00

**ИДЕЈНИ ПРОЈЕКАТ
ПРУГА: СУБОТИЦА - ДРЖАВНА ГРАНИЦА (Келебија)
КЊИГА 2/1-1.39: ПРОЈЕКАТ МОСТОВА
НАДВОЖЊАК на km 160+094,84 пруге
km 0+351,57 укрштаја по саобраћајници**

Бр. поз. No.	Бр.поз. Техн Усл Item in Tech. Conditions	Опис радова	Количина Quantity	Јед. цена (дин) Unit rate (Din)	Цена (дин) Price (Din)
				A	B
2/1.1.39.7.8		Испитивање готовог моста.	паушално / lump sum		1.500.000,00
2/1.1.39.7.9		Фотографско снимање у току изградње моста.	паушално / lump sum		150.000,00
2/1.1.39.7.10		Израда и уграђивање плоче са годином изградње моста.	паушално / lump sum		15.000,00

УКУПНО ОСТАЛИ РАДОВИ:

10.864.570,00

ЗБИРНА РЕКАПИТУЛАЦИЈА

2/1.1.39.1	02	ИЗВОЂЕЊЕ HW ШИПОВА	22.053.330,00
2/1.1.39.2	03	ЗЕМЉАНИ РАДОВИ	11.133.310,00
2/1.1.39.3	04	БЕТОНСКИ И АРМИРАНОБЕТОНСКИ РАДОВИ	76.946.794,48
2/1.1.39.4	05	РАДОВИ ОД МЕТАЛА	24.012.000,00
2/1.1.39.5	06	ИЗОЛАТЕРСКИ РАДОВИ	19.381.100,00
2/1.1.39.6	07	ЛЕЖИШТА И ДИЛАТАЦИЈЕ	2.520.000,00
2/1.1.39.7	08	ОСТАЛИ РАДОВИ	10.864.570,00

УКУПНО (дин):

166.911.104,48

Београд, јул 2020.

Срачунао:

Милош Јокић, дипл.инж. грађ.
лиценца бр.: 310 C080 05



Miloš Jokić

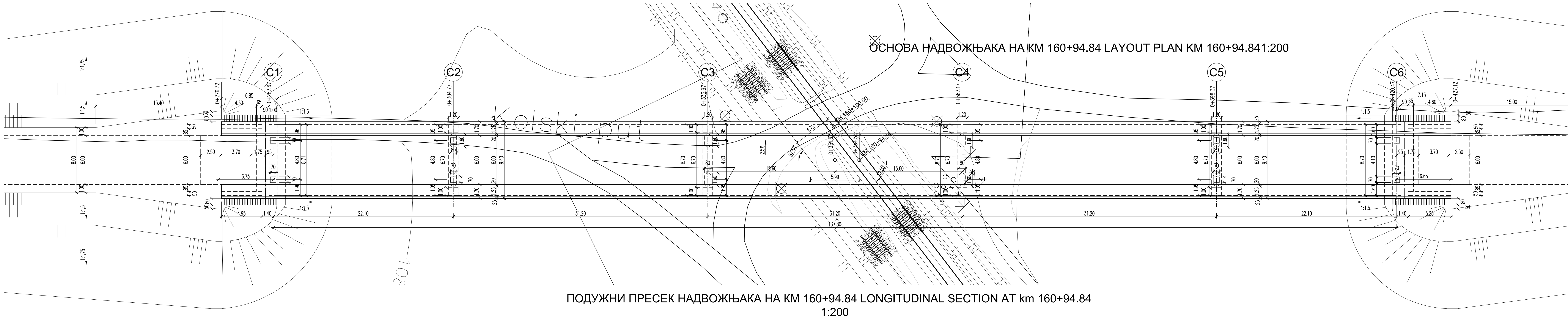
Одговорни пројектант:

Милош Јокић, дипл.инж. грађ.
лиценца бр.: 310 C080 05



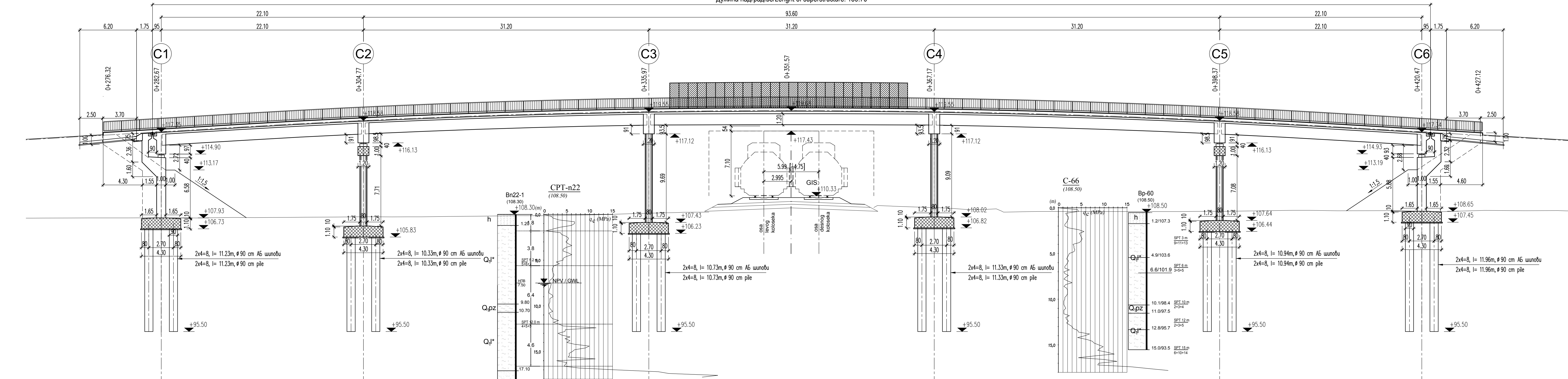
Miloš Jokić

2/1-1.39.7. ГРАФИЧКА ДОКУМЕНТАЦИЈА



НАДВОЖЊАКА НА КМ 160+94.84 LONGITUDINAL SECTION AT km 160+94.84
1-202

For more information about the study, please contact Dr. John Smith at (555) 123-4567 or email him at john.smith@researchinstitute.org.



КАРАКТЕРИСТИКЕ МАТЕРИАЛА

Елемент	Бетон	Арматура	Заштитни слој
Претходно напрегнути носачи	C 50/60	B500B	3.5
Коловозна плоча и попр. носачи	C 40/50, XC4, XD1, XF2, PV-II	B500B	3.5
Ивични венци и пешачке стазе	C 40/50, XC4, XD3, XF4, PV-II	B500B	2.5
Лежишне греде и квадери	C 30/37, XC4, XD1, XF2, PV-I	B500B	3.5
АБ стубови	C 30/37, XC4, XD1, XF2, PV-I	B500B	4.0
АБ потпорни зидови	C 30/37, XC4, XD1, XF2, PV-I	B500B	4.0
Шипови и наглавне греде	C 25/30, XC2, PV-II	B500B	5.0
Прелазна плоча	C 25/30, XC4	B500B	4.0
Мост б	C 12/15, XC2	B500B	4.0

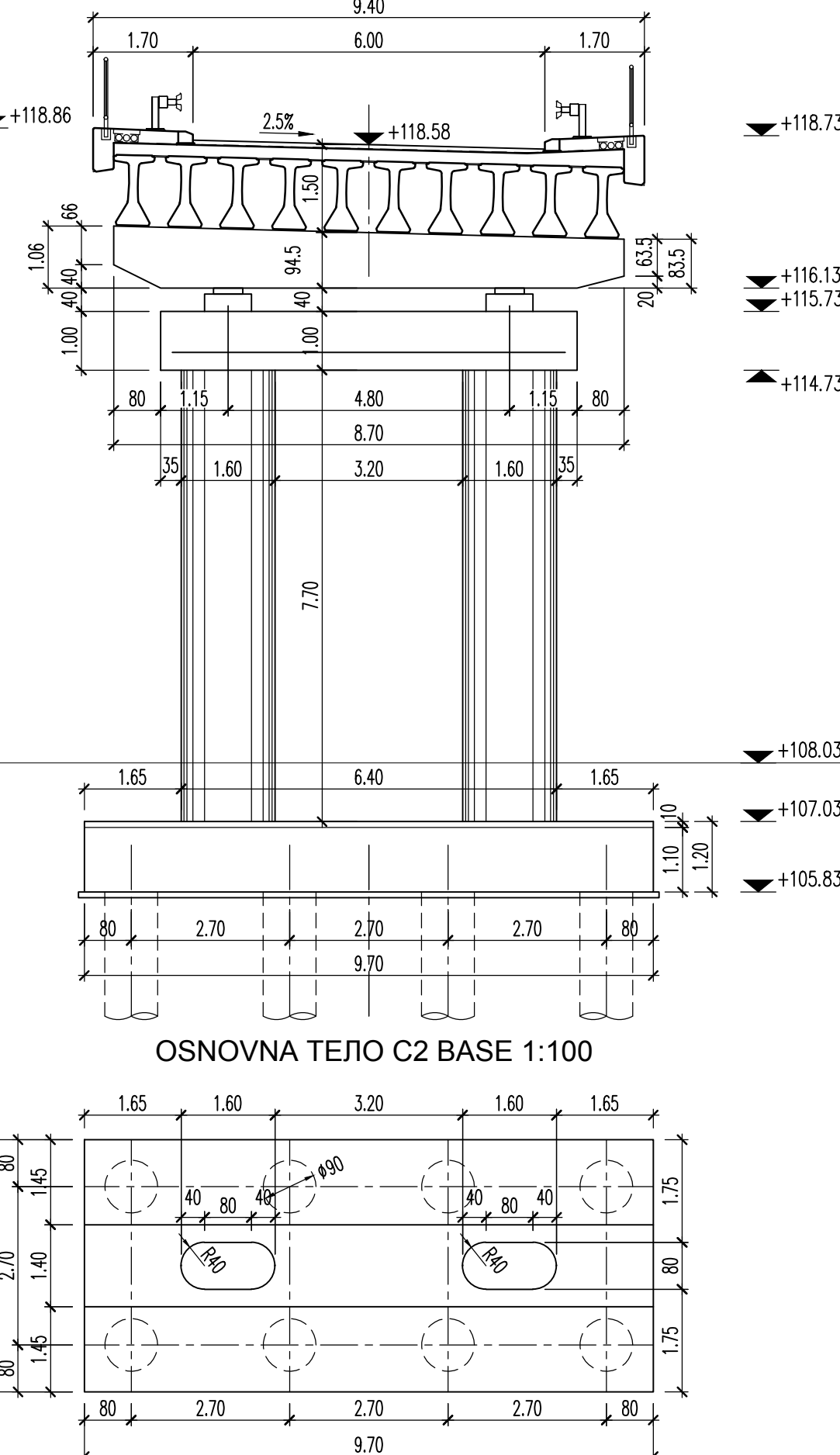
QUALITY OF MATE

Element	Concrete	Reinforcement	Concrete cover
Prestressed girders	C 50/60	B500B	3.5
Carriage slab and lateral girders	C 40/50, XC4, XD1, XF2, PV-II	B500B	3.5
Curb and side-walk	C 40/50, XC4, XD3, XF4, PV-II	B500B	2.5
Bearing beam and blocks	C 30/37, XC4, XD1, XF2, PV-I	B500B	3.5
Rc. columns	C 30/37, XC4, XD1, XF2, PV-I	B500B	4.0
Rc. supporting walls	C 30/37, XC4, XD1, XF2, PV-I	B500B	4.0
Piles and pilecaps	C 25/30, XC2, PV-II	B500B	5.0
Floating slab	C 25/30, XC4	B500B	4.0
Lean concrete	C 12/15, X0	B500B	

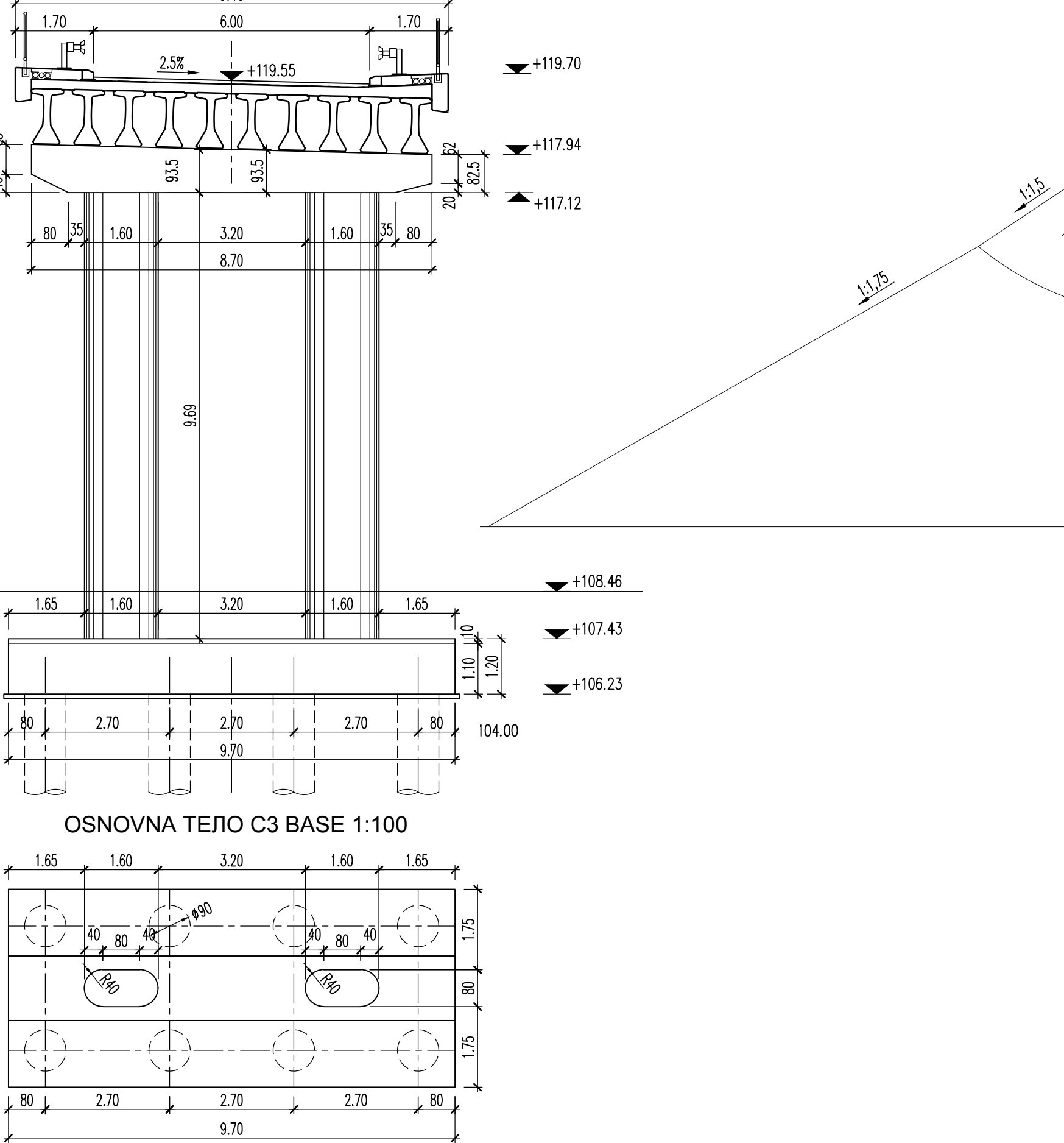


03		
02		
01		
Број/Number	Датум / Date	Опис / Description
Ревизиони блок: / Revision block:		
 <p>САОБРАЋАЈНИ ИНСТИТУТ ЦИП, д.о.о. INSTITUTE OF TRANSPORTATION CIP ltd Немањина 6; 11000 Београд; Србија Тел: 011/3618-134; Факс: 011/3618-324; web site: www.sicip.co.rs</p>		
Организациона јединица: КОНСТРУКЦИЈЕ /Organization unit: STRUCTURE DEPARTMENT		
Одговорни пројектант: Responsible designer: Милош Јокић, дипл. грађ. инж. лиценца број:/ license No.: 310 C080 05		Инвеститор пројекта: / Investor: "ИНФРАСТРУКТУРА ЖЕЛЕЗНИЦЕ СРБИЈЕ" АД / " INFRASTRUCTURE RAILWAYS OF SERBIA " JSC Немањина 6/IV, Београд / Nemanjina Street 6/IV, Belgrade
Сарадници: / Associates:  Ágnes Váczi		Наручилац пројекта: / Employer: Министарство грађевинарства, саобраћаја и инфраструктуре Немањина 22 - 26; 11000 Београд; Србија web site: www.mgsi.gov.rs  Ministry of Construction, Transport and Infrastructure Nemanjina 22-26 Street; 11000 Belgrade; Serbia web site: www.mgsi.gov.rs
Унутрашња контрола: / Internal control: Нада Павловић, дипл. грађ. инж.		Објекат: /Structure: МОДЕРНИЗАЦИЈА ЖЕЛЕЗНИЧКЕ ПРУГЕ БЕОГРАД - СУБОТИЦА - ДРЖАВНА ГРАНИЦА (КЕЛЕБИЈА) ДЕНОНИЈА НОВИ САД - СУБОТИЦА - ДРЖАВНА ГРАНИЦА (КЕЛЕБИЈА) MODERNIZATION OF BELGRADE - SUBOTICA - STATE BORDER (KELEBIJA) RAILWAY LINE SECTION : NOVI SAD - SUBOTICA - STATE BORDER (KELEBIJA)
Главни пројектант: / Chief designer: Милан Јелкић, дипл. грађ. инж.		Део пројекта: / Part of Design: ПРОЈЕКАТ МОСТОВА НАДВОЖЊАК НА КМ 160+094,84 DESIGN OF BRIDGES OVERPASS ON KM 160+094,84
Руководилац организационе јединице: Manager of organization unit: Ђиљдана Мишковић, дипл. грађ. инж.		Цртеж: / Drawing: ОСНОВА КОЛОВОЗА И УПОДУЖНИ ПРЕСЕЈК PLAN AND LONGITUDINAL SECTION
Фаза пројекта: Design phase: ИДП / PD	датум/дате: 12.2018.	Разм. Ска. 1:2
Цртеж бр./Drawing No.:		

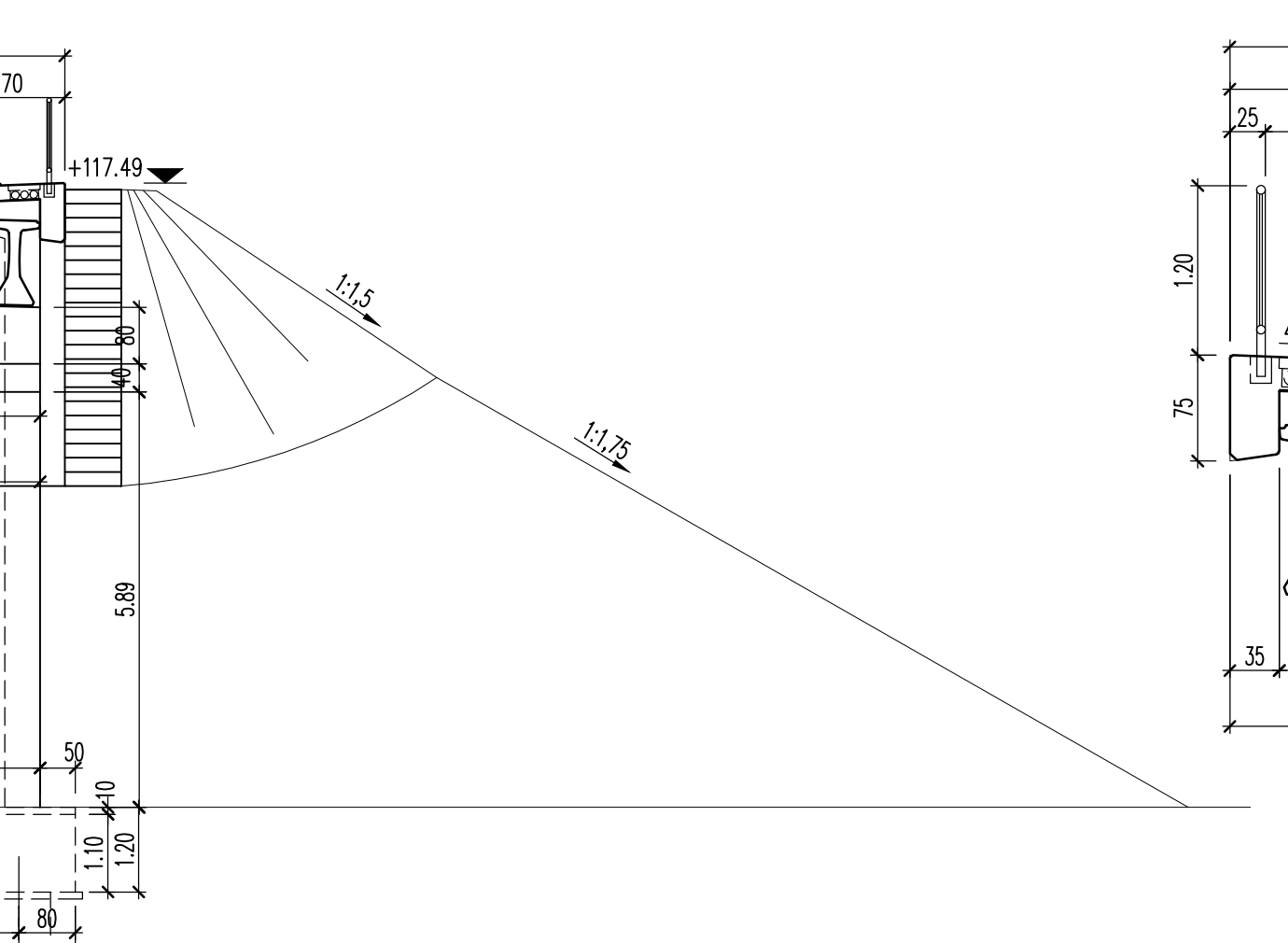
**ПОПРЕЧНИ ПРЕСЕК СТУБА С2
CROSS SECTION
km 0+304.77 1:100**



**ПОПРЕЧНИ ПРЕСЕК СТУБА С3
CROSS SECTION C3 km 0+335.97 1:100**



**ПОПРЕЧНИ ПРЕСЕК СТУБА С6
CROSS SECTION C6 km 0+420.47 1:100**



КАРАКТЕРИСТИКЕ МАТЕРИЈАЛА

Елемент	Бетон	Арматура	Заштитни слој
Претходно напретнути носачи	C 50/60	B500B	3.5
Коловозна плоча и попр. носачи	C 40/50, XC4, XD1, XF2, PV-II	B500B	3.5
Ивичне венци и пешачке стазе	C 40/50, XC4, XD3, XF4, PV-II	B500B	2.5
Лежишне греде и квадри	C 30/37, XC4, XD1, XF2, PV-I	B500B	3.5
АБ стубови	C 30/37, XC4, XD1, XF2, PV-I	B500B	4.0
АБ потпорни зидови	C 30/37, XC4, XD1, XF2, PV-I	B500B	4.0
Шипови и наглавне греде	C 25/30, XC2, PV-II	B500B	5.0
Прелазна плоча	C 25/30, XC4	B500B	4.0
Мршав бетон	C 12/15, X0	B500B	

QUALITY OF MATERIALS

Element	Concrete	Reinforcement	Concrete cover
Prestressed girders	C 50/60	B500B	3.5
Carriage slab and lateral girders	C 40/50, XC4, XD1, XF2, PV-II	B500B	3.5
Curb and side-walk	C 40/50, XC4, XD3, XF4, PV-II	B500B	2.5
Bearing beam and blocks	C 30/37, XC4, XD1, XF2, PV-I	B500B	3.5
Rc. columns	C 30/37, XC4, XD1, XF2, PV-I	B500B	4.0
Rc. supporting walls	C 30/37, XC4, XD1, XF2, PV-I	B500B	4.0
Piles and pilecaps	C 25/30, XC2, PV-II	B500B	5.0
Floating slab	C 25/30, XC4	B500B	4.0
Lean concrete	C 12/15, X0	B500B	

КАРАКТЕРИСТИЧНИ ПОПРЕЧНИ ПРЕСЕЦИ НАДВОЖЊАКА

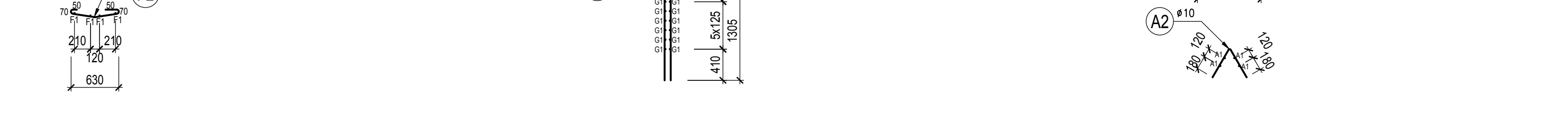
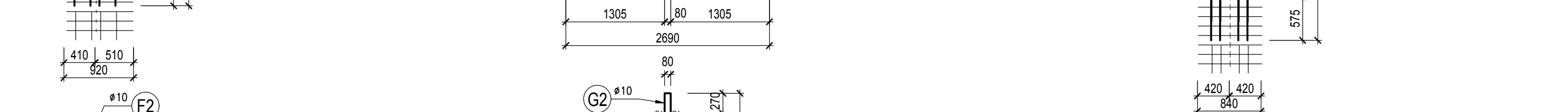
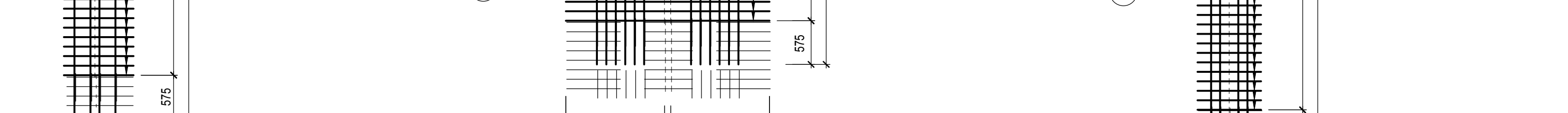
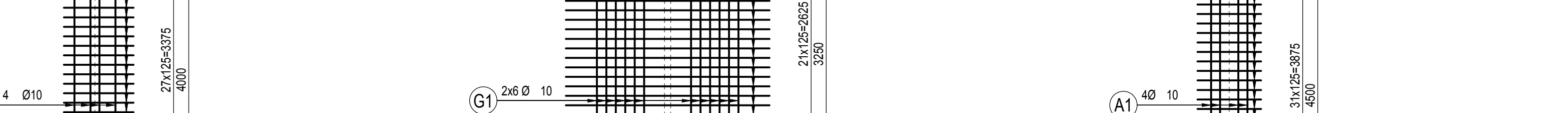
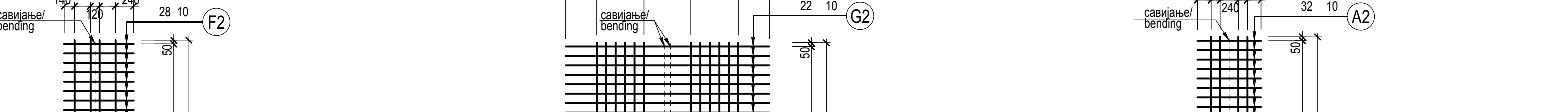
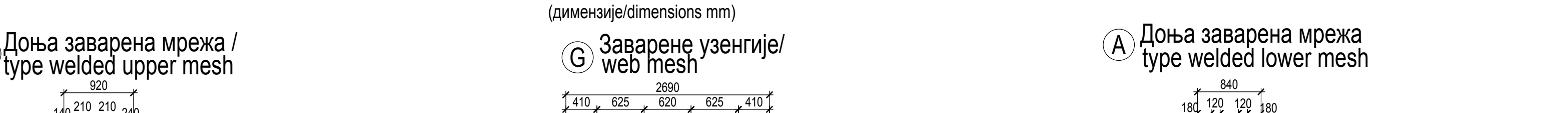
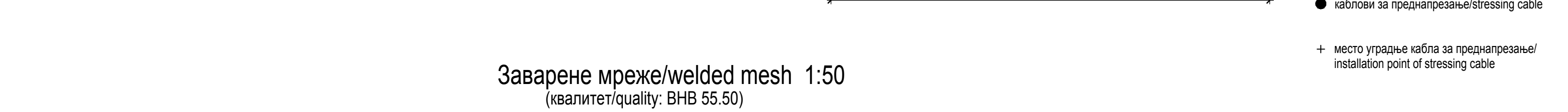
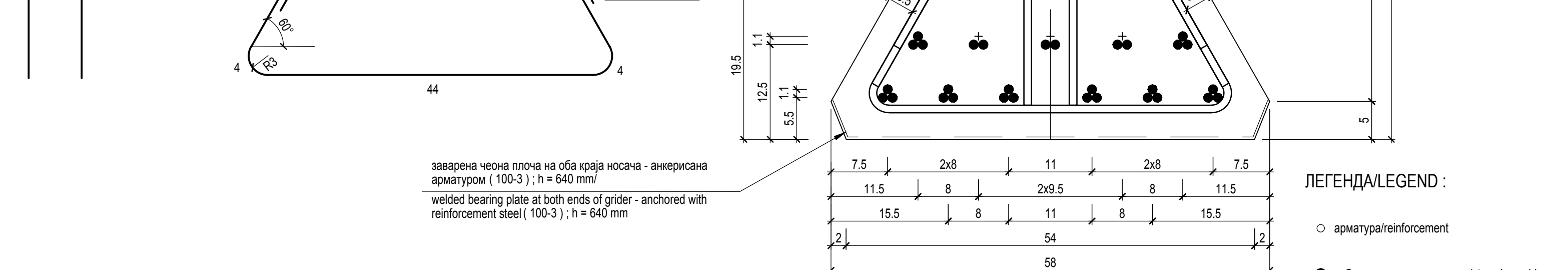
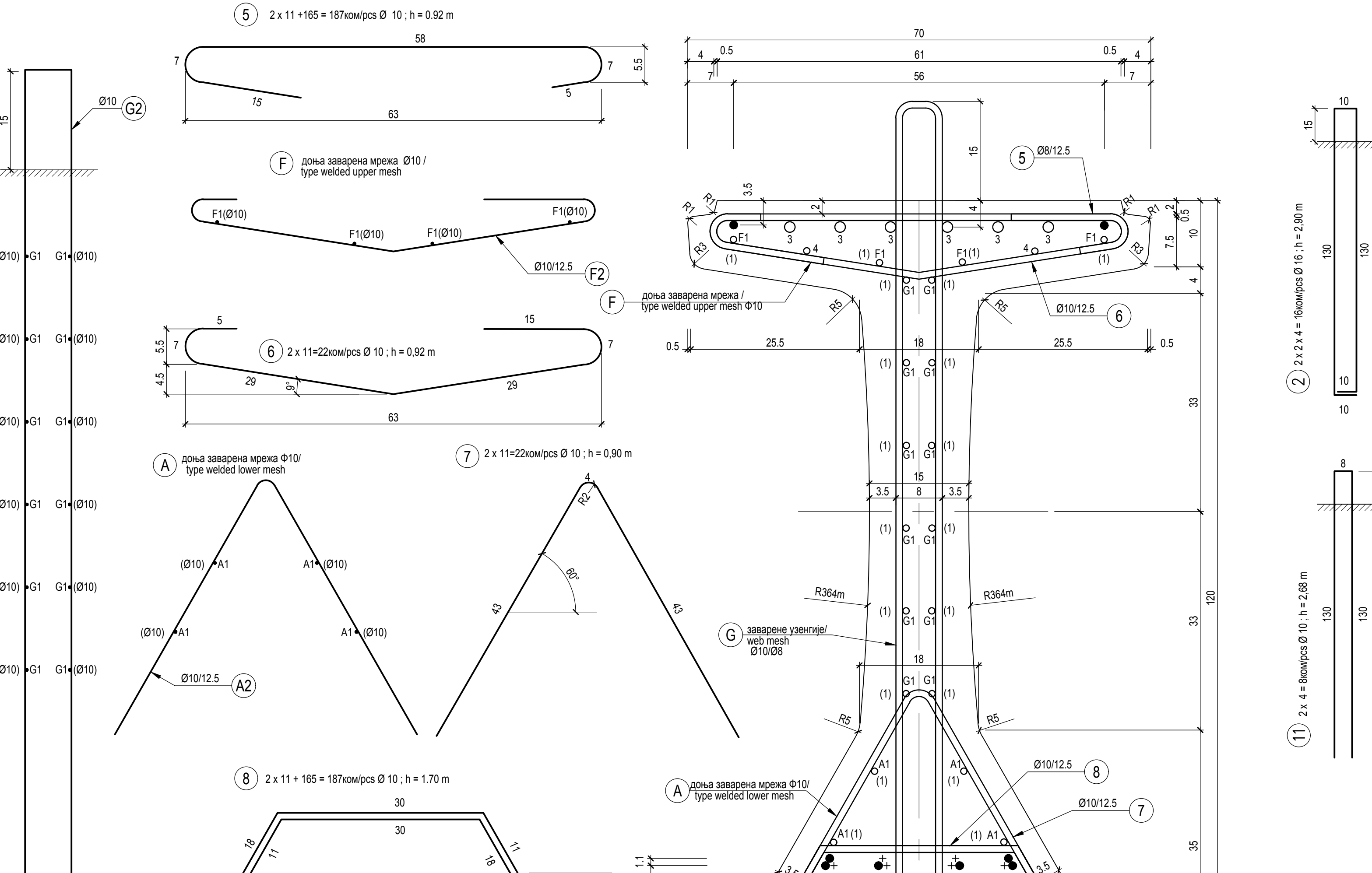
GENERAL CROSS SECTION

1:50

03		
02		
01		
Број/Number	Датум / Date	Опис / Description
Ревизиони блок: / Revision block:		
САОБРАЋАЈНИ ИНСТИТУТ ЦИП, д.о.о. INSTITUTE OF TRANSPORTATION CIP ltd Немањина 6; 11000 Београд; Србија Тел: 011/3618-134; Факс: 011/3618-324; веб сајт: www.sicip.rs		
Организациона јединица: КОНСТРУКЦИЈЕ /Organizational unit: STRUCTURE DEPARTMENT		
Одговорни пројектант: Responsible designer: Милош Јокић, дипл. грађ. инж. лиценца број: license No.: 310 C080 05	Инвеститор пројекта / Investor: / "ИФРАСТРУКТУРА ЖЕЛЕЗНИЦЕ СРБИЈЕ" А.Д. Немањина 6/Б, Београд / Nemanjina Street 6/B, Belgrade	
Паручилац пројекта: Project owner: Министарство грађевинарства, саобраћаја и инфраструктуре Немањина 22-26; 11000 Београд; Србија Ministry of Construction, Transport and Infrastructure Nemanjina 22-26 Street, 11000 Belgrade, Serbia www.mpsl.gov.rs	Објекат: Structure: МОДЕРНИЗАЦИЈА ЖЕЛЕЗНИЧКЕ ПРУЖЕНИЈЕ ДЕОНИЦА НОВИ САД - СУБOTICA - ДРЖАВНА ГРАНИЦА (КЕЛЕВИЈА) БЕГРАД - СУБОТИЦА - СТАТСКА ГРАНИЦА (КЕЛЕВИЈА) ДЕО пројекта: Design of: ПРОЈЕКАТ МОСТОВА надвожњак на км 160+094,84 DESIGN OF BRIDGES OVERPASS ON KM 160+094,84	
Интеријерска контрола: Internal control: Нада Павловић, дипл. грађ. инж.	Чертеж: Drawing: ПОПРЕЧНИ ПРЕСЕЦИ CROSS SECTIONS Размера: 1:50; 1:100	
Главни пројектант: Chief designer: Милан Јелић, дипл. грађ. инж.	Фаза пројекта: Design phase: Младена Мишковић, дипл. грађ. инж.	
Руководилац организације јединице: ИДР / PD	датум/дате: 12.2018. Цртеж бр./Drawing No.: 12.2018. 2017-728-КОН-2/1-139.72	



A-A ПРЕСЕК /CROSS SECTION 1:5



БОЧНИ ПОГЛЕД/SIDE VIEW 1 : 15

A-A ПРЕСЕК /CROSS SECTION 1 : 5

